

А.Н.ВАШЕДЧЕНКО

АВТОМАТИЗИРОВАННОЕ ПРОЕКТИРОВАНИЕ СУДОВ

Допущено Министерством
высшего и среднего специального образования СССР
в качестве учебного пособия
для студентов вузов, обучающихся
по специальности „Судостроение с судоремонтом”.

ЧК 7410



ПЕТЕРБУРГСКИЙ
СУДОСТРОИТЕЛЬНЫЙ
ИНСТИТУТ
1985

ББК 39.42-01

В12

УДК 691.891.083.658.811.561:629.121075.80

ПРЕДИСЛОВИЕ

Редакторы: Ю.Н., лекк. Е. А. Жарб, кафедра проектирования судов Ленинградского ордена Ленина кораблестроительного института (канд. техн. наук И. Н. Семенов)

Приглашенное вниманию читателей учебное пособие «Автоматизированное проектирование судов» наведено в соответствии с олимпиадной программой для специальности «Судостроение и судоремонт» кораблестроительных факультетов вузов.

При его написании автор использовал обширную отечественную и зарубежную литературу по автоматизированному проектированию и оптимизации, стремясь, однако, осветить наиболее существенные для проектировщика вопросы в тесной связи с теорией проектирования судов и училиши ограничимся объемами шестого курса в учебном занятии специальности. Основная задача состояла в переходе от теории автоматизированного оптимального проектирования к практическому использованию ЭВМ для оптимизации проектных решений. Предложенные было отдано одному из пятичных методов вспомогательного проектирования — методу сокращенных направлений. Хотя он не может быть однозначно эффективным для всех типов проектных задач, упоминание этого метода позволит читателю быстрее обнаружить другие методы, изложенные в публикациях. Пакет прикладных программ «Лаузан» можно будет использовать для решения разных оптимизационных задач, содержащих произвольное число независимых переменных и ограничений (их число указывается оператором 15 строкок, 1).

Изложенный в учебном пособии материал навигирован к типу решаемых задач, поэтому книга может быть полезна всем лицам, занятым инженерным проектированием.

Выражаем признательность кафедре проектирования судов Николаевского ордена Трудового Красного Знамени кораблестроительного института за теоретическую помощь в подготовке рукописи.

За критические замечания, которые принесут пользу при дальнейших переработках курса, заранее благодарим читателей.

Башкиренко А. И. Автоматизированное проектирование судов: Учебное пособие. — Л.: Судостроение, 1985. — 164 с., ил.

ИСБН

В соответствии с программой курса «Автоматизированное проектирование судов» для учащихся курсов по специальности «Судостроение и судоремонт» фундаментальный вопрос организации проектирования судна, поиск оптимального решения, включает выбор критерия оптимальности, порогов разработки математической модели судна, построение пример автоматизированной ФОРТРАН-программы для решения задач оптимизации с границами чувствительности и неизвестности.

3605030000-071
В 648.1881-85 15-85

39.42-01

Сложность создаваемой в эпохи динамики, новоиспеченных технологий, транспортных и производственных связей экспоненциальную растет. В этом состоит одна из особенностей научно-технической революции. Создавая проекты современных судов, инженеры во все большей степени используют знания смежных наук. Можно с уверенностью сказать, что человечество пока не создало более грандиозных технических объектов, некогда корабли. Достижения всех отраслей знания используются при проектировании, постройке и эксплуатации судов. В самом деле, вспомним, что вершинами современной инженерной мысли зачастую считаются сверхзвуковой самолет, межконтинентальная ракета, космический двигатель, лазеры. И все они используются в судостроении, причем всего лишь как отдельные элементы, слагающие гигантскую сооружение — корабль¹. Эти слова как нельзя лучше характеризуют сложность создания современного судна, которое становится все более совершенным в пороге. В этих условиях выбор разносторонних проектных решений невозможен только на основе интуиции проектанта или прошлого опыта. Единственный путь создания обоснованных, поглощаемых проектов это многовариантное проектирование, которое по понятным причинам осуществляется только на базе быстродействующей вычислительной техники.

Таким образом, сложность современных судов и вытекающая из этого необходимость поиска разнообразных проектных решений является первой причиной, обуточивающей необходимость автоматизации проектирования. Второй причиной можно считать большую и постоянно растущую трудоемкость соблюдения конструкторских работ, составляющих основную долю проекта. Среднес по сложности судно сегодня состоит из 10^5 — 10^6 деталей и компонентных единиц, его проект содержит с выпуском около 10^3 листов чертежей, 10^6 листов текста, 10^5 листов технологической документации [58]. Трудоемкость разработки проекта составляет несколько сот человеко-лет. В период постройки в документацию вносятся более миллиарда исправлений и изменений, вызванных неизбежностью ошибок и несогласованности конструкторской документации при ее изготовлении традиционным способом. Штатность и трудоемкость проектно-конструкторских работ сами по себе являются достаточным стимулом для их автоматизации. В связи с конструкторскими работами интересен обратный замысел, впервые, на невозможность обеспечения полной согласованности всей ком-

плекторской документации при ручном ее изготовлении. С омыкающимися между ними неизбежными исправлениями, коммутаций, удороожанием и удлинением цикла постройки и, во-вторых, неизвлекаемостью из фоне современных достижений науки и техники ручного конструкторского труда.

Разработка сложного проекта требует его декомпозиции и соответственно расчленения всей работы на составные части, распределения обязанностей между разными группами проектантов, конструкторов и исполнителей. Создание проекта превращается в труд большого коллектива. Расчленение на подсистемы предопределяет обратный процесс — анализ системы, дающий возможность представить объект в целом, оценить его разнообразные качества и соответствие замыслу. При традиционной технологии проектирования в этой части работ имеются существенные недостатки. Прежде всего, недопустимо удлинение сроков проектирования. Еще хуже — проект в определенном смысле стал «выходить из-под контроля», члены на испытаниях показывали конструкции, не вполне соответствующие замыслу проектанта, у которого до начала испытаний не было возможности установить это несоответствие. В результате — переделки, удороожание конструкций и удлинение сроков реализации замысла. Это, в свою очередь, ведет к морально-техническим проблемам еще по вводу ее в эксплуатацию. Трудности снятия растут экспоненциально с ростом числа проектных переменных, определяющих свойства соружения. Классификация проектантов не оканчивается существенным влиянием на этот процесс, следовательно, нужно менять технологии проектирования — перейти к автоматизированному системам проектированию.

При системном подходе описание объекта и его связей производится с учетом изменений, которые он вносит в окружающую искусственную и естественную среду. При этом любой объект рассматривается как некоторая система, которая может быть разделена на подсистемы. Каждая из них, в свою очередь, может быть разделена на подсистемы более низкого порядка. Подсистемами самого высокого порядка являются элементы, внутренняя структура которых не представляет интереса для решения задачи определенного уровня, однако свойства которых влияют на свойства других подсистем и системы в целом. Очевидно, что полностью построившая иерархия систем содержит бесконечное количество систем и подсистем. При решении технической задачи нет необходимости строить всю эту иерархию, достаточно охватить системы и подсистемы надлежащим выше и ниже уровня.

Следующим паритетом важны принципы проектирования с использованием автоматизированных систем:

принцип системного подхода, осуществляемый определением всей и кратности проектирования, декомпозиции общей задачи на уровни и этапы, построением структуры обмена проектными решениями между отдельными элементами, звеньями и уровнями логической схемы проектирования с организацией интеграционных центров, конструированием системы однокомпонентных решений на разных уровнях;

принцип главного конструктора, заключающийся в том, что руководство разработкой системы автоматизированного проектирования и ее инве-

¹ Найдков А. Н. Человек и электроника-корабль. — И., 1978. с. 24

дрение должно осуществляться генеральным конструктором целого класса современных объектов проектирования – непосредственно создателем логической последовательности проектных операций.

В соответствии с особенностями системного подхода в процессе проектирования судна можно выделить два круговых уровня: внешний и внутреннее проектирование. Во внешней задаче судно рассматривается как элемент системы более высокого уровня – флота или комплекса совместно работающих судов. Во внутренней задаче разрабатываются составные части судна – это элементы системы более высокого уровня – самого судна. Составляющие и формальная части обеих задач, сформулированные А. В. Бронниковым, представлены в табл. 1.

Ввиду большой сложности и общности указанных задач могут быть решены только поэтапно. Каждая из них, в свою очередь, имеет два уровня. Верхний уровень внешней задачи – это определение принципов.

Таблица 1. Объекты иерархии применения и основным частям и задачам теории проектирования судов

Часть	Основные задачи теории проектирования судов	
Основные задачи	Внешняя разработка общих требований к параметрическим судам	Внутренняя разработка составных судов
Составляющие	Эксплуатационные и специальные требования к судам Проектирование развития судов. Классификация судов Союз между требованиями к судам и их местами и объемами Требования к мореходным качествам судов Союз между основными характеристиками судов и эффективностью судов и флота Способы определения основных элементов судов, включая и стати флота Задания на проектирование судов Архитектурно-конструктивные типы судов	Союз между основными элементами судов и требованиями к ним Отображение пространства судов различными типами и назначений Союз между основными элементами судов и их наименами и объемами Союз между основными элементами судов и их макроформами качества Союз между основными элементами судов и их эксплуатационно-техническими показателями Методология определения основных элементов судов различными типами и назначений Задания на проектирование подсистем судов Архитектура и обобщение схем Технической термин. Общие расположения
Фундаментальная	Математическая модель флота. Решение алгоритмы определения состава плавающих флота Системы автоматизированного определения состава плавающих флота	Математическая модель судов. Решение алгоритмы определения основных элементов судов Системы автоматизированного проектирования судов
Коэффициентная	Общие требования к судам. Состав флота. Задания на проектирование судов	Задания судов в параметрических

системных направлениях плавания флота и обеспечение согласованности планируемого полного эффекта (объема перевозок) с имеющимися ресурсами. Конечная цель – определение наилучших типов судов и их количества, обеспечивающих минимум затрат на пополнение флота. Решения на этом уровне позволяют сформулировать требования к судостроительной программе и технические задания на различные типы судов. Нижний уровень внешней задачи – участие (изобретение) характеристик судов, указанных в техническом задании, включая проверку совместности требований с учетом условия постройки и эксплуатации. Данные технического задания, полученные здесь, являются необходимыми для решения внутренней задачи проектирования. Нижний уровень внутренней задачи – детализация и обоснование проектных решений по отдельным подсистемам (корпус, техника т. д.).

Если бы удалось представить задачу внутреннего проектирования в виде единой задачи с критериями, характеризующими эффективность судна, и ограничениями, отражающими требования к свойствам судна в его подсистемах, то можно было бы вымыть согласованное проектирование подсистем судна. В математическом плане это было бы оптимизационная задача с континуальными дискретного и квазирандомного характера, с функциями ограничений и критерия, член звено заданными алгоритмически, прими с весьма малыми возможностями определения свойств этих функций в смысле вычислности. В такой задаче было бы большое количество явственно различных зависимостей и характеров, ряд условий и данных характеризовался бы стохастичностью и даже неопределенностью. В дополнение к этому строгая математическая постановка задачи нижнего уровня затрудняла существенную специфику: невозможно определить ряд свойств судна аналитически или в виде процедур из-за необходимости проводить в процессе проектирования судов целый ряд экспериментов; разработка многих технических средств, составляющих основу подсистем, влечет параллельный процесс проектирования судна или даже с опрекением. Но это не позволяет возможности решить задачу проектирования оптимального судна как единую задачу в строгом математическом постановке. Реальный является лишь путь последовательных приближений: оптимизация элементов судна при параметрическом описании характеристики подсистем с последующей оптимизацией элементов подсистем. И здесь появляется проблема согласования решений верхнего и нижнего уровней внутренней задачи проектирования судна. Для реализации автоматизированного системного проектирования необходимо метод согласования решения оптимизационной задачи для любой подсистемы, учитывая "доплеры" всей системы, т. е. судна в целом. Такой метод в виде машинных оценок впервые в теории проектирования судов в середине 70-х гг. [34]. Внедрение математических методов и ЗВМ в сферу теории цивилизации проектирования связано с решением многих проблемных вопросов. Это – постановка задач и построение адекватных математических моделей; разработка эффективных и надежных численных методов, в частности алгоритмов оптимизации в квазирандомных задачах; создание работоспособных программ для ЗВМ; разработка методов устойчивости машинных решений. Эти проблемы еще далеки от окончательного решения.

Основой использования ЭВМ в проектировании являются математические модели сооружений, создание которых — прерогатива проектировщика. Однако для использования их в САПР требуется еще алгоритмизировать расчеты и организовать на основе серийных технических средств рационализированную систему накопления, хранения и выдачи информации. Эту работу выполняют специальными вычислительной персонал — системные программисты и специалисты по вычислительной технике. Нельзя принять правильной не столь редкую практику имплементации всего объема работ проектировщиками, приводящую к перегруженности времени.

Составление хорошего алгоритма — сложная теоретическая работа (сравнения, позиций, с музикальной или художественной композицией), требующая серьезной теоретической и практической подготовки в совершение новой плоскости, некогда проектирование судна. Если методическое основой проектирования является решение проектной задачи при минимальном числе итераций, то методический основой алгоритмизации следует считать построение возможна более простых, «программных» алгоритмов, обеспечивающих быструю и надежную подготовку означенных программ.

Судно — сложная техническая система, поэтому никогда его проектирование не начинают с нуля. Проектный замысел и означенные замечания судна, определяемые с помощью закономерностей теории проектирования, служат якорной точкой в алгоритме оптимального решения.

ОСНОВЫ АВТОМАТИЗИРОВАННОГО ПРОЕКТИРОВАНИЯ

9.1. Система автоматизированного проектирования

Автоматизированные системы проектирования с активным использованием электронно-вычислительных машин. На первых стадиях автоматизации предполагалось, что использование ЭВМ для отдельных видов вычислительных работ позволит снизить трудоемкость и продолжительность процесса проектирования. Однако этого не произошло. Цело в том, что хотя вычислительных работ в общей трубоемкости проектирования невелика, она не превышает 15%. Всего-то, первые же ЭВМ вычислительных процессов требуют выполнения новых трудовых работ: двойной подготовки данных — визуализации в привычном для конструктора виде, а затем на алгоритмическом языке; многократного входа в ЭВМ одинаковых данных, необходимых для выполнения разных расчетов (например, одни и те же теоретические чертежи, используемые для расчетов прочности, остойчивости, непотопляемости, вместимости, изгибающих моментов, ходкости, построения обводов из чертежах общего расположения и т. д.).

Автоматизация проектирования особенно эффективна, когда от автоматизации отдельных инженерных расчетов переходят к комплексной автоматизации, сущность которой — создание системы автоматизированного проектирования (САПР). По существу автоматизация проектирования является третьим этапом научно-технической революции любой отрасли промышленности, заступивший вперед за автоматизацией производственных процессов и автоматизацией управления.

Возможности применения ЭВМ зависят от типа проектной задачи. Можно выделить четыре типа обобщенных проектных задач, связанных с различными типами объектов проектирования.

1. Проектируемый объект может быть скомпонован из готовых элементов и блоков. В этой задаче имеется наибольшие возможности применения ЭВМ для автоматизации процедур составления документов и спецификаций, хранения архивов, решения задач комбинаторики объекта из готовых элементов, выбора и оценки различных вариантов и др.

2. Для проектирования объекта нет полного набора готовые компонентов, но существуют аналогичные, из которых путем изменения проектных характеристик можно получить недостающие. В данном случае ЭВМ используется для анализа и оценки вариантов построения компонентов, выбора их оптимальных элементов, компоновки, детализации и т. д.

3. В отличие от второй обобщенной задачи не существует аналогичных элементов, то известны принципы их построения. Применение ЭВМ для автоматизации циклов проектирования объектов возможно при использовании математических моделей, соответствующих используемым принципам, на которых отрабатываются конструктивные решения.

4. В отличие от третьей обобщенной задачи известны принципы построения элементов объекта, что характерно для создания принципиально новых объектов и систем. Отсыпься на результаты проведенных фундаментальных и прикладных исследований, ЭВМ применяют при проектировании таких изделий (помимо выполнения научно-технических расчетов) для моделирования различных физических процессов и явлений, обработки данных и управления моделями и ситуативными испытаниями и др.

Возрастание сложности проектируемых объектов привело к формированию концепции и методологии автоматизации проектирования, в которых моделирование является одним из основных методов обоснования проектов. САПР можно рассматривать как систему, основанную на регулярном применении современных математических методов и средств вычислительной техники в процессе выполнения проектных решений, в организации и управлении проектированием. В САПР с помощью ЭВМ частично или полностью автоматизируются процедуры подготовки и обработки информации, выполнения расчетно-графических работ, проектирования документации. Нужно иметь в виду, что термин „система проектирования“ не является синонимом понятия „конструкторское бюро“, он означает только ту сторону деятельности разрабатываемого подразделения, которая непосредственно связана с проектированием и получением проектных документов.

САПР направляет модификацию организационной структуры, специализацию работников по видам выполняемых работ, включая механизацию и автоматизацию рутинных операций, широкое использование технических средств проектирования, высокий профессиональный уровень специалистов-разработчиков, ориентацию на процедуры генерации вариантов решения и творческую как наиболее творческую часть работы.

В первом зерцеле автоматизации подверглись расчеты, требующие больших объемов информации и легко формализуемые в виде четкой последовательности арифметических и логических действий. Были автоматизированы расчеты статики, прочности, ходкости и ряда других. В некоторых случаях разработка машинных способов расчета потребовала переработки применявшихся ранее расчетных методов для обоснования их от допущений, не имеющих достаточного строгих обоснований и определенных лишь грубоумственным ручным расчетом.

На следующем этапе развития автоматизации гостинственных компаний о необходимости создания комплексной взаимоувязанных программ, с помощью которых автоматизируется процесс выполнения крупных объемов взаимосвязанных проектных работ. Такие комплексные программы были разработаны и явились основой специализированных САПР первого поколения, появившегося в начале 60-х гг. Эти САПР были производство-ориентированными: все программы имели последовательную схему (рис. 1, а), информация из одной программы передавалась в следующую без участия с проектировщиком. С помощью таких систем, по существу являвшихся закрытыми автоматическими системами, можно было решать только вполне определенные типы задач. Решение



THE JOURNAL OF CLIMATE

ПРОДУКТИВНОСТЬ РАБОТЫ ИНЖЕНЕРНО-ИССЛЕДОВАТЕЛЬСКОГО ЦЕНТРА ВОЛГАГАЗА ПО СОСТАВУ ТЕХНИЧЕСКОЙ ОБОРУДОВАНИЯ

T-CHARGE II: INTEGRATED DESIGN CONSIDERATIONS CAMP

THERMAL HETEROGENEITY IN THE PINE BURLS OF LARIX

Без обозначения	Населенный пункт Ахтубинск-2, Астраханская область, Россия, улица Марии Терешковой, 13 (1960–1965 гг.)	УАТП №1 построено в 1960 году на базе Ахтубинской АЭС, включая здание трансформаторной подстанции и здание АХОУ (1966–1975 гг.)	САИР №1 атомного электростанции Ахтубинской АЭС (1966–1975 гг.)	САИР №1 атомного электростанции Ахтубинской АЭС (1966–1975 гг.)
Государство: ИЮЛ Проектное: АО «Инженерный центр ядерных технологий»	ДМ №1 по монтажу Строительство атомного турбогенератора, стан- ция САИР	1960–1970-е годы. Установка в здании турбо- генератора, генератор- двигателя, гидроперемы- шника, генератора с ЧПУ	2006–2010 годы. Шахтное строительство зи- да турбогенератора, генератора- двигателя, гидроперемы- шника, генератора с ЧПУ	ДМ №1 по монтажу Установка в здании турбо- генератора, генератор- двигателя, гидроперемы- шника, генератора с ЧПУ
Министерство финансов	Оценка актуальности и перспективы	Комплексная аэродромная и погодная	Фундаментальная и при- кладная научно-исследова- тельская работа в аэро- нометрии	Метеорологическая и гидрометеорологическая обстановка в аэро- нометрии и гидрометео- рологии в Нижегородской области и в Республике Марий Эл
Проектное: Промстрой	Оценка актуальности и перспективы	Плановая проработка для ре- ализации отдельных этапов разработки проекта	Бюджетные программы наук, космоса и техни- ческого прогресса в Нижегородской области с привлече- нием научных организаций	Система фундаментальной и прикладной науки в области аэрометеорологии и гидрометеорологии в Нижегородской области
Информационное	Обеспечительное	Оценка актуальности и перспективы	Оценка актуальности и перспективы	Система фундаментальной и прикладной науки в области аэрометеорологии и гидрометеорологии в Нижегородской области
Информационное	Информационное	Информационное	Информационное	Информационное
Организационное	Обеспечительное	Обеспечительное	Обеспечительное	Обеспечительное
Прикладное-фундаментальное	Обеспечительное	Обеспечительное	Обеспечительное	Обеспечительное

СУБД постоянно развиваются, и их уровень определяет поколение системы автоматизированного проектирования (табл. 3). СУБД первого поколения играли лишь информационную роль в операциях обработки информации, выполняющихся вручную в процессе автоматизированного проектирования. Системы второго поколения обеспечивают автоматической выдачей информации, СУБД третьего поколения дополнительно к выдаче/выводу информации обеспечивают автоматическое подключение или подключение информации пользователем или отдельной прикладной программой. Системы четвертого поколения предназначены для формирования производного построения данных в ЗУ, автоматического накопления целостности этих построений (структур) и эффективного извлечения из них требуемых данных. Иметь автоматизацию подтверждения целостности структур массивов информации и эффективность целеполагающего поиска требуемых данных отличает СУБД последнего поколения от предшествующих.

Дальнейшее развитие СУБД привело к образованию в автоматизированных системах третьего поколения мониторно-исполнительских систем, или "микропрограмм" САПР, которые обеспечивают пользователям средствами взаимосвязанного управления, программным и информационным обеспечением и возможностью оперативно изменять как направление поиска решений, так и сам характер процедур в процессе этого поиска.

Проектирование можно рассматривать как информационный процесс, потому что существует информационно-вычислительной системой, в которой осуществляется преобразование входной информации о проектируемом объекте, состояниях знаний в рассматриваемой области, предполагаемых проектов проектирования в выходную информацию в виде проектных документов, выполненных в заданной форме и сопутствующих решениях или результатах проектирования. Важной характеристикой САПР является связь со информационной средой с окружающей средой. Система называется статической, если в процессе проектирования не требуется информации о состоянии внешней среды в данный момент времени, и динамической, если при своем функционировании система непрерывно потребляет информацию о состоянии внешней среды из источников, находящихся вне системы проектирования.

Различают четыре вида САПР.

1. Универсальные межотраслевого характера, создаваемые для решения крупнейших народнохозяйственных задач, решения которых представляют существенный этап в научно-техническом прогрессе общества. С затратами на создание таких САПР обычно не связывают, при этом сами САПР часто имеют короткий "жизненный цикл", сопоставимый со временем проектирования универсального изделия.

2. Универсальные межотраслевого назначения с системой коллекционного поиска, использующие базы информации и интеллектуальные терминалы, имеющие мало со всей номенклатурой технических изделий отрасли (авиастрои). Такие САПР обычно строятся по двухуровневому иерархическому принципу: на первом уровне — мозговы ЗУМ с большими объемами памяти и большим быстродействием, на втором —

Таблица 4. Основные характеристики базисных СУБД ЗВМ

Параметры	БС-1022	БС-1951	БС-1985	БС-1988	БС-1990
Быстрая обработка, тыс. строк/с	90	200	150	250	450
Быстрая обработка с фиксированной длиной строки, тыс. символов	5,5–6	1,4–2	1,7–3	1,2–1,9	0,65
Быстрая обработка с фиксированной длиной строки, тыс. знаков	25–42	8,5	10–12	7	3
Память, Мб	1,28–51,2	4	4	8	0,6
Емкость ОЗУ, кбайт	1,28–128 (32–64)	256–512	128–1024	128–1024	256–8192
Наибольшая степень параллелизма	2	25	25	25	25
Время обращения к ОЗУ, мкс	125	725	109	100	100
Скорость передачи в ПОЗУ, мбайт/с	40	40	40	50–200	100–400
Компьютерный интерфейс, кбайт/с	600	500	740	1200	1500
Время доступа к ПОЗУ, мс	16	16	16	16	16
Быстрая обработка, тыс. строк/с	16	1,4	1,25	1,25	1,2
Быстрая обработка с фиксированной длиной строки, тыс. символов	2	0,9	0,9	0,9	0,5
Быстрая обработка с фиксированной длиной строки, тыс. знаков	41	89	73	86	55
Память, Мб	12	12	4	4	12
Емкость ОЗУ, кбайт	32	8	6	6	8
Наибольшая степень параллелизма	30	8	4	4	12
Время обращения к ОЗУ, мкс	1	1	1–2	1–2	1
Скорость передачи в ПОЗУ, мбайт/с	1000	350	150	700	1000
Компьютерный интерфейс, кбайт/с	64	32	64	64–256	12–64
Время доступа к ПОЗУ, мс	1,2	1,2	1	1	1,2

Таблица 5. Основные характеристики базисных СУБД ЗВМ

Параметры	ДАИКР-4*	-3Историан-	СИИ-1	СИИ-2	СИИ-3	СИИ-4
Быстрая обработка, тыс. строк/с	500	600	400	450	200	600
Быстрая обработка с фиксированной длиной строки, тыс. символов	16	16	16	16	16	16
Быстрая обработка с фиксированной длиной строки, тыс. знаков	2	1,4	1,25	1,25	1,2	1,2
Память, Мб	91	89	73	86	55	72
Емкость ОЗУ, кбайт	12	12	4	4	12	12
Наибольшая степень параллелизма	30	8	6	6	8	8
Время обращения к ОЗУ, мкс	1	1	1–2	1–2	1	1
Скорость передачи в ПОЗУ, мбайт/с	1000	350	150	700	1000	2000
Компьютерный интерфейс, кбайт/с	64	32	64	64–256	12–64	128
Время доступа к ПОЗУ, мс	1,2	1,2	1	1	1,2	1,2

периферийные ЭВМ, обслуживающие отдельные терминалы, устройства, абонентские пульты. Имеющийся опыт показывает, что головной объем проектной документации, создаваемой такой САПР, достигает 10 тыс. комплектов с физическим объемом до 200 тыс. документов.

3. Специализированные проектной организаций, по существу также системы коллективного пользования, но ориентированные на выполнение наиболее массивных проектных работ по конкретному изделию и реализованные на ЭВМ серии ЕС и СМ (табл. 4 и 5). С помощью таких систем пользователь получает возможность применять эффективные математические модели, методы моделирования и оптимизации на всех основных стадиях проектирования заданного объекта.

4. Индивидуальные, реализованные на мини- и микро-ЭВМ, предназначенные для выполнения отдельных видов инженерных расчетов и проектных работ, например чертежно-графических работ, механико- прочностных расчетов и др. Условно к этому типу САПР можно отнести автоматизированные рабочие места (АРМ), построенные на мини-ЭВМ, которые могут также входить в состав САПР более высокого уровня иерархии. Наиболее распространены САПР 3-го и 4-го типа.

На рис. 2 приведена схема организации проектных процедур в обобщенной системе автоматизированного проектирования, отражающая информационные связи процесса проектирования, при этом блоки соответствуют следующим проектным операциям и процедурам: формализация задачи 1; сбор информации 2; обобщение мирового научно-технического уровня 3; автоматизированный поиск информации 4; поиск вариантов решений 5; выбор необязательных методов 6; формализация методов проектирования и стимулирование творчества 7; анализ и оценка решений 8; сравнение результатов Р; описание объекта; формирование его модели 10; моделирование и оптимизация 11; детальное проектирование 12; выбор решения 13; управление чертежными автоматами 14; выпуск чертежей 15; проверка чертежей 16; выбор библиотечных элементов 17; вспомогательные артикли 18; автоматическое составление каталогов 19; автоматический поиск чертежей 20; автоматический поиск стандартов 21; комплектация документации 22; отработка документации 23; подготовка нормативных материалов 24; руководящие и справочные документы 25; подготовка машинных исходных 26; разработка документации 27; подготовка данных для БД 28.

Указанные базовые процедуры реализуются основными подсистемами преобразования информации, входящими в состав САПР. Рассмотрим следующие подсистемы.

Информационная подсистема. Основная задача этой подсистемы состоит в сборе, хранении, поиске, упорядочении, пополнении, выдаче всей необходимой для обеспечения процесса проектирования информации. Применение ЭВМ позволяет создать БД как совокупность универсальных компактных единиц с проектируемым объектом, источниками в себе:

• данными на научном научно-техническом уровне, фиксируемые в публикациях, описаниях патентов и изобретений и т. д.;

• фонд методов генерации вариантов решения с учетом синтеза новых принципов деействия с библиотекой физических эффектов и др.;

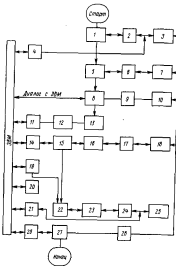


Рис. 2. Схема организации процедур в САПР

методами проектирования, представляющие собой формализованный количественный и качественный анализ специфики в данной области;

описание проектных характеристик объекта, его моделей для различных стадий проектирования;

артикли – хранилище языкового и системного опыта в виде уже имеющихся решений как всей задачи в целом, так и ее отдельных фрагментов; описание типовых элементов, комплектующих изделий, материалов и др.;

руководящие и справочные данные, нормативы, стандарты, положения и другие данные, регламентирующие процесс проектирования.

Имеется система управления БД, реализованная в БД, регулирующая механизм доступа к данным (запись, объединение, стирание или выдачу информации) в зависимости от запроса и их приоритетов, машинных ресурсов и т. д.

Возможно, что разработка информационной подсистемы и ее основных компонентов (структур данных и памяти, систем кодирования, характеристика обмена с пользователями, языка управления и характера обработки и пр.), а также ее эксплуатации, постоянное совершенствование и пополнение выводят за пределы возможностей проектирования конкретных технических объектов, квалифицированного специалиста в своей области. К тому же это частные задачи использования универсальных средств современных информационно-вычислительных систем, решаемая специалистами соответствующего профиля, которое входит в организационную структуру системы автоматизированного проектирования.

Из проектных процедур, указанных на рис. 2, к информационной подсистеме относятся 1-4, 17, 18, 20, 21, 23, 24.

Подсистема поиска решений технической задачи. Потребность в поиске и разработке новых техническихдей и решений возникает на начальных стадиях проектирования при поиске альтернативных вариантов будущих решений для технических объектов. В настоящее время существуют самые различные методики поиска решения технических задач, применение ЗВМ, в которых позволяют, с одной стороны, организовать эти поиски, сделать их более целенаправленными и обоснованными, а с другой стороны — повысить эффективность их выполнения, программно реализовать изменения поиска решений, относящихся к формализмам действиям.

Когда учитывается важность этой подсистемы, то в организационной структуре САПР предусматривает группу специалистов в данной области, подчиненную рассматриваемую подсистему новыми алгоритмами Гардестри.

Подсистема инженерного анализа (моделирования объекта и оптимизации его характеристик). Основное назначение этой подсистемы состоит в выполнении всех вычислительных работ, связанных с детализацией выбранного варианта решения проектной задачи. Важность этой подсистемы определяется общей тенденцией навязывания сложных моделей объектов и методов вычислительных методов, что позволяет значительно приблизить модели к действительным показателям объекта. Вычислительные методы в последнее время применяют в таких задачах, которые еще недавно решали интуитивно. Примерами могут служить задачи разработок иного вида объекта, пространственного проектирования и пр. Следует отметить, что арсенал вычислительных методов постоянно пополняется, многие инженерные задачи проектирования стимулируют разработку новых подходов и методов, новых критерии и алгоритмов.

Постепенно улучшается и модифицируется и сама методика проектирования. Поэтому в структуре САПР должна быть предусмотрена возможность изменения отдельных частей системы, определяемой новой методикой проектирования и новыми используемыми вычислительными методами, без изменения остальных составляющих или с их неизменением.

Разработка и эксплуатация подсистемы инженерного анализа выполняют специалисты соответствующих профилей, входящих в организационную структуру САПР. Опытный проектировщик — пользователь САПР также взаимодействует с этой группой специалистов, так как только он как специалист в своей области может уловить и формировать математические модели проектируемых объектов, предложить модификации методики проектирования, исходя из возможностей, обусловленных новыми вычислительными и проектными процедурами. В совокупности с проектировщиками работает пользователи-программисты, которые помогают ему для новой задачи вносить изменения в программы модулей различия отдельных этапов проектирования, включать в систему новые разработанные программные модули, а также вводить в систему описание новых объектов проектирования и новых элементов в архиве. При этом проектировщику и программисту не требуется знания полной структуры САПР и детально взаимодействия ее частей. На рис. 2 изображена инженерная анализа отображаемая процедурами блоками 8-13 и 19.

Подсистема ведения и изготовления документации. Проектно-конструкторская документация, в которой отображен будущий объект, является основным результатом функционирования системы проектирования, и называемые академисты задания и изготовления документации состоят в обеспечении получении проектных документов (чертежей, технических описаний, схем, графиков, таблиц и т. д.), необходимых для создания объекта проектирования. Разработка и изготовление документации на всех этапах проектирования составляет обычно 45–60% всех трудозатрат, причем это наиболее квалифицированная, однотипная и довольно утомительная работа. Ее автоматизация позволяет, с одной стороны, существенно сократить затраты труда и времени, а с другой — сравнительно легко обеспечить искажение во всячики проектной документации изменений и коррекций.

Автоматическое проектирование документации, полностью заменившее человека, осуществляется с помощью широкого набора современных технических средств: чертежных автоматов и графопостроителей, устройств макрофильмирования, репродукциония и др.

В рассматриваемой подсистеме осуществляется комплексная документация, т. е. разбиение на страницы стандартного формата, размещение графических символов на поле одной страницы, проведение соединительных линий между различными графическими символами, при этом учитываются различные требования и ограничения.

Использование для получения документации устройств можно разделять на два типа.

1. Быстро действующие дисплеи и алфавитно-цифровые печатающие устройства (АЦПУ), позволяющие организовать контроль за качеством изготовления документации и оперативно вносить в нее изменения; при этом в случае использования дисплея требуется дополнительное оборудование для получения "первой" линии, а АЦПУ обладает ограниченным алфавитом, определяющим качество окончательного документа.

2. Медленные графопостроители (часто с печатающей головкой), давшие возможность получить графическую документацию в закончен-

ном виде. Рассматриваемой подсистемой, в частности, реализуются процедуры 14–16, 22–24, 26, 27, показанные на рис. 2.

Оригинальная черта современных САПР проявляется и в том, что они ориентированы на сквозную автоматизацию, для чего предусматривается не только выпуск проектной документации для объектов, но и одновременное изготовление машинных носителей информации для технологических автоматов, с помощью которых изготавливается объект, стаканов с числовым программным управлением, обрабатывающих центров, промышленных роботов, программ для ЭВМ группового управления оборудованием, контроллеров автоматов и др.

Примененные подсистемы составляют основу новой технологии автоматизированного проектирования инженерных объектов и являются, по существу, инвариантными по отношению к объекту проектирования. При этом указанной технологией проектирования ползовутся проектировщики, не обладающие глубокими знаниями в области программирования. Ему достаточно знать только правила записи технического задания на проектирование с помощью специальных языков описания объекта и директив управления системой, чтобы инициировать процесс обработки и отображения информации в САПР. Специальные диагностические средства, рассмотренные ниже, позволяют ему оперативно получать промежуточные результаты в процессе решения задачи и иметь возможность влиять на ход ее решения, не прерывая вычислительного процесса. Средством доступа к взаимодействию пользователя с ЭВМ является терминал, в качестве которого может быть пульт дистанционного управления, дисплей и пр.

5.1.2. Программное обеспечение САПР

Для работы САПР требуется несколько видов обеспечения. В табл. 3 перечислены шесть видов, из которых для читателя этого учебника интерес представляют математическое, прикладное программное и, в некоторой степени, информационное обеспечение.

Математическое обеспечение САПР – это математические модели проектирования, которые рассматриваются далее в гл. 2.

Программное обеспечение САПР подразделяется на общее и прикладное. Общее – набор программ, предназначенный для повышения эффективности использования вычислительных комплексов САПР и производительности труда персонала, обслуживающего эти комплексы. Прикладные – определенные образом составленные наборы программ, предназначенные для негоцерственного использования при решении проектировочно-конструкторских задач. Сложность, объем и стоимость программного обеспечения возрастают быстрыми темпами. Так, если в начале 70-х гг. затраты на программы в техническом обеспечении относились как 2:1, то по прошествии на 1985 г. они будут относиться как 5:1. Высокая стоимость создания программного обеспечения в традиционной системе определяется трудоемкостью его отладки. Она доведет до 60% общей трудоемкости создания программного обеспечения. Разработка этого обеспечения представляет собой длительный итерационный процесс,

так как на начальных стадиях не всегда удается точно сформулировать алгоритмы и методики, а эти же ошибки невозможно выявить по звонку в звонок ПМ. Другими видами ошибок, обнаруживаемых в процессе отладки программного обеспечения, являются ошибки исходных данных, ошибки используемых операторов, ошибки в синтаксисе обращений к операторам передачи управления. Статистика соединяет число операторов с ошибками как 2% от общего числа операторов в программных модулях, причем наибольшее число ошибок приходится на операторов передачи управления – примерно 10% их общего числа. Этими цифрами можно руководствоваться для оценки трудоемкости отладки языка формализации пакетов программ, если принять во внимание, что среднее затраченное время на выявление одной ошибки в ПМ объемом 2 тыс. операторов составляет около 3 ч, и комплексная отладка в динамике пакета программных модулей объемом до 80 тыс. операторов требует около суток.

Информационное обеспечение – совокупность массивов, содержащих следящие спаренные характеристики и входящие в БД. Это сводники по горючим судам, запасам, механизмам, материалам, оборудованию и пр. На ранних стадиях автоматизации проектирования существовала потребность хранить в 3У ЭВМ только отдельные величины спаренно-информационного характера. Прогресс в развитии САПР потребовал существенного увеличения объемов используемой информации и соответственно перехода от фрагментарного к интегрильному обеспечению. Одним из первых достижений на этом пути явилась организация информации в виде совокупности массивов данных (файлов). В начале 60-х гг. файлы (анги, –рия, очередь) записывались прямым последовательным способом. Обработка производилась в пакетном режиме без доступа в реальном масштабе времени. Хранение нескольких копий одного и того же файла, так как после однократного использования предшествующие поколения данных уничтожаются. Одни и те же файлы редко использовались для нескольких задач. В файлах наблюдалась высокая степень избыточности информации. К концу 60-х гг. была достигнута пакетная обработка информации в оптимальном или реальном масштабе времени, 3У можно было менять без замены архитектуры программы, но в массивах еще существовала значительная избыточность данных. К началу 70-х гг. наметился третий этап развития информационного обеспечения. Обеспечено доступ к одиным и тем же данным для различных задач различными путями. Программное обеспечение содержит средства уменьшения избыточности данных. Физическая структура данных независима от прикладных программ, ее можно изменять с целью повышения эффективности БД, не влияя при этом модификации прикладных программ. К концу 70-х гг. относится четвертый этап – программные средства обеспечивают логическую и физическую независимость данных, допуская существование глобального представления данных. Создаются БД для видов ответов на не планируемые заранее информационные запросы. Создаются СУБД. Современные САПР характеризуются наличием АБД, в состав которых входит совокупность массивов информации для проектирования, языковыми средствами описания и манипулирования данными, средства организации, хранения, воспроизведения и доступа к этим данным. АБД могут использоваться как в составе САПР,

так и в традиционных системах проектирования, обеспечивая полную автоматизацию процесса конструирования, хранения и доступа к данным во всех режимах использования вычислительной техники.

При разработке программного обеспечения САДР используются принципы модульности как на уровне программы, так и на уровне языка языка моделирования, организация общей БД, создания автономных подсистем предварительной подготовки исходных данных.

Технические параметры общего программного обеспечения САДР определяются существующей номенклатурой операционных систем (ОС) и комплексом программ технического обслуживания. Основными операционными системами ВС ЭВМ являются ОС ЕС и ДОС ЕС, предназначенные для эксплуатации на всех совместных моделях ВС ЭВМ. Операционные системы облегчают высокий уровень производительности вычислительной системы, позволяя программисту:

- делить задачу на части, кодировать каждую часть на языке, наиболее для нее подходит, и затем объединять их в готовую к выполнению программу;

- писать большую программу за секции, с тем чтобы уменьшить потребность в основной памяти;

- автоматизировать процесс отладки программ;

- помещать готовые с комплексными программами и системные библиотеки и получать доступ к этим программам с помощью символьических запросов;

- выполнять программу несколько раз после ее трансляции либо запоминать результат трансляции;

- использовать стандартные процедуры языка-языка для работы с данными.

Физически ОС ЕС представляет собой несколько программных библиотек и системных таблиц. Основными компонентами ОС являются управляющие и обрабатывающие программы, а также сервисные (обеспечивающие и тестово-диагностическое) программы (рис. 3).

Управляющие программы реализуют функции управления заданиями, управления ходом выполнения программы и управление данными. Управляющая программа следит за выполнением обрабатывающих программ и приставочных программ, составленных пользователем. В состав управляющих программ входит программа:

- управления задачами (супервизор), управляющая всем ходом вычислительного процесса на машине;

- управления заданиями, подготавливающая систему для выполнения новых заданий;

- управления данными, осуществляющая передачу данных между основной памятью и внешними устройствами;

- управления восстановлением системы, используемая при переходе системы из одних режимов работы в другие.

Управляющие программы осуществляют первоочередную загрузку оперативной памяти и управление всей работой системы, включая обработку прерываний, распределение работы каналов, загрузку программ



Рис. 3. Структурная схема программного обеспечения ВС ЭВМ

из библиотек в оперативную память. Они организуют прием заданий, их контроль, подготовку запрашиваемых программ к выполнению, их запуск, автоматический переход к следующему заданию.

Ход решения задачи непосредственно контролируется программой-супервизором. Задача может выполняться в однопрограммном или мультипрограммном режиме. В однопрограммном режиме ЭВМ выполняет одну задачу, и все технические средства ЭВМ находятся в распоряжении этой задачи. В мультипрограммном режиме ЭВМ может одновременно выполнять несколько независимых друг от друга задач, и ОС ЕС должна распределить технические средства между этими задачами. Термин „одновременно“ не следует понимать буквально: промежуточных изменений в аппаратуре не происходит, в каждый момент процессор может обрабатывать только одну программу, но долговременная работа каналов ввода-вывода и процессора позволяет, на время обмена данными одной программы „запустить“ процессор другой программы, т. е. пока одна программа находится в состоянии ожидания конца ввода-вывода, процессор обрабатывает другую программу. Для оператора эти программы выглядят „одновременно“, ОС ЕС обеспечивает динамическое распределение памяти и возможность работы по приоритету со многими заданиями и задачами.

К обрабатывающим программам относятся трансляторы с основных алгоритмических языков FORTRAN, ПЛ/1 и др. Важное свойство алгоритмических языков – возможность автоматического перевода описания задач в машинную программу. Описание алгоритма на алгоритмическом языке получается скрытым и представляется в символьных, словах с математическими, что облегчает их чтение. Алгоритмические языки обеспечивают возможность записи алгоритмов решения задачи независимо от ЭВМ, на которой задачи будут решаться. Специфику машины учитывает язык ассемблера, связанный с программистом обозначести по запоминанию ма-

шников кодов команд, вычисление истинных адресов памяти и т. д.

В ОС программы, записанные на алгоритмическом языке, транслируются в обычный модуль, поэтому синтаксис исходного языка программирования после трансляции теряется. Для того чтобы получить программу, готовую к выполнению, объектный модуль должен быть обработан редактором связей. Результат работы редактора связей называется абсолютными или загруженными модулями. Загрузочный модуль может состоять из заранее прогаптированных частей (объектных модулей) и подпрограмм, хранящихся в библиотеках.

В соответствии с особенностями загрузки абсолютные (программы) модули являются за единицами используемые, которые используются в реестрируемых. Последние напоминают реализацию ресурсной процедуры, которая использует саму себя в качестве подпрограмм. Такие модули определяются во время редактирования связей по указанию программиста.

По структуре загрузочные модули могут быть простыми и сегментированными. Простой загрузочный модуль содержит в себе все команды, необходимые для его выполнения. Если дана модульная схема, то используются сегментированные модули. В этом случае может быть применена смешанная структура, при которой одна и та же область ОЗУ используется различными сегментами, синхронизирующимися друг друга. Для сложных задач применяют динамические структуры абсолютных модулей, когда сегменты вызываются и загружаются в ходе процесса выполнения программы во мре необходимости.

Операционная система содержит следующие сервисные программы: "редактор связей" (обеспечивает получение программы, готовой к использованию из ЭВМ);

"коррекция-объединение", или библиотекарь (обеспечивает коррекцию и об служивание библиотек ОС ЕС);

автоматомной проверки внешних устройств;

перезапись массивов с носителя на носитель, перегрузировка запаса и упорядочение массивов (утилиты);

составления печатных отчетов на проблемно-ориентированном языке и др.

Сервисные программы осуществляют объединение отдельно скомпилированных модулей в одну из нескольких исполнимых программ, составление перекрывающихся абсолютных модулей, регистрацию памяти для обширных областей. Предусмотрена работа с библиотеками программ и реализацией функций копирования, обновления, сжатия и пополнения библиотек, а также создания личных библиотек. Кроме того, в программном обеспечении предусматриваются средства для отладки программ и редактирования отладленных программ, тестирования и диагностическое правильности функционирования технических программных средств вычислительной системы.

Операционная система имеет модульную структуру, которая позволяет приспособливать систему к конкретным конфигурациям технических средств ЕС ЭВМ. Отдельные программные компоненты ОС, а также конкретные функции управляющей программы могут включаться в скон-

струю по желанию пользователя. Процесс создания конкретной структуры ОС, учитывающей особенности ЭВМ и задач пользователя, называется генерацией системы. Средства генерации системы представляют собой совокупность программ и языков, позволяющих генерировать ОС для своих конкретных целей.

В состав программного обеспечения САПР входят пакеты прикладных программ (ППП), ориентированные на решение определенных задач проектирования и решаемые как поддержка над ОС. Архитектура современных ППП обычно представляется следующим образом. Основу ППП составляет некоторое множество программных модулей, каждый из которых является узкоспециализированной программой некоторого алгоритма или даже его фрагмента. При этом пакет предполагает следующую аналогию проектирования и программирования:

Проектирование объекта	Программирование
Структурное описание объекта	Структурная диаграмма
Логическое описание объекта	Структурная схема программы
Детальное описание	Программа
Техническое решение	Программное решение
Проверка	Отладка
Состав компонентов	Алгоритмический язык
Компонент объекта	Оператор языка
Методы решения конкретных задач	Методы программирования
Технология проектирования	Технология программирования

Из множества программных модулей выделяется подмножество управляемых модулей, составляющих универсальный или специализированный монитор САПР. Программа-монитор САПР организует тесный процесс в соответствии с принятым алгоритмом управления.

При проблемной ориентации САПР проектировщик необязан определять лишь исходные данные, задать вид их обработки и указать форму представления результатов. Для обеспечения этих функций в состав системы должны быть включены: входной язык и транслятор с него, транслирующие программы преобразования заданного аналитического объекта, программы обработки и вывода результатов в форме, удобной в практической проектировщиков-пользователей САПР. Доступность САПР, главным образом, зависит от возможностей языка понимодействия (его связи с профессиональным языком пользователя), легкости организации имитационного процесса, наличия инструментальных сервисных операций, автоматизирующих процессы ввода-вывода, тестирования и редактирования библиотек.

Возможная структурная схема программного обеспечения такой проблемно-ориентированной САПР (например, САПР проектной организации) изображена на рис. 4.

В основу общей организации такой САПР положен модульный принцип с последовательной работой практических программных модулей. Их программный модуль понимается функционально определенная совокупность взаимосвязанных программ (в частности, одна программа), обладающая единой формой менеджерских связей и реализующая некоторую процедуру управления или преобразование информации.

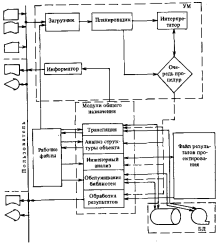


Рис. 6. Структурная схема программного обеспечения САИР

Выбор такой структуры определяется, с одной стороны, стремлением преодолеть ограничения, вызываемые размерами оперативной памяти ЭВМ, с другой стороны, возможностью параллельной (паралледутной) работы системы. При ограниченных размерах ОЗУ необходима сегментация не только программных модулей, но и исходной информации. Каждый модуль системы работает автономно, т. е. считывает исходные данные с накопителей на магнитных дисках и лентах (НМД или НМЛ) или устройства ввода с перфокарты (УПК), обрабатывает их и записывает полученные результаты на НМД и НМЛ.

Изменение последовательности выполнения отдельных предварительных программных модулей (на основании приоритетов реализуемых ими процедур), распределение замыкания, организация входа и выхода данных осуществляется универсальным монитором (УМ). В состав супервизора

входит программы: "Загрузчик", "Планшетчик", "Интерпретатор", "Информатор" (см. рис. 4). "Загрузчик" осуществляет вход исходных данных и разделение управляемых и описательных операторов языкового языка. "Планшетчик" формирует очередь процедур. "Интерпретатор" содержит средства по вызову и активации процедур. "Информатор" сообщает пользователю текущие состояния системы проектирования, а также диагностику ошибок в исходном описание данных. Перечисленные выше модули постоянно находятся в оперативной памяти ЭВМ.

Модули общего назначения (см. рис. 4) реализуют процедуры трансляции описательных операторов языкового языка, инженерного анализа объекта и оптимизации, обработка библиотек систем, обработки результатов проектирования. Модули общего назначения расположены в архиве системы, организованном на НМД.

Связь программных модулей осуществляется посредством буферных файлов, помещаемых в промежуточную память. В САИР используются два типа буферных файлов: рабочие файлы и файл результатов проектирования. В первых запоминается информация о структуре проектируемого изображенного объекта, типе и параметрах составляющих его элементов (фрагментов); во втором накапливаются данные, генерируемые программой инженерного анализа (моделирования). При переполнении файла результатов выполнения программы проектирования прерывается и выполняются заданные пользователем программы обработки результатов проектирования. После завершения последних возобновляется моделирование до нового заполнения файла результатов и т. д.

Модели изображенных объектов (элементов) и таблицы их характеристики хранятся в соответствующих библиотеках системы. Библиотеки имеют иерархическую структуру, отражающую тип используемой памяти: текущая библиотека расположена в памяти с прямолинейным доступом (НМД), а постоянная библиотека в памяти с последовательным доступом (НМЛ). Загрузка в оперативную память и инициализация супервизора САИР определяется на языке управления задачами ОС. После этого связь с системой возможна только с помощью проблемно-ориентированного языка языкомоделия САИР.

Подобная структура позволяет легко параллизовать функциональные возможности системы путем расширения набора программных модулей и модифицировать существующие программные модули. Практическую ценность этого качества труда перевозчика, поскольку даже продуманные, тщательно отложенные системы программ всегда совершают ошибки, которые обнаруживаются только при экспериментальных расчетах и в процессе последующей эксплуатации. Модульная структура САИР и специальные средства автоматизации языков программирования модулей позволяют пользователю легко разрабатывать систему и пристосовливать ее под свои задачи.

Системы автоматизированного проектирования продолжают постоянно развиваться. Появляются новый вид автоматизированного управления процессом проектирования. В состав САИР вводятся средства видеоконференций пользователей, взаимодействия с повторной работой с измененными данными, извещения о необходимости обновления принятых решений и т. д.

Техническое обеспечение САИР, ориентированное на языки ЭВМ, позволяет гибко включать в состав вычислительных средств, подключаемых к ре-

шению тех или иных задач в каждой системе. Использование замоноличенных устройств на юнипиритовых магнитных дисках и лазерного типа значительно расширяет возможности записи, хранения и извлечения информации. Другим новшеством будет использование в составе сетей ЭВМ вычислительной техники, синхронизированной на аппаратное выполнение ряда функций, которые в настоящее время выполняются программно. Значительно расширяются возможностях воспроизводящего оборудования. Появятся широкозримые дисплеи, имеющие значительные объемы буферной памяти.

§ 1.3. Пакеты прикладных программ

Уже при использовании ЭВМ первого поколения стали запускаться наборы наиболее часто встречающихся программ. Такие программы, разработанные с учетом требований совместности и единства обрамления эксплуатации, стали трумповать в таком программе. На первом этапе основной задачей программистов было обеспечение информационной совместимости программ одного пакета. Это постигалось в основном за счет придачи информации специфического назначения и той же формы представления. Для использования ППЗ применительно к определенному набору задач необходимо было вручную выбирать подходящие программы по каталогу и составлять главную программу, управляющую из работой. Такие ППЗ применяются и в настоящие времена в тех случаях, когда пользуются большим числом программ, причем частота использования каждой отдельной программы неизменна.

Второй этап развития ППЗ относится к середине 70-х гг., когда были автоматизированы поиск и сборка ПМ путем введения в ППЗ мониторно-исполнительской системы, использующий лишь минимальные сведения для подбора нужных данных на расчету ПМ. В качестве нового компонента ППЗ на этом этапе появляются архив справочных данных. Такое усовершенствование упростило использование ППЗ, позволило сократить объем данных, входящих для решения каждой задачи, примерно в 2 раза. Подобный пакет описан в § 3.3 и дан в прилож. 1 под названием "Даунл".

Следующим этапом в области организации программного обеспечения является создание ППЗ с генерацией программ, в которых мониторно-исполнительская система не только осуществляет связь между ПМ, но и определяет, какие модули необходимы для решения конкретной судостроительной задачи. Пользователь дает только описание задачи, которое переводится мониторно-исполнительской системой с языка языка пакета на язык программирования и приводят вид программы для решения этой задачи.

В последние времена в ряде зарубежных САПР (например, в системах CASDAS и "Stablit") созданы мониторно-исполнительские системы, которые можно рассматривать и как средство самообслуживания САПР, обеспечивающее замоноличивание новых сведений в языке смысловой (семантической) модели и информации о решаемой задаче. На этой стадии развития программного обеспечения делаются попытки приблизить языки

пакетов к естественному языку и вводится режим диалога для работы с пакетами программ.

Важным фактором дальнейшей автоматизации проектирования в 70-х гг. было появление мини-ЭВМ, которые при значительном недороговизне и стоимости обладают примерно такими же возможностями, что и большинство ЭВМ 60-х гг. Мини-ЭВМ устанавливаются в любом помещении, отличаются надежностью и простотой обслуживания. Основой прикладного программного обеспечения таких машин являются ППЗ.

Можно определить ППЗ как совокупность программы, совместимых по структуре пакетов и способом управления, объединенных общностью функционального назначения как средства решения определенного круга задач. Обычно ППЗ различают на конкретный круг пользователей. Существует ППЗ "Проектирование судна", осуществляющий оптимизацию элементов определенных классов судов, ППЗ "Литоэко-технологическая подготовка верфи", ППЗ для обработки графической информации и т.д.

По характеру решаемых задач можно выделить три группы ППЗ: системные пакеты, расширяющие возможности специальных систем по организации работы многоцентровых вычислительных комплексов; универсальные пакеты, предназначенные для решения вычислительных задач в различных областях судостроения;

специальные пакеты, предназначенные для решения прикладных задач судостроения.

Рассмотрим несколько примеров последних ППЗ.

Особенно больших затрат труда требует создание пакетов программ машинной графики, обеспечивающих работу в диалоговом (интерактивном) режиме. Такие пакеты помимо собственно трактации программ содержат программы управления диалогом, программы встроенных и преобразования графических изображений, программы формирования и обработки директив пользователя. В СССР разработан и эксплуатируется ряд программ машинной графики в области машиностроения и радиотехники. К числу пакетов машинной графики в супостроении относится ППЗ "Астра", предназначенный для автоматизированной обработки документации во судовых трубопроводах. С помощью этого пакета возможно получение следующей документации: листами картосхем линий труб; спецификаций к листам альбомов; спецификаций на монтаж трубопроводов; расчета координат центра тяжести по каждому чертежу; ведомостей на изоляцию труб и арматуры; ведомостей на отпечаточные шланги; ведомостей на закач арматуры; материалов и труб на стадии технического проекта; расположение листов статистических данных по вытупающим с помощью ЭВМ рабочим чертежам трубопроводов; расчетов трудоемкости рабочего чертежа по трубопроводам; исходных данных для выпуска документации с помощью ЭВМ. Работа с пакетом возможна при наличии следующих средств на вычислительной технике: ЭВМ ЕС-1022 с оперативной памятью объемом 512 кбайт; двух НМД ЕС-5061, двух НМД ЕС-5010; алфавитно-цифрового печатающего устройства ЕС-7032. В качестве языка программирования используется АССЕМБЛЕР, БИЛ и ФОРТРАН-4. Интенсивные работы в области автоматизации графических работ ведутся в зарубежном судостроении, что объясняется аналогичной подготовкой Чертежно-конструкторской документации.

По данным работы [36] о работе четырнадцати японских фирм суммарная трудоемкость проектирования машинных отделений судов лежит в пределах 10–60 тыс. ч, находясь в пределах 6–12 тыс. чел.ч. Из них 75% приходится на разработку документации по общему расположению, системам и трубопроводам, 23% – на подготовку чертежей оборудования помещений, 2% – на подготовку машинных чертежей.

Примерами приставочных пакетов для автоматизации проектных расчетов могут служить ППИ „Roxxy“ (ФРГ) и „Hande“ (США) [36].

Первый из них разработан фирмами „Fleider Werff“ и „Werff Nob“. Он включает 56 ПМ будготированных расчетов. К числу важнейших относятся модули BON, HYD, PANTO, предназначенные для построения масштаба Бонсона, краевых элементов теоретического чертежа и пантохары; модуль TRIEST, предназначенный для расчетов осейности; модуль ОРПИ, оптимизирующий распределение колесников. Имеются модули неподвижности, продольной прочности, сопротивления, скорости, оптимизация движителя и т. д. Поступаемость вычислений ПМ формируется автоматически и проходит в пакетном режиме. Проектант следит за ходом расчетов с помощью алфавитно-цифрового дисплея.

Если конечные или промежуточные результаты не удовлетворяют установленным требованиям, расчет пропускается и повторяется после изменения исходных данных. Пакет „Roxxy“ ориентирован на использование в качестве центральных устройств портативных ЭВМ „Hewlett Packard 9845A и 9845T“. ППИ „Hande“ разработан фирмой „Boeing“ для автоматизированного проектирования судов на подводных крыльях. Включает 16 ПМ, мониторно-исполнительную систему и программу формирования текущей модели судна. Каждый ПМ состоит из алгоритмов трех типов: начальной, синтезирующей и анализирующей. Начальная программа с помощью простых эпиретических соотношений проводит различные проектные расчеты, которые служат основой для дальнейших вычислений по синтезирующим программам. С помощью последних методов критерий вычисляется уточненными характеристиками теоретических чертежей корпуса и крыльевой системы, элементами движительного комплекса при ходе на крыльях и на плоск., массы отдельных составляющих нагрузки и т. д. Синтезирующие программы постоянно взаимодействуют с „текущей моделью“ судна (начальной программой) и корректируют ее. Анализирующие программы не взаимодействуют с „текущей моделью“, а позволяют проектанту получать с нее подробную информацию. Конструктор имеет возможность управлять процессом проектирования с помощью мониторно-исполнительской системы, запускающей ход процесса конструирования получаемых результатов с информацией, хранящейся в БД и полученной при проектировании других судов на подводных крыльях. Отмет эксплуатация показала, что экономия затрат излишнего труда достигает для отдельных проектов 90% общего объема проектных работ [36].

Таким образом, в области приставочного программного обеспечения на смену отдельным разрозненным программам пришли ППИ, включающие в себя языки, а иногда и сеть ПМ и управляемые единими мониторно-исполнительскими системами.

5.1.4. Средства общения и диалоговые подсистемы

Важнейшим звеном любой САПР является пользовательская система. Различные группы пользователей предъявляют неодинаковые требования к организации процесса взаимодействия. Это зависит от их знаний, творческих способностей и устремлений. В связи с этим существует понятие уровня пользователей. К первому уровню относят сами разработчики САПР. Ко второму – те, кто хорошо знает построение системы и может внести в него изменения: изменять содержащиеся библиотеки, встраивать свои собственные приставочные программы модули и таким образом совершенствовать процесс проектирования, надесямая его для новых задач. К третьему уровню относят пользователя, работающего в системе с помощью ориентированного на них языка взаимодействия. Процесс проектирования в этом случае сводится к заданию исходных данных, постановке задачи исследования, проведению расчетов, анализу результатов, принятию решения, заключающемся в изменении исходных данных или промежуточных параметров. Четкой границы между указанными уровнями пользователей провести невозможно, однако опыт внедрения САПР показывает, что большинство пользователей в проектных организациях относится к третему уровню. Поэтому при работе в САПР необходимо обеспечивать полное взаимодействие всех активных участников разработки и эксплуатации системы: проектировщика, оператора ЭВМ и внешних устройств, программиста, оператора банка данных и администратора САПР.

Основными применяемыми в настоящее время режимами работы вычислительных систем, определяющими способ организации взаимодействия пользователя с ЭВМ, являются режимы пакетной обработки данных и разделения времени.

В режиме пакетной обработки информации пользователь не имеет непосредственного доступа к ЭВМ, при этом процесс взаимодействия разбивается на следующие этапы:

- введение проектируемого объекта на языком языке и определение необходимых процедур решения задачи проектирования;
- передача опомин (блоков с программами) на перфорирование;
- перфорование;
- передача пакета перфокарт на операторское обслуживание;
- выполнение задачи проектирования на ЭВМ;
- передача результатов пользователю;
- анализ результатов.

Первый и седьмой этапы выполняет сам пользователь. Время решения технической задачи определяется длительностью третьего–шестого этапов и зависит от организаций работ на конкретном вычислительном центре. В среднем она может занимать от 2–4 ч до нескользких суток.

В режиме разделения времени пользователь с помощью терминала киперсредствами изменяет массивы исходных данных и управляет процессом решения. Если решение получается в режиме масштаба времени, то такой режим называют диалоговым. Процесс взаимодействия при этом состоит из следующих этапов:

описание инженерного объекта на языке языке;
периоды описаний на перфорированье;
перфорирование;
связь непосредственного взаимодействия с ЭВМ.

Первый—третий этапы выполняются при первичной подготовке исходных данных и в последующих сеансах взаимодействия могут отсутствовать. Длительность сеанса взаимодействия зависит от физических параметров и класса решаемых задач. Как правило из-за утомляемости пользователя сеанс не превышает 2 ч.

Наиболее подходящим устройством ввода-вывода для диалоговых подсистем является экранный пульт (дисплей), связанный с каким-либо устройством документирования. Основным преимуществом диалогового режима является легкость внесения изменений в данные. Если в текущем режиме структуры входящих данных обычно фиксированы, диалог ведется в определенной последовательности, то в диалоговом режиме процесс ввода ограничен только наличием базовых операций ввода-вывода, исключение, корректировка данных. Эти операции в свою очередь обладают гибкой командной структурой и предусматривают изменение не только записей в целом, но и отдельных ее элементов. При обработке результатов выполнения программы диалогового режима заключаются в том, что можно легко выбирать просмотр результатов, а затем определять объем вывода; контролировать объем вывода; воспользоваться упрощенными форматами вывода для предварительного просмотра результатов; определять набор процедур проектирования на основании текущих результатов.

Подготовка и редактирование массивов исходных данных, а также реализация графической процедуры вывода результатов анализа выполняются сравнительно быстро, поскольку при этом не используются арифметические операции. Дисплеи способны выстраивать образные связи в виде сплошного зеркальства в цветовом пера, а также функциональной клавиатуры, позволяющей оперировать с графическими конфигурациями. Комбинируя возможности цветового пера и клавиатуры, проектировщик вводит в ЭВМ через экран действия первоначально замыслы будущих конструкций объекта, а затем с помощью ЭВМ совершенствует ее в детализации. Для графического диалога эффективно используются дисплеи на запоминающих трубках и спиральных магнитах с координатной сеткой и указателем, позволяющим вводить значения координат в ЭВМ.

Диалоговый режим наиболее эффективен при подготовке исходных данных и при решении различных оптимизационных задач.

Комбинированный режим является режимом дистанционной пакетной обработки. В этом режиме экранные пульты используются исключительно для целей автоматического ввода-вывода.

Знакомое изделие из организаций диалогового взаимодействия оказывает значительное оборудование. Современный эффективный комплекс технических средств для реализации диалогового режима работы проектировщика обычно содержит (рис. 5):

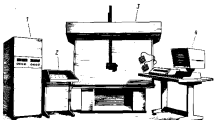


Рис. 5. Комплекс технических средств для реализации диалогового режима

малую специализированную или универсальную вычислительную машину со своим набором устройств ввода-вывода алфавитно-цифровой информации, обеспечивающую управление работой всего комплекса технических средств, а также реализацию функциональных программ обработки графической информации (1);

устройства вывода графической информации (плоттеры, рулонные), предназначенные для документирования промежуточных и окончательных графических результатов проектирования (2);

устройства автоматического и полуавтоматического ввода графической информации (кодираторы), используемые для обратной связи ввода графической информации (3);

устройства оперативного графического взаимодействия проектировщика с машиной (дисплеи), предназначенные для отображения промежуточных графических результатов и их оперативной корректировки (4).

В настоящее время серийно выпускаются автономные диалоговые вычислительные подсистемы, построенные на базе малых ЭВМ (типа СМ ЭВМ) и предназначенные для автоматизации проектирования в различных отраслях промышленности. Примером может служить автоматизированное рабочее место проектировщика в машиностроении (АРМ-М).

Комплекс АРМ-М представляет собой совокупность технических и программных средств для организации диалоговых режимов проектирования изделий машиностроения, а также для выполнения различных работ, связанных с вводом-выводом, редактированием графической и текстовой информации. Ядром комплекса является мини-ЭВМ типа „Никар-4“ или СМ-3. Процессор мини-ЭВМ связан общей шиной как с первоначальным оборудованием, так и с процессором большой ЭВМ. Прямой доступ к оперативной памяти обеспечивают НИД и графический дисплей (ЭПГ-400). Обычно система математической обеспечение АРМ-М

на базе дисковой ОС с четырьмя разделами мультипрограммированной обеспечивает возможности: монтификации аппаратуры среды компакт-диска; вывода и вывода графических данных; промещения определенного объема вычислительных работ; холостых информации для дальнейшей передачи ее на большую ЭВМ; отображение на дисплеях в выводе результатов на графопостроители; выпуска документации; корректировки и редактирования текстовой и смешанной информации; вывод типовых элементов в библиотеку и их редактирования.

Язык взаимодействия является средством, обеспечивающим контакт пользователя с вычислительной системой в упрощенном режиме автоматизированного проектирования. Он должен быть выраженным, простым в использовании; обладать гибкостью, позволяющей применять его для описания широкого класса задач; обладать проблемно-ориентированным, так называемым в применении к конструкциям языка понятием, присущим проектировщику. Язык взаимодействия пользователя с ЭВМ является важнейшей составной частью САПР и должен обладать многими качествами, присущими универсальным языкам программирования. Однако применение универсальных языков типа АЛГОЛ, ФОРTRAN, ПЛ/1 в некоторой конкретной узкой области проектирования промежуточно и неудобно. Альтернативой этому подходу является создание проблемно-ориентированных языков и трансляторов к ним. Здесь предпочтительны подходы к построению языка, исходящий из основных операций и структур языка, характерных для соответствующей области применения. Любой язык есть знаковая система, описание которой является алфавитом, спарсером и синтаксиком, с помощью которых выражается входная информация. Обычно используются алфавит, состоящий из цифр, букв, знаков препинания, логических и арифметических операций.

Словарь содержит перечень используемых в языке слов и правил их применения.

Синтаксис определяет набор правил объединения слов в предложения. Различают бесформатные (контекстно-свободные) языки, допускающие произвольное расположение слов в предложениях, и форматные (контекстно-сигнатурные) языки с жесткой структурой предложений. Кроме того, различают позиционный язык, значение слов в котором зависит от занимаемого места в предложении, и дескрипторный язык, выражение слов в котором отображены занятия и оттенки в грамматическом, логическом и семантическом аспектах.

Семантика определяется набором правил, позволяющих ЗВМ практика оценивать смысл анализируемого предложения, а прагматика — набором правил, устанавливающих связь между вводным текстом и состоянием звеньев языка технического коммуникации.

Изменение взаимодействия пользователя с ЭВМ можно в общем случае представить как совокупность трех взаимосвязанных языков:

описания объекта проектирования (структуры вводных данных); управление вычислительным процессом, т. е. логикой обработки.

сообщений САДР, с помощью которых пользователь получает сведения о состоянии данных и возможных режимах использования системы.

Очевидно, что реализация проблемно-ориентированного языка требует высокой квалификации программистов и представляет собой достаточно сложную задачу. Поэтому в настоящие времена ведутся разработки синтаксисно-ориентированных трансляторов, которые смогут бы автоматически настроиться на форматное описание синтаксиса и семантики языка и тем самым существенно упростить создание конкретных языков для якобинов САИР.

5.1.5. Организация проектно-конструкторских работ в традиционной и автоматизированной системах проектирования

От организации процесса проектирования в большой степени зависит качество проекта и сроки его разработки. Проектирование сложной системы органически нельзя выделить в отдельные приемы, поскольку необходимо последовательное сополение декомпозиции, анализа задачи и ее синтеза. Сборка частных результатов в единую целую позволяет одновременно свойства системы после принятия ряда решений, затем при необходимости можно внести корректировки в частные решения и повторять синтез и оценку свойств системы. И так до тех пор, пока не будет построена система с нужными свойствами. На рис. 2 приведено схема общего подхода к постепенным приближениям. Получив задание на проектирование, подбирают прототип или создают котарийный, многоступенчатый прототип. Модифицируя его, получают первое решение, которое анализируют, проверяя соблюдение всех заданных ограничений. При необходимости корректируют элементы сооружения. Затем результат оптимизируется по основному критерию. Если искажения удовлетворяют, расчет заканчивается и оформляют итоговую документацию. В противоположном случае вводят корректины, которые дают прототип следующего поколения, и процесс повторяется. Такая последовательность работ может быть принята как для каждого-то отдельного расчета, так и для цепи циклов расчетов при определении элементов судна. Проход по кольцу дает один приближение (итерацию). Число приближений зависит от точности результата. На каждом кольце приближений повторяются многочисленные расчеты (нагрузок, ходности, остойчивости, имместности, вытекающей борта и пр.). Такую последовательность работ часто называют спиралью проектирования. Резкое увеличение вычислительных возможностей проектировщиков благодаря ЭВМ позволяет на базе системного подхода построить процесс проектирования в виде многоуровневой задачи с выбором наилучших решений как по судну в целом, так и по отдельным его частям.

В разработке проекта судна принимают участие большие числа проектирующих, организационно-контролирующих. Каждый из участников в первоначальном проектировании вносит свою коррекцию, свое временный учет который представляет большие трудности, несогласованность — серьезно отражается на качестве проекта. Относительные объемы проектных работ количеством к общему объему собственных работ проектанта судна в концах 70-х гг. составляло 10:1 [8]. Такое положение означает, что изменения всес

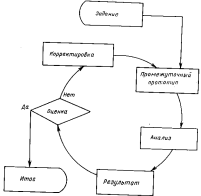


Рис. 6. Колесо спирала проектирования

контрагентами своей документации на 5% может привести к необходимости изменения документации проектанта на 50%. Это обстоятельство требует особого членной работы отделов ЦКБ с контрагентами-разработчиками оппонентного конкурирующего оборудования в части своевременного получения всех необходимых данных для корректировки проекта. Время внесения своевременного учета и замены всего необходимого для постройки судна. Для этого у проектанта должны существовать специализированный отдел закупок и комплектации изделий и материалов, который на основании сведений конструкторских генеральных бюро-проектанта составит базу возможностей завода, комплектации и снабжения, согласуя их с базовыми организациями. В этом же отдеle должны быть координатный центр, где собираются бы все необходимые информации о работе контрагентов. Все это складывается из чрезвычайной сложности процесса проектирования судна и о трудностях, которым возникают на пути автоматизации этого процесса.

1.5.1. Стадии традиционного проектирования судов

Конечная цель проектирования — создание документации, необходимой для постройки и эксплуатации судна. Знаменитый русский

кораблестроитель И. Г. Бубнов так характеризовал эту задачу: «Имея готовые чертежи и нагрузку судна, мы в большинстве случаев можем установить какими именно заданиями будут удовлетворять построенное по этим чертежам судно: многоцелевые и часто очень сложные рабочие, которые нужно проектировать для этого, и представляют предмет тщательного, строительной механики корабля, электротехники и разных других отдельок обширной науки кораблестроения». Происперенование становится обратным задачу — создать чертежи судна, удовлетворяющего определенным заданиям. Легко понять, сколько труда и сложна эта задача по сравнению с первой**. Это было сказано семидесят лет назад и тем более справедливо для современного судостроения. Ввиду сложности задачи проектирования судна, в котором не предполагается возможных учета сразу все обстоятельства, влияющие на размерения судна, его коэффициенты, формы и другие элементы, невозможно полное развитие проекта, постепенный переход от простого обобщенного представления о судне к более полному и детальному представлению. Процесс проектирования судна в связи с этим различается на взаимосвязанные стадии (в соответствии с ГОСТ 2-103-66):

- техническое задание (исследовательское проектирование);
- техническое предпроектное (планировочное, предпроектный проект);
- экспозиций проект;
- технический проект;
- рабочая документация.

Для того чтобы была понята сложность автоматизации проектирования судна, рассмотрим содержание каждой стадии подробнее.

1.5.2. Техническое задание

При составлении планов различных видов хозяйства страны возникают задачи (перевозка грузов и пассажиров, бурение скважин в морском дне, управление полетом спутников и т.д.), решение которых возможно средствами судостроения. Поэтому уже в процессе планирования приходится устанавливать некоторые характеристики новых судов и их количества, исходя из потребностей хозяйственного развития страны, состояния судостроительной техники и перспектив ее развития. Применительно к каждому новому типу проектирования задача начинается с разработки требований к нему, которая проводится заказчиком судна с привлечением научно-исследовательских организаций. Заказчик — это организация, которая после постройки судна принимает его, а затем эксплуатирует. В СССР основными заказчиками являются Министерство обороны, Министерство морского флота (ММФ), Министерство рыбного хозяйства (МРХ), Министерство речного флота (МРФ) и Президиум Академии наук СССР. Иногда в роли заказчика выступает более мелкая организация, например одно из пароходств ММФ или одно из главных управлений ВМФ. За главной заказчиком может быть любая фирма.

**Линик В. В. Проектирование судов. Л., 1974, с. 9.

Успех проектирования на данной стадии в значительной мере зависит от достоверности исходных данных, широты кругооборота и опыта коллектива, которому поручена работа.

Если речь идет о транспортном судне, то последует транспортировочная схема с целью определения плавания экономически обоснованных значимой грузоподъемности, надежности и безопасности или какого-то другого показателя, зависящего от назначения судна. Основой исследования служат данные о существующих и перспективных грузооборотах, о расстояниях уже построенных судов по эксплуатационным принципам и по видам выполняемых ими работ. В процессе исследования транспортировочной схемы обосновывается скорость судна, выявляются ограничения его размерений (например, по условиям прохода каналами или под мостами), требования к бытовым системам, погодным условиям и т. п. Результаты этой большой исследовательской работы, прокоммюницированы, фиксируются в техническом задании, которое содержит следующие сведения:

указание на типовое назначение судна в виде отнесения задачи к их категории, которые еще待 решить;

характеристику предполагаемых условий эксплуатации (район плавания, взаимодействие с другими объектами, обслуживание, срок службы);

грузоподъемность и массогабаритность;

шагность изысканий;

скорость;

автономность;

предполагаемый тип энергетической установки и род топлива; требования к оборудованию, при помощи которого будут решаться задачи, обусловленные назначением судна;

список ведомств, нормативные требования которых должны быть уделены первенство (например, по надежности, общности и т. п.);

эксплуатационные ограничения элементов судна (например, осадки, штормы);

предлагаемое число судов в серии;

желательная частотность эксплуатации;

уровень автоматизации производственных процессов;

пределы стоимости судов и его экономических показателей.

1.5.3. Техническое предложение

Утверждение техническое задание передается проектанту судна для разработки на его основании технического предложения, главная цель выполнения которого заключается в определении обуславливаемости практического замысла. Сопутствующими целями являются: определение технических характеристик судна;

проверка их соответствия современному уровню техники судостроения и условиям эксплуатации;

определение мероприятий, проведение которых необходимо при сооружении судна.

Для постановки первоочередных целей выполняют следующие работы: проверяют совместимость требований заказчика к судну;

проверяют практиканность назначения скорости (при малой скорости используется надомощный главный двигатель, и судно оказывается неспособным или против ветра и волнения: катером, первые советские лесовозы по этой причине не могли входить в Ленинград при сильном постоянном ветре; иногда конструкторы предлагают большие значения скорости по условиям использования судов в военное время);

устанавливают возможность комплектации судна основным оборудованием и выясняют необходимость разработки новых видов оборудования или закупки их за рубежом;

выявляют требующиеся научно-исследовательские, опытно-конструкторские и макетные работы, а также состав соответствующих проектов.

Не исключено, что результатом разработки технического предложения может оказаться вывод о нецелесообразности создания судна вообще либо о невозможности осуществления замысла по количественным соображениям, либо о необходимости дальнейших разработок в другом направлении. Все проработки выполняют в нескольких вариантах, различия которых могут определяться способом погрузки – разгрузки, типом энергетической установки, расположением основного оборудования и т. п. Глубина проработки должна быть такой, чтобы можно было сравнивать варианты, экологические, технологические, эстетические и другие показатели для обоснования выбора предпочтительного варианта.

О технических решениях, заложенных в проект, зависит уровень народнохозяйственных затрат на транспортировку грузов морем в течение десятков лет. Отсюда следует, что новые суда необходимо проектировать и строить с учетом достижений научно-технического прогресса в судостроении, машиностроении, металлургии, приборостроении и других отраслях промышленности. По основным техническим и экономическим показателям новые спроектированные суда должны превосходить суда, находящиеся в эксплуатации и постройке. Если в процессе проектирования этого добиться не удалось, то спроектированное судно не имеет смысла строить, ибо это очень быстро морально устареет и не оккупит затрат на свою постройку и эксплуатацию.

При проработке возможных вариантов судов учитывают производственно-технические требования, включение из которых таковы:

при постройке судов необходимо применять материалы, обеспечивающие минимальную массу корпусных конструкций при высокой трудоемкости их обработки;

в максимально возможном объеме следует использовать стандартные и нормативизированные детали, узлы, единицы, с тем чтобы значительно сократить стоимость и сроки постройки судов;

нужно обосновать возможность постройки судов с использованием средств производства, которые имеются на судостроительных заводах или могут быть созданы в ближайшем будущем.

Производственные возможности заводов могут ограничивать некоторые элементы судна. Например, плита и циркуляция ограничивают ширину и высоту судна; высота свободного стояния ограничивает спускной вес и, следовательно, водоизмещение судна. Габариты и водоизмещение судна ограничиваются и различными сухими и плавучими доками. Так, по второй мировой войне самый большой сухой док в Сингапуре имел длину 305 м. Значит, в то время medida было строить суперяхты, ибо их не могли быть ремонтировать.

Иногда после подобных проработок в задание вносят изменения и уточнения с согласия заказчика. Результаты этой работы фиксируют в комплексе технической документации, в который входят:

- расчет главных размерений судна;
- расчет мощности главных двигателей и электростанции;
- теоретический чертеж;
- схемы общего расположения;
- укрупненная раскладка масс (нагрузка судна);
- верхний основной общий обзор оборудования;
- комплексный эскиз;
- расчет стоимости судна и расходов по его эксплуатации;
- перечень необходимых опытно-конструкторских и научно-исследовательских работ;
- объективная записка с обоснованием рекомендуемых способов удовлетворения требований технического задания.

Объем технического предложения обеспечивает возможность выдачи заданий конструкторам и контрагентам сразу после его утверждения.

1.5.4. Эскизный проект

На основании технического предложения разрабатывается эскизный проект, в котором проектируются основные технические решения, определяющие облик судна как транспортного, промышленного или какого-либо иного средства. К числу таких решений относятся определение главных элементов, компоновка общего расположения, выбор конкретной энергетической установки и прочего оборудования, ее огражденного заземлением, средство автоматизации, материалов корпуса и запорных и т. д.

В эскизном проекте строят кривые элементов теоретического чертежа, исследуют остойчивость судна в нормальном и ненормальном состоянии, изготавливают модель судна для уточнения скорости путем испытания в бассейне, разрабатывают конструкцию корпуса, рассчитывают обую прочность прочность, обосновывают главные технологические решения.

В итоге эскизный проект должен подтвердить наличие материальных условий для создания судна и нормальную его эксплуатацию после постройки. На стадии эскизного проектирования в работе участвуют уже большие количественные соединения по отдельным подсистемам в основному компонентному оборудованию. На этой стадии решаются многие вопросы, которые не рассматривались в техническом предложении.

Вместе логично рассматривать эскизный проект как новый цикл проектирования или уточнения основных технических решений.

Иногда все перечисленные разработки ведутся в одиничности варианта. В этом случае собственительная оценка проработанных вариантов осуществляется не самой проектной организацией, а ведомством заказчика или специальным инженерным экспертом. Для принятого к дальнейшей проработке варианта устанавливается примерно следующее содержание эскизного проекта:

объяснительная записка, в которую входит техническое предложение, обоснование выбора типа судна и его механизмов, обоснование главных размерений, мозаика отступлений от технического предложения;

теоретический чертеж;

чертежи общего расположения (продольный разрез, планы наружу и платформы, зрен., двери, поперечные сечения, общие расположение машинных и котельных отделений);

конструктивный макет шлюпогуб;

принципиальные схемы судовых устройств и систем;

расчеты плавучести, остойчивости и навигационной способности;

расчет приближенными методами сопротивления воды и гребного винта;

расчет нагрузки (раскладка масс);

расчет общей прочности;

принципиальная схема электрооборудования;

принципиальная технология постройки судна;

спецификация судна по всем частям (корпусной, механизческой, специальному оборудованию и т. д.);

укрупненная калькуляция стоимости постройки судна.

Основная организационная проблема этапа эскизного проектирования состоит в организации системного подхода к проектированию, всех подсистем на базе согласованного и утвержденного технического задания через частные технические задания контрагентов, а также в координации работ по оптимизации отдельных подсистем судна внутри ЦКБ-проекта. Другой важной проблемой этого этапа является вовлечение в проекте принципа модульно-агрегатного метода (МАМ) проектирования и строительства судна [58].

По утвержденному варианту эскизного проекта принимают решение о постройке судна и разработке технического проекта. Одновременно утверждаются перечень основных элементов судна и перечень мероприятий, обеспечивающих разработку технического проекта. Окончательно уточняется завод-строитель, готовится решение имеющейся международной организации об участии контрагентов в работах по техническому проекту судна, а также о проведении опытно-конструкторских и научно-исследовательских работ. Установлены сроки проектирования, строительства и сдачи судна заказчику.

По окончании работ по эскизному проекту уже определена команда кадров оборудования, изготовление которого возможно в машиностроительных цехах завода-строителя судна (МСЧ – машиностроитель-

ная часть); составлен перечень оборудования, которое смогут поставить заводу смежные предприятия отрасли по межзаводской кооперации (МЗК); имеется перечень оборудования, которое необходимо будет изготавливать на предприятиях других отраслей (контрагентов).

1.5.5. Технический проект

Технический проект, являющийся последним этапом гидротехнических проектных работ, выполняется в одном варианте, соответствующем утвержденному варианту эскизного проекта. Одобренный вариант эскизного проекта фиксирует важнейшие элементы судна – конструктивный тип, главные размерения, принципиальную схему общего расположения и т. п., которые обеспечивают ему требуемые эксплуатационные и мореходные качества. Основное содержание технического проектирования – претворение принципиальных решений эскизного проекта в конструктивные схемы отдельных частей корпуса и механизмов при сохранении качества, предусмотренных эскизным проектом.

Технический проект содержит окончательные технические решения, дающие полное представление о судне, об объемах необходимой для его постройки котегории, и все исходные данные для создания рабочей документации. В связи с этим все конструктивные элементы в проекте указывают в объеме, обеспечивающем их плавное согласование; оборудование и насыщенные помещения размещают методом объемного масштабирования. Много внимания уделяют возможностям пропрочных расчетов. Разрабатывают принципиальную технологию и передают ее специализированным КБ, которые, таким образом, становятся контрагентами в проектировании судна. Появляются и своеобразные амбиции традиционных контрагентских работ, согласовывая задания и получая право на принятие технических решений на их выполнение – обязательных условий нормального проектирования судов. Это явно хотя бы из того, что стоимость контрагентского оборудования и работ засчитывает стоимость стоимости судна. На основании заданий судостворительных КБ специализированные КБ разрабатывают требуемое оборудование и технические условия на него, в которых указываются: характеристики, необходимые для разработки уставок чертежей, сведения о порядке испытаний и схеме оборудования, ресурс работы, ремонтопригодность и некоторые другие сведения. Как правило, утверждение технические условия проектант судна получает на основе отработки технического проекта. В результате технического проектирования выдаются комплекс документов, называемый техническим проектом судна. Он содержит подробные чертежи общего расположения; гидротехнической чертеж, откорректированный по результатам испытаний в бассейне; спецификации по всем частям судна; конструктивные чертежи мидель-шпангоута, надстроек, фундаментов, магнитов и др., а также общеделительную записку с обоснованием данных, положенных в основу разработки проекта, мотивированной отступлением от утвержденного эскизного проекта и кратким списком полученных результатов. Естественно, объем технического проекта значительно больше объема эскизного.

Технический проект согласовывают с Регистром ССР, ЦК профсоюза заказчика, Министерством гидроохранения и другими ведомствами, которые указаны в техническом задании. Затем он утверждается заказчиком. В проект вносят изменения по замечаниям первичных организаций и составляют договорную спецификацию, которая содержит описание судна в целом и отдельными его конструкциями, системами, устройствами. Спецификация – инициатива из всех официальных документов, привнесенная в договор на постройку судна. Составление договорной спецификации – чрезвычайно ответственное дело, требующее исключительно продуманной формулировки каждой фразы, чтобы не было неконостью, недомолвок, пропусков существенных для заказываемого судна требований. Спецификация не должна содержать требований, которые завод-строитель не в состоянии выполнить.

1.5.6. Рабочая документация

Рабочая документация – конечная часть процесса проектирования. Она позволяет организовать процесс обработки материалов, монтаж оборудования, сборку корпуса на стапеле, спуск судна, его испытания и саму заказчика. После утверждения технического проекта появляются отправные точки по всем частям судна. Теперь большое внимание уделяют узким координатам расположения отдельных конструкций и их деталей. Основной упор делают не на внедрение макета, а на выполнение проектных работ в намеченные сроки с минимальной трудоемкостью. Такой подход к рабочему проекту диктуется огромным количеством документов, находящихся в его составе.

Условия рабочую документацию по судну можно разделить на следующие части: рабочие чертежи, технологическую часть, технические условия, спецификации, слесарную и эксплуатационную документацию.

На рабочих чертежах, составляющих основную часть рабочего проекта, изображают детали судна, за исключением изделий, поставляемых контрагентами. По этим чертежам изготавливают все детали и узлы корпуса и производят их сборку, а затем устанавливают и контрагентские изделия. Цикл разработки рабочего проекта современного круизного судна составляет от 18 до 36 мес и в зависимости от водонепроницаемости и типа судна включает изготовление от 25 до 100 тысяч чертежей, приведенных в формате А1. Из-за длительного цикла разработки чертежей и быстрого морального старения спортивной техники строительство судна предстоит начинать со скомплексации разработки всех рабочих чертежей.

В этих условиях ЦКБ-проектантам необходимо спариваться с тремя большими задачами: обеспечить завод-строитель рабочими чертежами в соответствии с генеральным графиком создания судна; обеспечить высокое качество чертежей; организовать авторский надзор и техническую помощь на заводе-строителю.

В зависимости от принятой на заводе технологии постройки судна ЦКБ должно выпускать рабочие чертежи по районам или технологическим комплексам (блокам, модулям) в соответствии с почерканным графиком, согласованным с заводом-строителем, в основе которого

позволяет генерировать график постройки судна. При этом следует учитывать технологию построекиных работ завода, время, необходимое на подготовку производства; изготовление оснастки, посеток, кондукторов, а также возможность начала работ в машиностроительных цехах завода одновременно с началом обработки металла и изготовлением секций. При со-гласовании срока поставки работой документации заводу приравнивается во внимание, что на обработку чертежей в КБ и технологических службах завода уходит от трех до шести месяцев.

Качество проекта характеризуется не только уровнем проектных и конструктивских решений, но и качеством оформления. Если качество проектных решений оказывает влияние на эксплуатационно-экономические показатели судна, то от качества конструктурской документации прежде всего зависит организация труда на заводе. Опыт проектирования конструктурских работ показывает, что невозможно рассчитывать на сбалансированность документации по головному судну, так как в связи с совершенствованием проекта во время выпуска чертежей и быстрым стиранием чертежей необходимы коррекции уже законченной документации. Количество изменений в рабочей документации по различным предметам [58] примерно распределяется следующим образом: решения заказчика – 15%, изменения условий поставки – 15%, изменения ГОСТов и нормативной документации – 5%, повышение уровня унификации проектных решений – 3%, технологические улучшения – 5%, усовершенствование и доработка новых конструкций – 30%, усовершенствование по рабочим изображениям предложений – 3%, результаты макетирования и испытаний – 4%, во name завода – 10%.

В период строительства заказчик часто представляет заводу дополнительные, не предусмотренные договорной документацией требования, направленные на улучшение некоторых характеристик судна. Оперативные группы и руководители проекта тщательно рассматривают такие предложения и выносят решения о возможности и целесообразности их принятия. Все принятые изменения в документации после проектирования утверждаются главным конструктором. Одним из рабочих чертежей для постройки судна является чертеж. Необходимы санкции о мерах изменения и сборки деталей в узлы, о приемлемом при этом оборудовании, о последовательности выполнения криволинейного оборудования на судно и т. п. Эти санкции содержатся в технологической части проекта, элементами для которой создаются из завода-строителя.

На основании рабочих чертежей и производственной технологии постройки судна, выпущенных проектировщиком, отделы главного конструктора, главного технолога и главного сварщика на заводе-строителе разрабатывают документацию, необходимую для изготовления технологической оснастки, распределение работы между цехами завода и ее организацию в цехах с указанием трудозатраты всех работ в приемлемом при этом оборудовании. В технологических условиях, как уже упоминалось ранее, содержатся сведения об оборудовании и конструкциях судна, проектированных контрагентами (организациями, обслуживающими, реорганизующими работы, перечень запасных частей и т. д.).

Спецификация содержит описание судна в целом и отдельных его конструкций. Спецификации дают чёткое представление о назначении

и особенностях споруженного судна, что позволяет избежать ошибок на заводе-строителе и облегчает судну эксплуатацию.

Сводная документация обеспечивает возможность организации и проведения заводских и сдаточных испытаний, передачи экипажу судна всего подлежащего снабжения. В нее входят программы испытаний устройств и систем, инструкции по их обслуживанию, ведомости списков запасных частей.

Назначение эксплуатационной документации – обеспечение нормативной эксплуатации судна в соответствии с договорной спецификацией. Она комплектуется отцом главного конструктора завода и передается за судно. Туда входят необходимые для обучения экипажа инструкции по обслуживанию всех устройств, систем и приборов, установленных на судне, а также инструкции по постройке, по остойчивости, ведомости запасных частей со всеми изменениями, внесенными в них в процесс постройки и испытаний судна.

1.5.7. Организация проектирования

Суда – сооруженная весьма дорогая и сложная машина серийными. Невозможно спроектировать и построить опытный образец судна, как это делается во многих отраслях промышленности, с последующей оценкой и устранением обнаруженных недостатков. Поэтому постройкой судна начинается после выпуска рабочей документации. Это требует такой организации процесса проектирования, при которой исключается без возможность появления крупных ошибок.

Предположим, что организованная организация проектирования судов была сформулирована академиком В. Л. Поповским еще в 30-х гг.

Они сводятся к следующему:

обязательное проведение комплексного анализа тех экономических и технических условий, в которых проектируемое судно должно строиться и эксплуатироваться;

решение проектной задачи одновременно в нескольких вариантах; отбор лучших вариантов в различных стадиях проектирования на специальных советованиях с участием крупных специалистов судостроительной промышленности, заказчика и заинтересованных организаций;

записание главными конструкторами инженеров исключительно высокой квалификации, обладающих знаниями во всех областях судостроения.

Практически эти установки осуществляются следующим образом. Техническое задание, разработанное ведомством заказчика, является проектной организацией, которая специализируется на проектировании судов определенного типа и принимает заказы на их проектирование от всех организаций СССР.

В СССР проектированием судов занимаются центральные конструкторские бюро (ЦКБ), а центральные проекто-конструкторские бюро (ЦПКБ), в системе Министерства рыбного хозяйства СССР – госу-

дарственных проектных институты рыбопромыслового флота (ПетроРибфлот).

ЦКБ подразделяется на специализированные отделы, среди которых наиболее важные являются:

корабельный отдел;

отдел судовых устройств;

отдел механического оборудования;

отдел электрооборудования;

технологический отдел.

Внутри отделов также осуществляется специализация. Они разделяются на секторы, а секторы на группы, каждая из которых занимается разработкой определенных конструкций судна. В небольших КБ разделения на группы может не быть.

После приема заказа на разработку проекта ему присваивается номер и назначается главный конструктор. Именем главного конструктора — специалист, знания и опыт которого потенциально позволяют ему и объему заданного проекта проектировать судно самому, и организаторские способности которого позволяют организовать наиболее экономичную работу коллектива конструкторов для выполнения всех задач проекта в минимально возможный срок. Это далее было исконенер, способный выполнять приближенный расчет всех характеристики судна и замечать узловое-конструктивные решения всех возникающих частных вопросов, предоставляя сотрудникам возможность дать хорошие и однозначные частные решения.

В результате бурного технического прогресса нашего века и коллекции огромного объема знаний постоянно растет сопоставимые тенденции к более тщательной специализации технических профессий. Один инженер уже не может быть вполне компетентным во всех областях даже своей профессии. Это давно писал Т. Джексону, заявив, что в настоящее время существует весьма ограниченное число корабельных инженеров, достаточно компетентных, чтобы осуществлять руководство проектированием корабля в целом, и это число Неуклонно сокращается [16].

Естественно, что один главный конструктор не может выполнять весь объем работы по руководству проектом. Поэтому в помощь ему из наиболее опытных специалистов создается группа главного конструктора, работающая с ним по проработке технического задания по судну. В зависимости от сложности судна эта группа может состоять из пяти—семи человек или состоять из секторов или отделов главного конструктора. Группа главного конструктора осуществляет координацию работы отделов, проверку согласованности технических решений отделов между собой и с общей идеей, заложенной в судне.

Разработка проекта проводится под наблюдением представителей заказчика и Регистра СССР. Представители заказчика выставляют частные требования к отдельным конструкциям судна и согласовывают возникающие в ходе проектирования вопросы и взаимоуземки. Представители Регистра следят за тем, чтобы судно отвечало всем требованиям и правилам Регистра СССР. В ходе проектирования последовательное обсуждение со стороны Регистра может отступствовать, однако готовый проект обязательно представляется на рассмотрение и утверждение Регистра.

На каком законченном этапе проект подвергается согласованию и экспертизе, которые предшествуют его утверждению. Проектные материалы согласовываются кроме Регистра СССР с организациями, участвующими в техническом задании. Обычно экспертизу осуществляют научно-исследовательские институты (НИИИ им. акад. А. Н. Крылова и ЦНИИ морского флота). После экспертизы проекты рассматриваются заказчиком в присутствии представителей проектной организации, организации, проводившей экспертизу, и завода-строителя на научно-технических советах. Присутствие представителей переговоривших организаций необходимо для того, чтобы в случае разногласий прийти к сплоченному решению без ненужной переписки.

В случае серьезных разногласий проект возвращается в ЦКБ на доработку. После утверждения заказчиком технического проекта проектант с участием завода-строителя составляет договорную спецификацию по всему судну.

Затем проектная организация приступает к выполнению рабочей документации, которая согласовывается в рабочем порядке только с представителями завода-строителя и заказчика.

Проектирование судна — дорогостоящий и длительный процесс.

Примерные сроки, мес., проектирования судна среднего водоизмещения, мес.:

Эскизный проект	4
Экспертиза	3
Технический проект	6
Экспертиза	2
Рабочий проект	12
Всего	25

Таким образом, сроки проектирования судна сопоставимы со сроками их постройки. В значительной мере это связано с пороками сплошного подхода проектирования. Во-первых, выполнение проектов в ЦКБ, оторванных от верфи, ведет к усложнению согласований в доработках и порождает обширную излишнюю переписку между ними. Во-вторых, некоторые материалы разрабатываются три раза (и эскизном, техническим и рабочим проектах), тогда как можно было бы разработать их один раз в техническом или рабочем проектах в объеме, достаточном для согласования с Регистром. В-третьих, в рабочем проекте используется чрезмерно большое число чертежей (около 12 000, если привести их к формату А4). Средняя трудоемкость разработки одного чертежа 95 ч. В зарубежном судостроении существует аналогичное положение. По данным японских специалистов для постройки танкера лежатсят 200 000 ч требуется 21 300 чертежей, из них — 12 900 для судна и 8400 для оснастки [58].

Обеспечить изготовление такого количества технической документации в короткие сроки и с хорошим качеством возможно только при автоматизации проектирования. На современном этапе научно-технического прогресса основным направлением развития является коми-

лективная автоматизация проектировочно-конструкторских работ, охватывающая все основные этапы проектирования и технологической подготовки производства объектов новой техники.

1.5.8. Принцип работы в системе автоматизированного проектирования

CАПР является новым инструментом в руках конструктора, необычайно расширяющим его возможности претворять в жизнь технические решения. Новое техническое средство в свою очередь создает условия для новой технологии проектирования. Теперь исчезла возможность для конструктора возвращаться к разработке проекта судна традиционно применявшихся в наставлениях всеми принципами системного проектирования. В самом деле, уже более полувека инженеры рассматривают судно как скелетную систему и при проектировании решают его на подсистемы. Такому разделению соответствует и структура ЦКБ МСП и технологии согласования технических решений по подсистемам судна за всех этапов проектирования. В качестве регулятора процесса проектирования выступает отец главного конструктора, он же облегчает проектирование подсистем таким образом, чтобы уровень эффективности судна в целом был во возможностях наименее. Правда, без САПР главный конструктор не в состоянии проконтролировать полную оптимизацию проекта из-за необычайно большой трудоемкости самой задачи. Традиционно критике срываются судно (проект архитектурного поколения или хорошо зарекомендовавшее себя в эксплуатации прототип чужого проектирования), а для согласования характеристик подсистем используется „механизм лимитов“. Его сущность состоит в том, что в результате решения задачи высшего уровня (выбор элементов судна главным конструктором) формируются для каждой подсистемы ограничения (лиmitы). Они могут выражаться в максимально допустимых габаритах машинного отделения, минимально допустимой длине грузовых люков, строго ограниченном расположении центра тяжести судна, а также в различных условиях нагрузки, максимальном допустимом масле устройства и т. д.

Таким образом, некая j -я характеристика k -й подсистемы может быть только не больше (меньше) заданной величины: $g_{jk} \geq g_j$ или $g_{jk} \leq g_j$.

Уset таких ограничений и позволяет в определенной мере обеспечить увязку верхнего и нижнего уровней проектирования. Так, при выполнении крайних условий (раменства) для подсистем ране приведенные главным конструктором решения для всего судна не изменятся. Такие лимиты лимиты, однако, содержит интуитивную проектацию, поскольку не обязательно влечет к оптимальному варианту. В реальном проектировании в результате обмена информацией между главным конструктором и специализированными подсистемами ограничения („лиmitы“) синхронно последовательно корректируются ограничения по подсистемам для эффективности всего судна, можно перекрасить лимиты между подсистемами. При этом исчезают элементы субъективизма (разные главные конструкторы не привут одинакового решения в исходных

ситуациях). И в этом состоит основная ценность практического „системного“ подхода к проектированию судна.

Полная реализация принципов системного подхода к проектированию, требующих подчинения проектирования всем подсистемам и технологическим средствам единому требованию оптимизации судна в целом, возможна только при одновременной оптимизации элементов самого судна и его подсистем в рамках единой задачи.

Механизм такого согласования (см. § 2.6) в виде взаимных ограничений, или маркерных производных, введен в теорию проектирования В. М. Пашниным в 70-х гг. [34]. Применение на ЭВМ задачи оптимального проектирования судна позволяет найти эти производные и ввести их в расчет подсистем в качестве заданных величин.

Единство информационной БД по разрабатываемому проекту в зависимости программных модулей и данных позволяет разрабатывать различные части проекта в разных контекстах, в разное время. Центральная информация использует схемы и исходные данные при обмене информацией между подсистемами, а использование маркерных производных позволяет оптимизировать всю систему – судно.

1.5.9. Системный подход к проектированию

С позиций системного подхода задача проектирования какого-либо оборудования (объекта) в общем виде может быть сформулирована так: определить некоторое множество элементов X , выбрать из него подмножество $\bar{X} \subset X$, разместить \bar{X} в определенном порядке, соединить с помощью L следующим образом, чтобы в целом они выполняли некоторое множество функций F , обеспечивающие достижение по системой S заданной общей цели z . При этом полученная система должна удовлетворять комплексу ограничений Q и быть оптимальной (преподавательской) относительно некоторого критерия M с учетом принятых правил представления P . Таким образом, судно может быть представлено как сложная система в виде $S = f(z, F, x, L, Q, M, P)$.

Общий подход к решению такой задачи базируется на декомпозиции системы с последующим анализом частных решений и их координацией. И здесь возникают три самостоятельные проблемы: формирование подзадач (выделение подсистем); выбора принципа координации подзадач и разработка координирующей функции; организации процедуры координации.

Относительно первой проблемы можно вполне определенно высказаться в пользу многоуровневого формирования процесса проектирования. Объем на начальной стадии проектирования объем информации весьма ограничен, затем по мере решения задачи на верхнем уровне этот объем начинает расти и позволяет узкофокусированному исследованию на более низком уровне проектирования и т. д. На рис. 7 показаны две наиболее приемлемые схемы декомпозиции системы. По первой схеме на каждом уровне проектирования система разделяется на подсистемы по-новому с учетом выявленных взаимосвязей на предыдущем уровне исследований. Эта схема предоставляет проектанту возможность достаточно

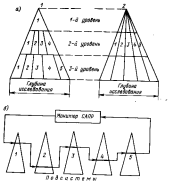


Рис. 7. Два варианта декомпозиции системы: а – спроектированные индивидуальны (I) и акции (II) по уровням; б – анализ подсистем при данной структуре уровней

Быстро разработать и отладить опытные подсистемы, однако для обеспечения достаточной глубины исследования каждой из них требуется значительное усложнение программного обеспечения и изменения набора технических средств САПР. Большой недостаток схемы I состоит в том, что унификация подсистем при движении через уровни (по вертикали) затруднена.

Схема 2 лишена указанной недостатка, хотя характеризуется усложнением структуры объекта в целом. Зато при сохранении единой структуры на всех уровнях возможна проработка подсистем одновременно с разной глубиной исследования (рис. 7, б).

Говоря о декомпозиции задачи оптимального проектирования судов, нужно иметь в виду, что она в большой степени уже предопределена структурой судна и практикой проектирования. Сейчас принято [35] деление на внешнюю и внутреннюю задачи проектирования (см. табл. 1).

Внутренняя задача проектирования, охватывающая стадии от технологического предложения до технологической подготовки производства, содержит такие составляющие разработки проекта, которые формируют судно как единую систему и в то же время как элемент системы более высокого порядка (их можно объединить понятием системное проекти-

рование), и такие, которые детализируют проектные решения по состоянию построенной документации (их можно объединить понятием конструкторское проектирование). Эти две категории составляющих резко отличаются по содержанию. Системное проектирование формирует облик будущего судна, определяет его эффективность и составляет творческую часть процесса проектирования. Конструкторские – наиболее трудоемкая и повторяющаяся часть процесса проектирования, требующая высокой степени автоматизации графических работ.

В системном проектировании различают верхний и нижний уровни (или верхний и нижний уровни внутренней задачи проектирования). На верхнем уровне определяются элементы судна в предположении о фиксированных свойствами подсистем. На нижнем – определяются элементы подсистем и проводится их оптимизация с одновременным соединением качества судна как единого целого.

По окончании системного проектирования переходят к конструкторскому проектированию, где возвращаются в рабочие чертежи и технологические процессы решения, найденные в период системного проектирования.

Вторая проблема декомпозиции – выбор принципа координации задач на разных уровнях проектирования – может быть решена, если отыскать критерий, обобщающий триум свойств:

непротиворечивости, т. е. оптимизация характеристик высшего уровня не в ущерб «интересам» глобального критерия;

согласованности, т. е. способности расширять общность поиска оптимального решения для судна в целом;

автономности, т. е. возможность оптимизации характеристик подсистем независимо от других подсистем.

Такими свойствами обладают упомянутые выше маркетинговые оценки. Наконец, третья проблема – организация процедуры координации решений, решаемых применением известного в технике принципа итераций. Каждая итерация (приближение) заключается в решении задачи верхнего уровня, определении управляемых параметров для задач нижних уровней, решении этих задач, проверке «балансированности» проекта, т. е. выполнении требований к качеству судна, и принятии решения о дальнейшей корректировке элементов судна и его подсистем (см. рис. 1).

Возможны и другие пути декомпозиции задачи оптимального проектирования, но практическая ценность отхода от сплошной структуры исчисления, к тому же еще недостаточно сформированного САПР, опиравшейся на линейную последовательность решения задачи проектирования. В настоящее время делаются попытки разработать ППР для проектирования определенного класса судов, например ППР „Дизайнерский док“ [15] или ППР „Корабль на подводных крыльях“, о котором упоминалось в § 1.3.

На этапе системного проектирования определяется облик будущего судна и принимаются все проектно-технические решения по нему. В этот период для проектиста вспомогательную роль играют плавкость и долговечность данных, используемых в качестве предпосылок расчетов. В сокращении

сроков системного проектирования, поэтому главную роль играет автоматизированный банк данных. Полнота и достоверность запасенной в нем информации в большой мере влияют на качество проектирования.

Системное проектирование судна можно представить в виде такой последовательности:

- создание банка данных для проектирования судна;
- разработка судна на подсистемы;
- формирование математической модели судна и моделей подсистем;
- оптимизация элементов подсистем и элементов судна;
- машинное документирование результатов проектирования в объеме, необходимом для экспертизы проекта;

Экспертиза, согласование проекта с заинтересованными организациями и утверждение заказчиком.

Позиции 1, 4, 5 осуществляются в САПР; 2, 3, 6 – проектантами в реальном масштабе времени. После внесения изменений в проект по замечаниям заказчика переходит ко второму этапу проектирования судна – конструкторскому проектированию, в основу которого кладутся результаты, заданные в банке данных (и НМД) после проектирования на системном уровне и откорректированные по последним замечаниям.

Основной объем работ конструкторского проектирования должен выполняться САПР.

МАТЕМАТИЧЕСКОЕ ОБЕСПЕЧЕНИЕ СИСТЕМ АВТОМАТИЗИРОВАННОГО ПРОЕКТИРОВАНИЯ

При решении инженерных задач приходится иметь дело в основном с двумя разновидностями расчетов – проверками и проектными. Проверочные расчеты узко специализированы и основываются на одной из кораблестроительных дисциплин (прочность, теория корабля и т. д.); задача проверочного расчета имеет однозначное решение. Проектные расчеты всегда многоэтапны, для их выполнения требуется привлечение группы специальных дисциплин.

Покажем это простым примером. Пусть требуется определить велические размеры прямоугольного соснового бруса длиной l , нагруженного поперечным пролета сосредоточенной силой F . Высота сечения в три раза больше ширины. Балка свободно опирается по концам, один из которых подвижен в продольном направлении. Это простая задача проверочного типа. Здесь все известно: действующая нагрузка, марка материала и, следовательно, допускаемые напряжения при изгибе σ_0 , длина балки, условия на опорах. Искомой (главной неизвестной) в задаче является ширина балки b . Из формулы изогibного напряжения, которое принимается равным σ_0 , получим единственное решение:

$$b = \sqrt{\frac{Pl}{6\sigma_0}}.$$

Если в эту задачу внести требование необходиимой прочности при минимальной массе, то задача приобретает проектный характер и усложняется: вначале определяется отношение b к h , обеспечивающее наибольший момент сопротивления бруса (из курса сопротивления материалов), а затем решается предыдущая задача. Наконец, если требуется спроектировать балку, способную в пролете l выдерживать сосредоточенную нагрузку F , то задача превращается в чисто проектную. Обычно при этом выдвигаются еще требования минимизации стоимости конструкции. Нежелательно в задаче становиться больше (например это высота и ширина сечения; марка материала конструкции – дерево, сталь, алюминий, титан, пластик, бетон; вид конструкции – брус, шир, труба, коробчатая конструкция, струнная конструкция в нескольких модификациях, подвесная конструкция), и можно получить не менее 36 различных решений, каждое из которых нужно довести до расчета стоимости изготовления. Ясно, что эта задача выходит за рамки этого главы.

Описанную проектную задачу, можно завершить тремя способами. Во-первых, решить всего один из вариантов, убедиться, что балка

выделяют нагрузку и предлагать это решение заказчику в качестве окончательного. Это будет, так называемое, допустимое решение. При этом всегда следует, насколько это лучше (в смысле стоимости) других возможных вариантов. Во вторых, можно решить два (или больше) вариантов и выбрать тот, который лучше. Теперь заказчику можно предложить улучшенное решение. В-третьих, можно перебрать все возможные варианты и предложить наиболее лучший. Такой вариант будет наилучшим – оптимальным.

В размотренном примере отчетливо выступают важнейшие компоненты оптимального проектирования – главные неизвестные (размеры сечения, материала и т.д. конструкции), ограничения (масса конструкции), и критерий оптимизации (минимальная стоимость). При оптимизации характеризуется большой объем работ; с увеличением числа главных неизвестных, или, как говорят, размерности задачи, объем работы становится неожиданным для ручного счета. Поэтому оптимальное проектирование организовано связью с оптимизацией. Во всех областях техники теперь применяется термин автоматизированное проектирование. Впервые оно было реализовано в нашей стране в широком масштабе в 1957 г. при проектировании серии электрических двигателей.

Оптимизированное решение в автоматизированной системе проектирования возможно только при наличии математической модели объекта, которая представляет собой систему математических выражений, описывающих свойства объекта во взаимосвязи с его основными элементами и характеристиками.

§ 2.1. Классификация величин, используемых в математическом моделировании

Все величины, участвующие в задаче проектирования судна, можно разделить на четыре типа: неизвестные, заданные, нормативы и параметры.

Неизвестные – величины, которые разыскиваются в процессе решения задачи. Пример, если изъясняются друг от друга неизвестные (длина, ширина, высота борта, осадка, три из пяти коэффициентов полноты судна). Их называют главными неизвестными или проектными переменными⁴. Возможны и другие комбинации главных неизвестных; далее мы будем, например, в качестве типовых рассматривать длину, удлинение корпуса, отношение ширин к осадке, отношение высоты борта к осадке, коэффициенты продольной полноты, полноты водонепроницаемости, построение главной затяжки. И есть неизвестные, несомые вспомогательно, зависящие от главных неизвестных и вычисляемые через них (такие как водоизмещение, мощность главного двигателя и т. д.). Такие неизвестные называют В. Л. Поздняковым «обобщенными» неизвестными. Количество

⁴ Во многих источниках используются термины «проектные параметры» [36, 56], который здесь не применяется во избежание смешивания с параметрами проектной задачи.

главных неизвестных определяет размерность задачи⁵. Соответственно разделяют задачи одномерной оптимизации (при одном главном неизвестном) и многомерной оптимизации (двух-, трех-, четырех...). Разумеется, в зависимости от постановки задачи в качестве главных неизвестных могут выступать те или иные элементы и характеристики судна.

Заданные – величины, указанные в задаче в явном или неявном виде (например, грузоподъемность и дальность погрузки/выгрузки груза, а следовательно, и грузоемкость судна). В зависимости от типа задачи проектирования – внутренней или внешней (см. табл. 1) – одна и те же величины могут оказаться либо главными неизвестными, либо заданными. Во внешней задаче проектирования, например, грузоподъемность и скопость находятся среди неизвестных, а во внутренней – среди заданных величин.

Нормативами являются величины, касающиеся обусловленности заданием каких-либо характеристик судна или многочисленными правилами и конвенциями на постройку и эксплуатацию судна. Например, эксплуатационный период судна определяется нормативами в зависимости от типа судна и его цели деятельности, указания ледового класса судна в задаче на проектирование автоматически обуславливают определенный процент увеличения массы металлического корпуса проекта, указание мощности энергетической установки и ее типа определяет удельные расходы топлива и измерительные массы энергоустановки и т. д. Требования правил и конвенций выражаются через определенные нормы (допускаемые напряжения в силах корпуса, размеры сажей в тиковых перекрытиях, нормы плющущей помензации, нормы инготопливности, остойчивости и многое другое). Изменение норм равносильно изменению постоянных коэффициентов при неизвестных в системе уравнений, оно обязательно приводит к изменениям результатов задачи.

Параметрами в точном математическом смысле являются часть переменных в уравнении со множеством неизвестных, которые временно принимают постоянные значения. Параметрический анализ широко распространен в технике. В теории проектирования, в частности, на его основе построено большинство расчетов сопротивления воды (графики Бланка, Тейлора, Штумфа и др.), анализ зависимостей коэффициентов сопротивления от коэффициентов формы корпуса, т.е., как правило, параметром является число Фруда и т. д. В проектной задаче параметрами могут служить различные величины: тип энергоустановки, сорт топлива, положение машинного отделения по длине судна, грузоподъемность, скорость и т. д. Исто по аналогии с нормативами, что изменение параметров вызывает изменение результата решения.

Наконец, в задачах оптимального проектирования обязательно наличие еще одной величины – критерия оптимальности.

Проектирование любого сооружения относится к проблеме, характерной для всей практической деятельности – использованию имеющихся ресурсов для достижения по возможности большей выгоды

⁵ Книги [34] под размерностью понимают приведение числа переменных за число ограничений задачи.

(по И. Я. Чебышеву). Именно достижение наилучшего результата при заранее определенных ресурсах, а не „дакающего результата при минимальных ресурсах”, как иногда трактуются задачи получения наилучшего результата.

Задачи проектирования относятся к общирному классу задач из „принципа решений“. В самом деле, каждый раз проектируя что-то, мы должны решать, как разпорядиться имеющимися средствами для получения наилучшего результата.

Применим любое проектное решение, мы пропускаем определенную цель. Степень достижения поставленной цели отождествляется с максимизацией (минимизацией) некоторой функции, заданной на множестве исходов всех решений и охватывающей лейтмотивные значения. Эта функция называется целевой функцией. Значения такой функции на каждом исходе служат критериями сравнения, или критериями оптимальности. Примером целевой функции, часто встречающейся в инженерной практике, являются стоимость, вес, прочность, габариты, КПД. Выбор критерия оптимальности зависит от характера поставленной цели. Основной закон деятельности человека – достижение желаемого результата при наименьших затратах ресурсов. В подавляющем большинстве случаев эти затраты можно представить в математическом выражении, т. е. работать с экономическим критерием; а в экономическом критерием роль играет соотношение между полезным эффектом и затратами на его получение [5, 30, 46]. Это соотношение называется эффективностью и служит целевой функцией при проектировании.

Например, целью проектирования транспортного судна для собственных нужд страны является выполнение определенного объема перевозок народнохозяйственных грузов. Тогда естественно стремиться к минимуму затрат на выполнение этих перевозок. В тех случаях, когда объем перевозок не регламентирован, целесообразно стремиться минимизировать затраты на перевозку 1 т груза. В любом случае необходима оценка экономической эффективности судна, и мы к ней вернемся в § 2.4.

5.2.2. Математическая модель судна

Обычный во всех технических науках путь определения неизвестных величин – составление и решение уравнений, связывающих эти величины с известными. Связь между величинами может иметь физическую природу (объективные физические законы и закономерности, подобные закону Архимеда или балансу масс сооружения) или логическую основу (например, ограничения, основанные на соображениях эксплуатационного, экономического или эстетического характера). Соответственно, части указанных взаимосвязей могут быть выражены уравнениями, другие – неравенствами. Если в неравенствах учитывать только граничные условия (отbrasывать тем самым многие решения, которые удовлетворяли бы неравенству), можно получить систему уравнений

$$F_1(x_1, \dots, x_p, z_1, \dots, z_q, b_1, \dots, b_k, c_1, \dots, c_l) = 0, \quad (2.1)$$

где i – порядковый номер уравнения; x – главные неизвестные (независимые) переменные; z – параметризующие переменные, проектные переменные; b – заданные величины; c – нормативы; s – параметры.

Рассматривая некоторую производственную систему, описываемую ее уравнениями с инициативными, можно выделить три типа задач. Если $|z| > 0$, задачу называют алгебраической. Она имеет одно решение (для системы линейных уравнений решение всегда однозначно, для нелинейных легко выделить единственное решение, рассматривая с формалькой и технической точки зрения значение квадрата корня). Если $|z| > 0$, то задача не определена и, как правило, не имеет решения. Часто ее можно привести к алгебраической, отбросив часть уравнений, отражающих наименее существенные черты объекта или взаимосвязи его свойств с главными переменными. Наконец, при $|z| < 0$ задача всегда не определена и имеет бесконечное множество решений.

В практике проектирования чаще всего приходится иметь дело с задачами последнего типа. В таком случае часть главных неизвестных переводят в параметры (приводя им определенные значения) и получают соответствующее число групп решений. И здесь уже возникает вопрос о выборе лучшего решения. Такой выбор может быть сделан при наличии критерия сравнения.

Более общая задача при создании системы первоначальных решений – алгебраическая методами математического программирования. Если система (2.1) обладает свойствами и характеристиками судна с его элементами, то она служит математической моделью данного судна (ММС). Тогда она должна содержать зависимости для выполнения технических и экономических расчетов, т. е. цели расчетов, которые можно составить из отдельных блоков: технического, экономического, блока исходных данных. Пример структурной схемы математической модели приведен на рис. 8 (ММС является фрагментом математической модели проектирования). Для определенного набора независимых временных ММС дает возможность вычислять значения ограничений и целевой функции, которые затем используются в блоке оптимизации. В техническом блоке ММС применяются приближения для данного типа судна времени и методы практической кораблестроительных дисциплин (теории корабля, конструкции корпуса, строительной механики корабля и т. д.) и зависимости теории проектирования судов. В первиче ограничения формулируют требования и правила, существующие для данного типа судна, и любые другие ограничения, интересующие заказчика.

Математические модели судов по аналогии с используемыми в них алгоритмами расчетов [24] можно классифицировать по детальным и укрупненным, а также характеризовать полнотой и универсальностью.

Детальные математические модели содержат сложность подобных расчетов и графических работ, значительно число приближений, необходимое для определения отдельных элементов и характеристик проектируемого судна. Укрупненные модели включают только укрупненные расчетно-графические блоки и небольшое число приближений для оценки свойств судна. Детальные и укрупненные модели соответственно измеряют милли и микромоделями. Моделирующие за количественном уровне с

Входные данные

для математической модели (коэффициенты, нормативы, параметры)
координаты Омоправленных вершин из Δ) для К исходных точек оптимизации

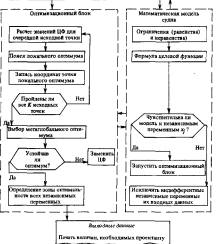


Рис. 8. Структурная схема математической модели проектирования сооружения использующими микромодели называется адекватным моделированием, а с применением микромоделей – детальным моделированием.

Полное моделирование характеризуется глубиной и всесторонностью рассмотрения и учета совокупности требований, предъявляемых к проктируемому судну. Модели, в которых отсутствует или совокупность расчетов и построений, связанных с определением основных элементов, – полные, а те, в которых отсутствуют проработки отдельных вопросов проектирования, – сокращенные.

Наконец, укрупненность моделей характеризуется логикой выбора последовательности и точности отдельных расчетов и построений. Известно, например, что точность одиночных расчетов (нагрузки, ходости, статики и др.) должна зависеть от номера приближения, так как с каждым последующим приближением расчет точность исходных предположек. Последовательность проходящих расчетов должна минимизировать их трудоемкость при сохранении точности.

Конструирование математическую модель, предполагает основную методологическую цель проектирования – уменьшение числа итераций. Любой шаг обмыкается тем, что какие-то частные результаты или задачи оказываются не удачными, а они влияют на конечный результат.

Принцип укрупненности моделей лежит в каждой из приведенных с требованием автоматизированного проектирования о единстве математической модели на всех этапах проектирования. Однако наличие автоматизированного банка данных и макрорежимов построения математических моделей позволяют сократить требования упорядоченности и единства моделей за счет введения дополнительных элементов модели на каждом последующем этапе.

Для анализа и обобщения результатов удобно иметь в модели безразмерные соотношения. С этой точки зрения расчетам ограничений в безразмерном виде отдается предпочтение при работе с адекватными моделями. С другой стороны, использование в модели абсолютных значений главных элементов несет информацию в виде, более приемлемом для заказчика, но зато требует значительной детализации модели. Например, проверка именствости в безразмерном виде не требует разработки теоретического чертежа, а для размерного она обязательна. Примеры формирования ограничений для типовых моделей судов приведены в монографии [35]. Ниже рассмотрена одна из укрупненных адекватных моделей судна.

5.2.3. Оценка вместимости, непотопляемости, остойчивости и плавучести в математической модели судна

К судну предъявляется много требований. Все они могут быть объединены в две группы: 1) ограничения, непосредственно накладываемые на главные элементы по условиям эксплуатации, постройки и другим соображениям. (Например, по условиям постройки за верфи ширину судна не должна превышать 30 м; для прохода в каналы осадка не должна выходить за 11,5 м и т.д.) Это так называемые граничные ограничения; 2) требования, предъявляемые к качеству судна. Они в конечном счете сводятся к ограничению главных элементов не непосредственно, а через соотношения, связывающие свойства судна с его главными элементами и называемые функциональными ограничениями.

Основные свойства, которые учитываются при проектировании судна, таковы: грузоподъемность, общая вместимость по объемам и площадям, начальная остойчивость, остойчивость на больших углах крена, аварийная

*Качество – степень обладания определенным свойством.

остойчивость, грузоподъемность, баланс масс судна, мореходность (плавность ходки, отсутствие заливаемости и склонности), ходкость, непотопляемость, экономичность, прочность и т. д.

На первом уровне внутренней задачи проектирования считают, что часть указанных свойств автоматически обеспечивается за счет последующей оптимизации в задаче нового уровня (например, обеспечение прочности, остойчивости не больших углов крена и т. д.). Тогда требования к этим свойствам не включаются в задачу второго уровня.

В укрупненной модели, используемой для первичной оценки свойств проектируемого судна, бывает достаточно четырех ограничений: вместимости, непотопляемости, начальной остойчивости и баланса масс.

2.3.1. Вместимость судна

Объем грузовых помещений не может быть меньше объема чистого груза с учетом необходимых зазоров. Переход к теоретическому объему * основного корпуса W_n и учитывая степень его utilization под грузовые помещения η_w , увеличение подпалубной вместимости $k_{n,p}$ за счет комингсов люков и, наоборот, ее уменьшение $k_{n,p}$ из-за потери на набор, внутренние конструкции в грузовых помещениях и гидроизолирующие засоры, можно записать:

$$W_n \geq \frac{P_f k_r}{k_w k_{n,p} \eta_w}, \quad (2.2)$$

где P_f – масса чистого груза (грузоподъемность); μ_r – удельная погрузовая кубатура груза; k_r – полз груза, уменьшающего под верхней палубой судна. Очевидно соотношение

$$\frac{W_n}{D} = \frac{\delta_r}{5k_{n,p}\vartheta} \frac{H}{T}, \quad (2.3)$$

где W_n – объем основного корпуса по верхнюю палубу; D – водоизмещение судна в грузу; H , T – высота борта и осадка; δ_r – коэффициенты общей полноты основного корпуса и полноты водонепроницаемости между перегородками; ϑ – плотность морской воды $\rho = 1,025 \text{ т}/\text{м}^3$; $k_{n,p}$ – коэффициент подпалубных выступающих частей (в том числе и перегородок).

Имея в виду, что $D = P_f/\mu_r$, а коэффициент полноты основного корпуса выражается через коэффициент раз渲а борта k_g ** и коэффициент полноты ГВПК:

$$\delta_r = 5T/H + \alpha k_g (1 - T/H), \quad (2.4)$$

из (3.3) получаем

* Определяется по теоретическому штурвалу.

** См. формулу (2.9).

$$(H/T)_{\text{ВМС}} \geq 1 + \delta \alpha k_g \left(1,035 \frac{\mu_r \eta_w}{\vartheta} - \frac{k_r}{k_w k_{n,p}} - 1 \right), \quad (2.5)$$

где $k_{n,p} = 1,035$ в предположении, что водоизмещение выступающих частей составляет около 1% водоизмещения судна.

Для определения величин в правой части формулы (2.5) используется аппроксимация данных по построенным судам:

коэффициент утилизации водоизмещения

$$\eta_w = \eta_0 + 0,07 \ln \left(\frac{P_f}{1000} + 0,24 \right) + \Delta \eta, \quad (2.6)$$

$$\eta_0 = \begin{cases} 0,36 & \text{для макетных судов („по-по“);} \\ 0,36 & \text{“ универсальных сухогрузных судов;} \\ 0,44 & \text{“ нефтенапалочников;} \\ 0,46 & \text{“ нефтрудовозов;} \end{cases}$$

$$\Delta \eta = \sigma_{\eta T} \left[1 - \left(\frac{r}{r_0} \right)^3 + \sigma_r \left[1 - \frac{L}{L_0} \left(\frac{r}{r_0} \right)^2 \right] \right],$$

здесь для энергоустановки r в зависимости от r , в водоизмещении судна определяется по средним значениям табл. 6 [1];

$$L_0 = 12000 \text{ миль};$$

$$\sigma_r = \begin{cases} 16 \text{ уд} & \text{для танкеров и макетчиков;} \\ 18 \text{ “} & \text{– сухогрузных судов;} \\ 22 \text{ “} & \text{– макетных судов и контейнеровозов;} \end{cases}$$

коэффициент утилизации теоретического объема основного корпуса

$$\eta_w = \frac{\vartheta}{\sqrt{\delta (0,4 + P_f / 6,15 \mu_r - 0,25)}}, \quad (2.7)$$

т.е.

$$\vartheta = \begin{cases} 0,26 & \text{для макетных судов;} \\ 0,27 & \text{“ контейнеровозов;} \\ 0,30 & \text{“ универсальных сухогрузных судов;} \\ 0,35 & \text{“ танкеров и макетчиков;} \end{cases}$$

доля подпалубного груза k_g задается в зависимости от архитектурного типа проектируемого судна;

коэффициента увеличения вместимости трюмов за счет комингсов люков

$$k_g = 1 + \frac{0,5666}{\frac{P_f}{1000} + 2,43}; \quad (2.8)$$

использование теоретического объема грузовых помещений выражается коэффициентом

$$k_n = \begin{cases} 0,92 & \text{танкеры без люлькеров и переборок;} \\ 0,88 & \text{“ с люлькерами и переборками;} \\ 0,96 & \text{сухогрузные суда с макетным грузом и чистыми палубами;} \end{cases}$$

Таблица 6. Характерный состав нагрузок (справочники вед) для некоторых

Назначение судна	Разделы из				
	Корабль	ЗУ	Судовые системы	Электрооборудование	Вспомогательная машина и электрическая
Пассажирское (пассажирское)	48,3	0,8	2,5	2,4	0,01
Судоходное общего назначения (грузовой)	22,5-24,5	3,8-7,0	0,3-1,7	0,6-3,0	0,01
Ледокол	26,5-28,0	2,5-3,8	0,3-0,9	1,3-1,5	0,01
Корабль-ледокол	30,1	4,3	1,3	1,2	0,01
Навалочное (200 первых из 1000 машинных групп)	17,8-26,1	1,9-4,1	0,5-0,7	0,3	0,01
Нефтяное	13,6-23,0	0,9-4,0	0,7-2,0	0,1-0,6	0,01
Промысловое (автоматизированное)	44,0-59,0	4,7-11,1	1,8-2,5	1,2-2,1	0,01
Рыболовецкое	48,3	4,7	4,3	3,8	0,01
Радиомортиральное	38,8	5,3	5,0	1,7	0,01
Буксир	46,0-63,0	10,9-24,7	1,6-3,8	1,1-5,3	0,01
Насыщие ("до-рат")	40-42	3,5-5,0	1-2	1,5-2,0	0,01

развал бортов в наиводной части судна характеризуется отношением площади средней квадратичной ватерлинии к площади ГВЛ и обозначается A_0 . Используя формулу В.В. Алика для приближенной оценки относительной высоты борта $H/T = 1,07 \mu_r \pi_0 + 0,16$ и выражение В. Л. Поздеева для параболической прямой по затиранию $S_1 = S_{TBL} \left(\frac{T_1}{T_{ГВЛ}} \right)^{0,5} - 1$,

можно получить [12]

$$A_0 = 0,5 \left[1 + (1,07 \mu_r \pi_0 + 0,16)^{0,5} / \sqrt{S_1} - 1 \right], \quad (2.9)$$

коэффициент податливости изогибаемых определяется логистической зависимостью от осевосоставленной скорости

$$\delta = 1 - \frac{0,50}{1 + 100 \exp \{-22 Fr\}}, \quad (2.10)$$

где $Fr = 0,164 \pi_r / \sqrt{L}$; в свою очередь π_r – экспоненциальная скорость; L – длина между параллелограммами. (Если δ включается в список взаимосвязанных переменных, формулы (2.10) не используются. Длина судна L почти всегда является независимой переменной, но ее величина из условий удовлетворительной плавности на волну (отсутствие спонсинга и застывания) должна обеспечивать соотношением

нормированных тупиковых волн

группы, % от D	Коэффициент использования водонепроницаемости			
	по чистой группе	по зонам	по чистой группе	по зонам
3,3	2,1	0,5	10	0,23
0,2-1,0 0,7-0,9	0,3-1,8 0,9-1,4	0,1-3,1 0,3-0,9	2,6-13,0 0,6-0,8	0,45-0,61 0,57-0,68
0,8	0,5	0,6	6,4	0,55
0,2-0,3 0,4-0,7	0,4-1,2 0,3-1,0	0,1-0,9 0,4-1,2	7,0-10,0 4,0-9,0	0,68-0,69 0,66-0,84
0,6-1,1	1,7-2,9	5,0-10,0	6,0-16,0	0,15-0,29
0,6	1,4	-	28,3	0,01
1,3 0,9-2,2	1,0 1,6-4,0	4,2 2,1-6,7	13,9 9,0-26,3	0,29 0,00
0,5	0,3-1,0	1-1,2	12-18	0,33-0,37

$$L \geq \left(5 + 2 \sqrt[3]{\frac{P_c}{\pi_r}} \right) \sqrt{F_r}, \quad (2.11)$$

полученному по данным Л. М. Ногида и Д. Лысенко для мореходных кораблей. Если это ограничение не используется, то необходимо в математическую модель внести расчет стояния и зависимости с использованием соответствующих спиральных зависимостей.)

коэффициент пополнения грунтовой ватерлинии определяется формулой Ладдена

$$\alpha = \begin{cases} \alpha \left[1 - \frac{0,41}{1 + 100 \exp \{-25 Fr\}} \right]^{2/3} & \text{при } 0 < Fr \leq 0,35; \\ \alpha (0,529 + 0,192 Fr)^{2/3} & 0,35 \leq Fr \leq 0,50; \\ 0,723 & 0,50 \leq Fr \leq 1,0 \end{cases} \quad (2.12)$$

где

$$\alpha = \begin{cases} 1,06 & \text{при V-образных шпангоутах;} \\ 1,04 & " UV-образных (промежуточных) шпангоутах; \\ 1,01 & " U-образных шпангоутах. \end{cases}$$

В алгоритме оптимизации для каждого набора независимых переменных правая часть отношения (2.5) вычитается и сравнивается с основанием H/T . Если H/T не включено в список независимых переменных, то правая часть (2.5) используется в расчетах для исключения H или T .

2.3.2. Условие непотопляемости

Рассмотрим условие непотопляемости судна с наибольшим отоеком в средней части длины судна, симметричным относительно центральной плоскости. Отsek такого типа может встретиться у пакетного судна, сухогрузного судна с большими длинномерами трюком, у малого сухогрузного судна со специальными на борту грузовыми устройствами.

Регистр СССР регламентирует запас плавучести через величину наивысшего борта. Если ориентироваться на суда с коэффициентом полезной водонесущести около 0,68, который применяется в Правилах в качестве стандартного, то вернувшись к условию [1, 3], что для гладкоподводного сухогрузного судна нормируемый запас плавучести колеблется при разработке от 27 до 37% (рис. 9). Используя эти цифры, можно определить относительную высоту борта H/T для проектируемого судна, удовлетворяющего требованиям Регистра по запасу плавучести.

С помощью графика из рис. 9 определяют относительный запас плавучести χ , а затем надводный нетривиальный объем судна $V_n = \chi B T L$. С другой стороны этот же объем через высоту наивысшего борта и площадь средней затопленности в надводной части можно выразить как $V_n = k_{\mu} \mu L B (H - T)$, откуда для гладкоподводного судна имеем

$$\frac{H}{T} = 1 + \frac{\chi B}{k_{\mu} \mu} \quad (2.13)$$

Проект с таким отношением высоты борта к осадке будет удовлетворять Правилам Регистра СССР о грузовой марке.

Для расстановки переборок необходимо знать длину допустимого отоека при известных H/T , коэффициентах полноты судна δ , ϵ и β и коэффициенте проницаемости отоек μ_{ν} .

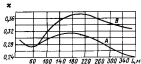


Рис. 9. Относительный запас плавучести гладкоподводных судов из Регистра СССР, имеющих минимальный наивысший борт в стандартную седловатость.
A – пакетные, B – сухогрузные суда

Обозначим длину затопления L_3 . Тогда, заменив затопленный отоек полнопроточным (рис. 10) с поперечным сечением, равным радиусированной площади минимального $k_{\mu} \mu L B T$, найдем объем затопления в виде $V_3 = L_3 \mu_{\nu} \chi \times B T D k_{\mu}$.

Полная этого объема компенсируется изодиаграммой в воде

надводными объемами за пределами затапливаемого отоек. Разложим их эффективным запасом плавучести V_2 . Формула для него может быть получена через выражение для действующей площади средней надводной затопленности $S_d = k_{\mu} S_{\text{тад}}$ для S_x , где x – длина за указанной затопленностью над затапливаемым отоеком. Борт в районе отоек можно считать вертикальным, а поверхность плоскость затопленности с аппроксимацией прямугольником, имеющим рекуперированные ширину Bk_{μ} : $S_d = k_{\mu} \delta B = k_{\mu} l_{\mu} B$. Тогда эффективный запас плавучести $V_2 = LB(k_{\mu} l_{\mu} B - k_{\mu} l_{\mu} B)$, где l_{μ} – относительная длина (в полах L) затопленных. Запас V_2 не должен быть менее объема затопления V_3 , т.е. $V_2 B T D k_{\mu} \chi \leq BT(k_{\mu} l_{\mu} B) (H/T - 1)$. Отсюда получаем относительную высоту борта, обеспечивающую непотопляемость при заданном запасе плавучести притяжимостью \bar{l}_{μ} :

$$\left(\frac{H}{T} \right)_{\text{ИП}} = 1 + \frac{\beta k_{\mu} \mu_{\nu} r}{\alpha k_{\mu}} \quad (2.14)$$

Коэффициенты k_{μ} и k_{ν} близки к 1 и могут определяться по формуле $k_2 = 2 - \exp[0,3(\bar{l}_{\mu})^2(1 - r^2)^{1/2}]$, где $r = \varphi$ – при вычислении k_{μ} и $r = a$ при вычислении k_{ν} . Коэффициент проницаемости затапливаемого отоек

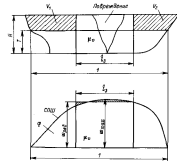


Рис. 10. К определению эффективного запаса плавучести.

СИМ – створы за шпангоутами; β – коэффициент кривизны полубы; $V_2 = V_3$ – эффективный запас плавучести

определенется Правилами Регистра в зависимости от типа помещения. Для грузовых отсеков сухогрузных судов склоняют $\mu_p = 0,6$. Коэффициент поправки мидель-шпангоута для всех типов судов определяется по формуле

$$\beta = 1 - 3,5 \left(1 - \frac{\delta}{a}\right)^{2,8}. \quad (2.15)$$

С помощью формул (3.10) и (3.12) можно получить выражение для допустимой относительной длины затопления палубного судна с заданным запасом плавучести и известными параметрами формы a и α :

$$l_{\text{доп}} = \frac{\alpha k_g (B/T - 1)}{\beta k_{\omega} \mu_p + k_n (B/T - 1)}. \quad (2.16)$$

Наконец, если B/T приведено к условиям вместимости, то длина препятственного отсека составляет

$$l_{\text{зап}} = \frac{\alpha k_g (B/T - 1)}{\beta k_{\omega} \mu_p + k_n (B/T - 1)}. \quad (2.17)$$

В частности, формула (2.17) показывает, что при больших значениях B/T , характерных для морских судов, установка креплениями водонепроницаемых ворот в поперечной переборке может обеспечить некоторую плавучесть судна.

Условия (2.5) и (2.14) вводятся в программу расчета главных элементов судна в качестве функциональных ограничений.

2.3.3. Ограничения по начальной остойчивости

Начальная метацентрическая высота не должна быть очень малой, чтобы при затоплении широкого отсека в средней части судна не у落到нуть или еще хуже — не превратиться в отрицательную величину. С другой стороны, чрезмерно большая метацентрическая высота делает,

как это следует из известной капитанской формулы Хорнгарда $\tau = \frac{B}{\sqrt{h}} = c_T$,

известно, что при переходе бортовой качки. Поэтому в алгоритме оптимизации метацентрическую высоту, выраженную через главные элементы судна, следует ограничить сверху: $k_{\text{зп}} \leq h \leq k_g$. Ограничение метацентрической высоты удобно использовать в неканоническом виде, перенеся его на отношение ширины к осадке B/T . Для этого записывают выражение метацентрической высоты, используя эмпирические формулы для метацентрического радиуса r и аппликата центра величины z_c . Известное выражение для метацентрической высоты $h = r + z_c - z_g$ после замены стоящими приближенными выражениями [1] даёт

$$h = \frac{k_g a^2 B^2}{125 T} + \frac{1}{2} \left(\frac{a}{b}\right)^{1/2} T - k_g H, \quad (2.18)$$

где k_g — коэффициент, учитывающий некоторое увеличение момента инерции площади затопления из-за отступления от симметричной формы. По данным В. В. Аникова можно получать

$$k_g = \begin{cases} 0,74 + 0,06e^{-0,55d^2} & \text{для компактных материалов;} \\ 0,60 + 1,20e^{-0,80d^2} & \text{"х-образных материалов;} \end{cases}$$

k_g — относительный (выраженный в долях высоты борта) аппликат центра тяжести судна в пакете грузу, подсчитывается в зависимости от радиуса. Для различных по назначению судов величина k_g определяется по одной из следующих формул:

$$k_g = \begin{cases} 0,65 + 0,14e^{-0,1d}; \\ 0,62 + 0,14e^{-0,2d}; \\ 0,57 + 0,21e^{-0,4d}; \\ 0,54 + 0,21e^{-0,6d}; \\ 0,52 + 0,10e^{-0,9d}; \\ 0,49 + 0,10e^{-0,03d}, \end{cases} \quad (2.19)$$

где d — дельта, выраженный в тысячах тонн и определенный приближенно как 1,5 грузоподъемности судна. Модификация формулы (2.19) соответствует пригодкам: для сухогрузных судов нового типа с разъемными грузовыми устройствами, контейнерами, кранами грузовых палок, значительной высотой надводного борта; для сухогрузных судов старого типа; для сухогрузных судов нового типа при перевозке зерна; для сухогрузных судов старого типа при перевозке зерна; для танкеров с пакетами изолированного балласта; для танкеров старого типа.

Более достоверные сведения об аппликатах центра тяжести могут быть получены путем извлечения самой расположенной массы из исходного прототипа и определения относительного возмещения его центра тяжести, однако при этом усложняется формирование информационной базы: потребуется запись и чтение графического изображения.

Поделив обе части выражения (2.18) на ширину судна, получим выражение для дальнейших расчетов уравнение относительной ширины проекта, так называемое уравнение остойчивости:

$$\frac{h}{B} = \frac{k_g a^2}{125} \frac{B}{T} + \frac{1}{2} \left(\frac{a}{b}\right)^{1/2} \frac{T}{B} - k_g \frac{H}{T} = k_g \frac{H}{T} - \frac{T}{B}.$$

Приведя это к обыкновенному виду, имеем

$$\frac{k_g a^2}{125} \left(\frac{B}{T}\right)^2 - \frac{h}{B} \frac{B}{T} + \frac{1}{2} \left(\frac{a}{b}\right)^{1/2} \frac{T}{B} - k_g \frac{H}{T} = 0 \quad (2.20)$$

или

$$a \left(\frac{B}{T}\right)^2 - b \frac{B}{T} + c = 0.$$

Положительный корень уравнения

$$\frac{B}{T} = \frac{b + \sqrt{b^2 - 4ac}}{2a},$$

и окончательно уравнение (2.20) дает

$$\left(\frac{B}{T}\right)_r = \frac{\frac{h}{B} + \sqrt{\left(\frac{h}{B}\right)^2 + \frac{k_0 s^2}{35} \left(\frac{h}{s} - \frac{H}{T} - \frac{1}{2} \left(\frac{a}{b}\right)^{0.75}\right)}}{\frac{k_0 s^2}{35}}, \quad (2.21)$$

Формула (2.21) показывает, что чувствительность уравнения (2.20) к H/B значительно выше, чем к любому другому параметру. На рис. 11 приведены результаты численного анализа пластичности относительной шириной по B/T и I_{sh} . Видно, что последняя в несколько раз выше. Ошибка в оценке метацентрической высоты на 10% приводит к изменению B/T всего на 2%, тогда как такая же ошибка в I_{sh} вызывает разносящее изменение относительной ширины. Это значит, что при решении уравнения (2.20) значение B/B можно принимать достаточно приближенно, пользуясь практическими данными для определения типов судов, в частности с точки зрения плавучести качки приносят $B/B = 0.95$ для сухогрузных судов, 0,91 для пароходов и 0,98 для танкеров. Практическое представление о величине метацентрической высоты можно получить по прототипу, подобному проектируемому судну, но архитектурному типу и размещением переменных грузов. Минимально приемлемым с точки зрения аварийной остойчивости считается $B/B = 0.935$ [1, 32]. Таким образом, ограничения по остойчивости переходят в ограничения по B/T :

$$\frac{0.935 + \sqrt{0.0012 - 4s}}{2s} < \left(\frac{B}{T}\right)_r < \frac{0.950 + \sqrt{0.0025 - 4s}}{2s} \quad (2.22)$$

Видно, что это двустороннее неравенство удлиняет B/T в очень узком диапазоне — это крайние значения отличаются всего лишь на 5 процентов. Это позволяет заменить формулу (2.22) уравнением, приведя верхнее значение для B/T .

Может оказаться, что получаемое по формуле (2.22) значение B/T не удовлетворяет условию начальной остойчивости при заполнении балластом симметричного отсека в средней части судна, поскольку в этом случае при большом отношении ширины к осадке происходит заметное уменьшение попечерного метацентрического радиуса.

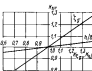


Рис. 11. Чувствительность B/T к приложению I_{sh} к B/B

$$\left(\frac{B}{T}\right)_{\max} \leq \frac{65A}{k_0^2 I_{\text{sh}} B} + \sqrt{36 \left(\frac{hS}{B k_0^2 I_{\text{sh}}}\right)^2 + 6 \frac{k_0 \beta \sigma_p}{k_0^2} (1 - \hat{B}_p)^2} \times \frac{1}{\left(1 + \frac{\hat{I}_{\text{sh}} \beta k_0 \mu_p}{\alpha k_0 - \hat{I}_{\text{sh}} k_0}\right)}, \quad (2.23)$$

где $\beta = \rho + 0,02$ — коэффициент поправки сечения затопленного отсека;

$$\hat{B}_p = \frac{A_{\text{зат. отс}}}{T} = 0,16$$

и μ_p — Путову для сухогрузных судов. В каждом конкретном случае может быть уточнено по прототипу; μ_p — коэффициент проницаемости отсека, принимается не более 0,66 для всех типов судов.

Из двух величин B/T , найденных по формулам (2.22), (2.23), в дальнейших расчетах используется меньшая. Если $(B/T)_{\max}$ оказалось менее паспортного значения $(B/T)_p$, то во избежание чрезмерной пакости судно следует уточнить значение I_{sh} неповрежденного судна и довести B/B до 0,935 прямым балластом в двойной яме. Относительная ширина ЦТ неповрежденного судна, имеющего $(B/T)_{\max}$, составляет

$$B_F = \frac{k_0 p^2}{125} \left(\frac{B}{T}\right)_{\max}^2 \frac{T}{H} - \frac{B}{B} 0,935 \left(\frac{B}{T}\right)_{\max} \frac{T}{H} + 0,5 \sqrt{\frac{s}{\delta}} \times \frac{T}{H}. \quad (2.24)$$

Количество потребного балласта $P_0 = D_0 (I_{\text{sh}} + I_{\text{sh}}^*) / (I_{\text{sh}} + k_0/2)$.

Найденное значение B/T обеспечивает достаточно плавную качку проектируемому судну и наряду с этим сохраняет начальную остойчивость при заполнении наибольшего отсека в средней части.

2.3.4. Баланс масс судна

Поскольку большая часть составляющих нагрузки судна зависит от его полной массы, сумма всех составляющих разбирается в уравнении

$$D = P_{\text{inv}} + \sum P_i (D, r), \quad (2.24)$$

где D — полная масса судна (водозиммическая); P_{inv} — независимые от D массы, прямо или косвенно известные из исходных данных; $P(D, r)$ — массы, зависящие от водозиммации, проектных параметров и заданных величин (измерители, показатели ходкости, удельные расходы топлива, скорость, дальность плавания).

Если раскладку масс производить в соответствии с табл. 7, то можно записать $\sum P_i (D, r) = P_{\text{м.к.}} + P_{\text{в.о.}} + P_{\text{з.у.}} + P_{\text{с.к.}} + P_{\text{ш.}}$, где каждая из

составляющих находится через измеритель и соответствующий ей по физическому смыслу модуль. Рассмотрим составляющие массы судна подробнее.

Масса металлического корпуса с достаточной точностью определяется формулой $F_{m,n} = q_{m,n} L B H_0 (1 \pm 0,03)$, где $q_{m,n}$ — масса металла в одном кубическом метре объема основного корпуса, или измеритель массы металлического корпуса; L , B , H_0 — теоретические размеры основного корпуса и его коэффициент общей полноты на длине между перпендикулярами.

Таблица 7. Рекомендации к начальной стадии проектирования

	На ОСТ 6.0186-76	$F_{m,n}$	F_{ob}	F_{3Y}	F_t	F_{ch}	$F_{z,b}$	F_r
01	Каркас:							
	0101 металлический корпус	*						
	0102 подкрепления и фундаменты	*						
	0103 листовые виды	*						
	0104 металлическая часть	*						
	0105 окончания, переходы	*						
	0106 шланги и пневмовиды	*						
	0107 воздух в корабельной обработке	*						
	0108 оборудование замкнутой части	*						
02	Устройства судовых систем:							
	0201 Системы	*						
	0202 ЭВМ	*		*				
	0203 Электрооборудование	*						
	0204 Воздухообмен	*						
04	Запасные части:							
	0401 устройства	*						
	0402 скопия	*						
	0403 энергоустановки	*		*				
	0404 энергосистемы	*						
	0405 вооружения	*						
10	Балласт							
11	Запас водонепроницаемых ящиков грузов							
	1101 в корпусе	*						
	1102 в механизмах устройств	*						
	1103 в скопиях	*						
	1104 в энергоустановках	*		*				
	1105 в энергосистемах	*						
	1106 в вооружении	*		*				
13	Сифонный, избыточный							
14	Запасы, расходные грузы и материалы							
	1401 грузы перевозимые							
	1402 запас топлива, воды							
	1403 временные живые грузы							
	1404 линейный балласт	*		*				*
15								
16								
17								
18								

Измеритель $q_{m,n}$, как и все удельные показатели, подчиняется масштабному эффекту проектирования, т. е. улучшается с ростом абсолютных размеров сооружения. По данным для отечественных судов последних лет постройки можно получить следующее выражение объемной массы металлического корпуса:

$$q_{m,n} = q_2 \left(0,7 + 0,026 \frac{L}{H} \right) \left(1 + \frac{27,5}{0,0018 L B H + 20} \right) A_1 A_2 A_3 A_4, \quad (2.25)$$

где

$$q_2 = \begin{cases} 100 \text{ кг/м}^3 & \text{— для накопленных судов, навалочных;} \\ 80 & " " \text{ сухогрузных, танкеров;} \\ 70 & " " \text{ газовозов;} \\ 90 & " " \text{ коксовых.} \end{cases}$$

Второй сомножитель формулы (2.25) учитывает изменение относительных размеров судна к высоте борта, связанные с общей прочностью судна.

Третий сомножитель — коэффициент масштабного эффекта, даёт увеличение измерителя при переходе от бесконечно большого судна к судну конечных размеров. Коэффициент полноты основного корпуса A_1 определяется формулой (2.3).

Коэффициенты A_i учитывают особенности архитектурно-конструктивного типа:

$$A_1 = \begin{cases} 1 & \text{— для судов с минимальным надводным бортом;} \\ 0,96 & " \text{ альтернативных судов;} \end{cases}$$

$$A_2 = \begin{cases} 1 & \text{— однодалубных судов;} \\ 1,06 & " \text{ двухдалубных;} \\ 1,12 & " \text{ трехдалубных;} \end{cases}$$

$$A_3 = \begin{cases} 1 & \text{при отсутствии надстроек (плоскоподлубные суда);} \\ 1,02 & " \text{ относительной длины надстроек } l_n/L = 0,3; \\ 1,03 & " \text{ относительной длины надстроек } l_n/L = 0,4; \end{cases}$$

$$A_4 = \begin{cases} 1,02 \pm 1,08 \text{ для Л4, Л3, Л2;} \\ 1,12 \pm 1,10 \text{ для УЛ и П1;} \\ 1,20 & " \text{ УЛА.} \end{cases}$$

Окончательная масса металлического корпуса с фундаментами, подкреплениями и металлическими частями надстроек составит:

$$F_{m,n} = q_2 A_1 A_2 A_3 A_4 \left(0,7 + 0,026 \frac{L}{H} \right) \left(1 + \frac{27,5}{M + 20} \right) M, \quad (2.26)$$

где $M = \frac{S_v L B H}{1000}$ — обобщенный кубический модуль судна. В тех случаях, когда размерения судна еще не известны, но имеются относительные высота борта и коэффициент общей полноты, обобщенный кубический модуль

определяется выражением

$$M = \frac{P_f}{1,035q_f} \cdot \frac{\delta_n}{\delta} \cdot \frac{H}{T}.$$

Масса оборудования, как это видно из табл. 7, объединяет очень разнородные статьи нагрузки. С погрешностью около 15% эту массу можно оценить по формуле

$$P_{ob} = q_{ob} \left(\frac{0,97}{\delta} \frac{H}{T} \right)^{1/3} D_0^{2/3}, \quad (2.27)$$

где $D_0 = \frac{P_f}{q_0}$ определяется с помощью формулы

$$q_{ob} = [q_{ob} - 0,69 (LBH)^{0,083}] (LBH)^{1/3}, \quad (2.28)$$

где в свою очередь, q_{ob} равно 3,52 у сухогрузных судов и лихтеровозов, 3,20 у пакетных и галеровых, 2,91 у танкеров, 2,65 у нефтерудовозов, каботажников, 2,14 у контейнеровозов

$$LBH = \frac{D_0}{1,0358} \cdot \frac{H}{T} \text{ или } \frac{W_n}{\delta_n}.$$

Первыйомножитель формулы (2.28) учитывает снижение массы оборудования за единицу условной площади $(LBH)^{1/3}$ по мере роста абсолютных размеров судов.

Масса энергетической установки судна зависит от типа ЗУ и мощности главного двигателя $\varphi_{ZU} N$, где измеритель массы подчинен масштабному эффекту по мощности. Для оценки массы ЗУ достаточно ориентировочного значения мощности, определяемого по одной из приближенных формул [1, 58], например адмиралтейской с множителем Саундерса

$$N = \frac{k_{sa} D^{2/3} V_x^3}{50,1f},$$

где множитель k_{sa} является функцией относительной скорости и учитывает изменение параметров жидкости с ростом скорости. Множители Саундерса выражаются по формуле

$$k_{sa} = 0,45 + \frac{1,7}{1 + \exp(7,8 - 22,5Fr)}.$$

Здесь число Фруда известно из формулы (2.10), водоизмещение определяется через коэффициент уплотнения.

Для оценки мощности можно воспользоваться значением электровозможности (рис. 12). Через оцененную мощность подсчитывают измеритель массы ЗУ, т/кВт.

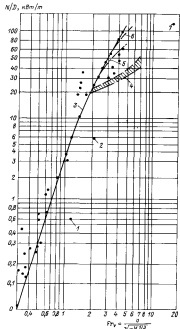


Рис. 12. Зависимость энерговозможности различных видов транспорта от относительной скорости.

1 — волны; 2 — грузовой; 3 — всесовместоходящий судно; 4 — генеральное судно с каютами на палубе; 5 — судно с подъемными кранами; 6 — генеральный судно; 7 — самолет ИЛ-18; N — измеритель массы электровозможности; B — плавка массы транспортного средства; Vg = 0,98; B — условный объем снаряда

$$\varphi_{3y} = \begin{cases} 1,2 & N=0,210 \text{ для малооборотных дизелей (МОД);} \\ 1,0 & \text{" средноборотных дизелей (СОД);} \\ 1,96 & \text{" паротурбинных установок (ПТУ);} \\ 1,16 & \text{" газотурбинных установок (ГТУ).} \end{cases}$$

Окончательно масса энергетической установки составит

$$P_{3y} = \varphi_{3y} (N) N, \text{ т.} \quad (2.29)$$

Запас топлива

$$P_3 = k_{m,3} k_{c,3} \varphi_{3y} N \frac{L}{v_3}, \quad (2.30)$$

где $k_{m,3}$ — коэффициент морского запаса, принимаемый 1,10—1,12; $k_{c,3}$ — коэффициент, учитывающий расходы на все судовые нужды на ходу и на стоянках, в среднем равен 1,25; φ_{3y} — удельный расход главного двигателя, зависящий от типа и мощности. Для приведенной $k_{m,3} k_{c,3} \varphi_{3y}$ среднее значение соответствует величинам, т/(кВт·ч):

$$\varphi_3 = \begin{cases} 238 \cdot 10^{-6} & \text{для МОД;} \\ 258 \cdot 10^{-6} & \text{" СОД;} \\ 10^{-4} \cdot 3,18 \exp(-0,302N^2) & \text{" ПТУ с регенератором;} \\ 1,61N - 0,748 & \text{" ПТУ адиабатического типа;} \\ 10^{-6} \cdot 33,2 \exp(-12N \cdot 10^{-6}) & \text{" ПТУ с промперегревом;} \\ 10^{-6} \cdot 379 \exp(-2 \cdot 6N \cdot 10^{-6}) & \text{" ПТУ с отбором насыщенного пара.} \end{cases}$$

Масса снабжения и запаса водоизмещения составляет по 1% водоизмещению.

Подставив полученные выражения составляющих нагрузок в уравнение (2.24) и приведя его к обыкновенному алгебраическому виду, имеем

$$B \left[0,96 - q_0 \left(0,7 + 0,0026 \frac{L}{H} \right) \left(1 + \frac{27,5}{0,00097 \frac{s_a}{\delta} \frac{P_r}{n_r} \frac{H}{T} + 20} A \right) \times \right. \\ \left. \times A_1 A_2 A_4 0,00097 \frac{s_a}{\delta} \frac{H}{T} \right] = \left[\left(q_{ob} - 0,69 \left(\frac{0,956 H}{5 T} \right)^{0,083} \times \right. \right. \\ \left. \left. \times \left(\frac{P_r}{n_r} \right)^{0,083} \right) \left(\frac{0,956}{\delta} \frac{H}{T} \right)^{2/3} + \frac{k_{1,0} r_s^2}{50,11} (q_r L + q_{3y} r_s) \right] \times \\ \times B^{2/3} - P_r = 0. \quad (2.31)$$

Обозначив через $\pi_{1,0}$ коэффициент при B и $\pi_{1,0}$ — при $B^{2/3}$, можно записать выражение для определения B последовательными приближениями по способу Ньютона с постоянной касательной [16]

$$B_{i+1} = B_i - \frac{\pi_{1,0} B_i - \pi_{1,0} B^{2/3} - P_r}{\pi_{1,0}}. \quad (2.31)$$

Приближение ведутся до получения разницы между B_{i+1} и B_i не более $0,005 B_i$. При известных L , δ и B зафиксированных отношениях H/T и B/T определяются абсолютные значения B , H , T :

$$B = \sqrt{\frac{D}{k_{m,3} p \delta L}} \frac{B}{T}; \quad T = B \frac{H}{B}; \quad H = T \frac{H}{T}.$$

Рассмотренная укрупненная модель используется для оптимизации главных элементов судна при неограниченном числе заданных величин и параметров, она может служить и для определения элементов одного из допустимых вариантов судна при автономном (рулем) сите. Система ограничений образуется выражениями (2.5), (2.4), (2.21), (2.23); (2.31), которые алгоритмизируются и вводятся в подпрограмму FUN (см. § 96—98, 141). Цепочка функций служит приведенным затратам, имеющимся в экономическом блоке МИС и минимизируемую программой «Ницца» (см. § 3.3 и прил. 1). Вместе с информационным блоком технической, экономической, блоком ограничений и блоком оптимизации образуют математическую модель проектирования судна (МИС), укрупненная структурная схема которой приведена на рис. 8. В математической модели судна и оптимизационном блоке содержатся операции проверки чувствительности и устойчивости, о заложенности которых говорится в последующих главах (см. § 4.2). Подобная структурная схема используется в оптимальном проектировании любого сооружения при подстановке в математическую модель выражений, описывающих его свойства. Поэтому литературу МИС можно расшифровать как «математическая модель проектирования сооружения».

Рассмотренная укрупненная эмпирическая модель обеспечивает оптимизацию главных элементов судна при выполнении требований вместимости, испытываемости, остойчивости (в том числе и аварийной), баланса масс.

В детальных моделях проектирования судна в число оптимизируемых переменных встают все элементы судна, обеспечивающие надежную оценку основных свойств судна. Для этого используют прямые (по теоретическому чертежу) методы расчета вместимости, остойчивости, плавки судна в разных условиях нагрузки, расположения водонепроницаемых переборок, размещения балластных щитов с целью минимизации изгибающих моментов и т. д. Такая детализация значительно усложняет математическую модель, но повышает достоверность расчетов, поскольку учитывает интуитивные особенности каждого варианта. При использовании прямых методов приходится выполнять значительную полиграфических преобразовок (теоретический чертеж, размещение основного оборудования и механизмов, схема конструкции корпуса и др.). Необходимым элементом такой работы является диалоговый режим проектирования — ЭВМ, вход и вывод графической информации. Практика решения задач по детальными моделям показывает, что их трудоемкость, включая подготовку

алгоритмов, составляет от 15 до 20 тыс. чил.ч. В пособии ограниченного объема нет возможности рассмотреть полную модель. Пояснение большинства детальных моделей и в какой степени не ущемляет творческую индивидуальность проектанта. Постоянное появление новых решений, совершенство корабельных сооружений требует умения создавать самые разнообразные математические модели: и содержащие необходимые и достаточное уравнения, ограничивающие построение исходных данных, – адекватные модели, и громоздкие детальные модели, основанные на прямых методах расчетов.

5.2.4. Оценка экономической эффективности в математической модели судна

Рост доходов к расходам во время эксплуатации судна удобно рассматривать в геометрической интерпретации (рис. 13). Заменив ступенчатые кривые дохода J и прибыли P плавными кривыми, получим примерную картину динамики их интегральных значений. Указанная зависимость неизменна, поскольку за время существования судно подвергнуто физическому и моральному износу. Физический износ обусловлен коррозией, изменением со временем физических свойств материалов, последствиями эксплуатационных нагрузок (вibration, остаточные деформации и пр.). Этот износ постепенно ограничивает возможность выполнения судном своих функций. Моральный износ связан с появлением более совершенных судов, ведущим к снижению потребительской стоимости старых судов.

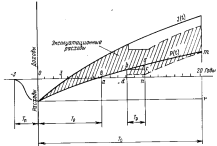


Рис. 13. Динамика доходов судна.

$J(t)$, $P(t)$ – кривые доходов и прибыли в функциях времени; t_1 , t_2 , t_3 , t_4 – времена проектирования, освоенности, службы, ремонта

Из-за износа функция распределения дохода (или интеграл интенсивности, характеризующий изменение дохода в единицу времени) имеет экспоненциальный характер $J = \delta(1 - e^{-\beta t})$, где α и β – параметры процесса. Функция распределения может быть выражена в более удобной показательной функцией $J = \gamma k^t$, которую мы используем ниже.

На рис. 14 показано влияние планово-предупредительных ремонтов на поддержание работоспособности судна (кривая 2). Эффект интенсивности дохода имеет разрывы, обусловленные выводом судна из эксплуатации на время ремонта (t_1 , t_2 – текущие ремонты, сказанные обычно с доказыванием судна; t_{cr} – капитальный ремонт). После каждого ремонта судно восстанавливает свою работоспособность, но не до первоначального уровня. За время ремонта судно не получает дохода, который могло бы иметь, поэтому кривая интенсивности к концу периода каждого ремонта уходит под ось абсцисс: недополучение дохода при оценке эффективности судна целесообразно приравнять к убыткам. При упрощенном анализе экономической эффективности судна единицы кривой интенсивности дохода (см. рис. 14) определяют экспонентой β , а соответствующий суммарный доход выражается интегральной кривой 4. Отнимая от ordinat кривой доходов J суммированные за данный момент эксплуатационные расходы, получим на рис. 13 кривую суммарной прибыли. Характер этой кривой и абсолютные значения определят индивидуально для каждого судна. Поэтому удобно рассмотреть гипотетическое «журнальное» судно, удовлетворяющее следующим условиям:

за период существования T , происходит накопление удвоенной строительной стоимости $2K$, обеспечивающей расширенное воспроизводство;

окупаемость судна, т. е. первый возврат капитальных затрат на его постройку, происходит через восемь лет;

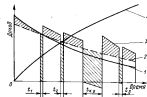


Рис. 14. Влияние ремонтов на интенсивность дохода. t_1 , t_2 , t_3 , t_4 – длительность 1-го и 2-го текущих и капитального ремонта).

1 – интенсивность дохода зернотранспортерного судна; 2 – интенсивность дохода в ремонтируемом судне; 3 – кривая интенсивности дохода; 4 – суммарный доход

суммарная прибыль нарастает по показательному закону $P = 0,211K_c t^{0,75}$.

эксплуатационные затраты в последнем году существования судна в полтора раза выше, чем в первом году.

На рис. 13 период существования такого нормализованного судна отсчитывается со дня сдачи судна заказчику. Осьната ΔT символизирует затраты на постройку судна (капитальные вложения). Показан только капитальный ремонт. Его стоимость определяется отрезком AB . За время ремонта T_p , прибыль не поступает, поэтому полная стоимость ремонта условно обозначается как сумма потерянной прибыли и действительной стоимости ремонта. Такой подход позволяет учесть влияние длительности ремонта на экономические показатели судна. Нетрудно установить целесообразные сроки постановки судна на капитальный ремонт. Например, при характеристиках судна, показанных на рис. 13, его нужно ставить на капитальный ремонт не позже одиннадцатого года эксплуатации, иначе кризис прибыли не приведет в точку M , т. е. не будет выполнено условие расширенного воспроизводства. Можно оценить величину потери прибыли такого судна за время простов:

$$\Delta P = \frac{dP(t)}{dt} \Delta T,$$

где ΔT — время простов (ремонта) в одиннадцатом году.

Например, если судно стоит 24 млн. руб. ($K_c = 24$) и в двадцатом году существования выходит в ремонт на 25 лет, то потеря прибыли за это

$$\text{время составляет } \Delta P = 0,211 \cdot 0,75 \cdot 24 \cdot 9^{-0,75} = \frac{25}{365}, \text{ т. е. около}$$

150 000 руб. Хотя цифра эта относится к условному судну, она все же дает представление о минимальной прибыли, которую должна обеспечивать хорошо спроектированное судно. Подставив вместо ΔT относительную продолжительность рейса, нетрудно оценить минимально приемлемый доход такого судна.

При сроках службы около 20 лет, иссыма близким к планированным срокам существования судов транспортного флота, кризис прибыли на участке 8–10 лет мало отличается от кризиса, что позволяет считать кризис капитальных вложений за период оккупаемости T_p , равномерным или принять коэффициент квадрата капитальных вложений (называемый также нормативным коэффициентом эффективности капитальных вложений) равным $\delta = T_p^{-1}$. Условно можно сказать, что такие многолетние отчисления не подлежат расходованию, поскольку к концу периода оккупаемости всеми подобными период должны быть суммы, достаточная для замены нового судна. Формально можно сложить эти отчисления с годовыми эксплуатационными расходами. Получим так называемые приведенные затраты судна. Они и могут служить критериями сравнения вариантов судов с одинаковым годовым объемом перевозок. Часто в процессе проектирования приходится сравнивать суда с разным экономическим эффектом (годовой перевозкоспособностью). Тогда в качестве критерия используют затраты на единицу перевозенного груза — удельные приведенные затраты:

$$t = (K_0 \delta + E) G^{-1}. \quad (2.33)$$

где K_0 — строительная стоимость судна (капитальные затраты); δ — нормативный коэффициент эффективности капитальных вложений; E — годовые эксплуатационные расходы; G — годовой объем перевозок.

Коэффициент δ назначается в соответствии с типовой методикой определения экономической эффективности капитальных вложений в пределах 0,12–0,15. Из формулы (2.33) видно, что удельные приведенные затраты есть не что иное, как сумма удельных капитальных вложений*, взятых с коэффициентом их годового износа, и себестоимости перевозки единиц тонны груза. Не рекомендуется использовать в качестве показателя полезного эффекта судна чисто тоннажные, выпущенные за год. Такой показатель, удобный для производственных целей, непригоден для оптимизации, поскольку в показателе эффективности в трижды входит внешняя характеристика (продолжительность рейсов Z), не связана с качеством проектного решения и поэтому никакая оценка влияния проектно-технических элементов судна на экономическую эффективность. В самом деле, при исключении из тоннажного величина Z войдет в расчет стоимости топлива, величины ходового времени и самостоятельным соинициатором в расчет объема перевозок. Минимальная стоимость перевозок автоматически соответствует меньшей длительности перемещения грузов.

При разновременном насыщении капитальными затратами производится их дискионирование, т. е. приведение к единому моменту вложения с помощью формулы ставоковых процентов, где учетным процентом служит коэффициент эффективности вложений. Условно считается, что вложенные средства прекращаются в форме, когда 1 руб. вложенный в народное хозяйство сегодня, через 1 год привнесет прибыль и станет эквивалентом $(1+\theta_1)^1$ рублям. Поэтому затраты одного рубля сегодня для нас более существенны, чем те же затраты через 1 год. Учет стоимости грузов, находящихся в пути, производится таким же путем. Средства, связанные в грузах, являются на выбор скорости проектируемого судна, поскольку увеличение скорости доставки сопряжено сопутствующими изменениями оборотных средств народного хозяйства. Стоимость грузов учитывается во-разному в зависимости от цели их потребления. Учитывая все указанные соображения, условную величину приведенных расходов проектируемого судна целесообразно рассматривать в виде суммы

$$S_p = \theta_1 \sum_i K_{ij} (1+\theta_1)^{T_j} + T_c^{-1} \sum_{j=1}^m (1+\theta_1)^{-T_j} (\Delta K_{pj} + 0,158K_c \times \\ \times T_{pj}^{-0,25} T_{Ej}) + E + \theta_2 \sum_{g=j}^r \alpha_{gj} \rho_g (1+\theta_1)^{T_g} T_E. \quad (2.34)$$

где ΔK_{ij} — размер вложений на i -м этапе постройки; θ_1, θ_2 — нормативный коэффициент эффективности капитальных вложений и норматив дискионирования; n — число этапов за период постройки; T_j — относительный

*Обратная величина называется коэффициентом фондоотдачи.

(в годы года) начиная от момента i -го платежа до сдачи судна заказчику; K_c — строительная стоимость судна; E — годовые эксплуатационные затраты, включая амортизационные отчисления в виде некоторой части K_c ; ΔK_{gi} — стоимость j -го ремонта судна; t_j — относительный период от выхода судна в эксплуатацию до окончания j -го ремонта; t_{ri} — год существования, на который приходится j -й ремонт; r_{ri} — относительный период ремонта; T_c — период существования судна; α_g — коэффициент учета оборотных средств в перевозимых грузах, изменяющийся от 0 до 1 в зависимости от вида груза [24, с. 29]; c_g — цена груза; P_g — масса перевозимого груза в г-м реюе; r_2 — относительная продолжительность j -го рейса.

Формула (2.34) позволяет учитывать при сравнении вариантов не только стоимость материалов, поставок и работ при изготовлении судна, но и технологичность и ремонтопригодность судна. Формулы (2.33) и (2.34) нередко приходят к различным оптимальным решениям.

Выше учитывались потери прибыли от выхода судна в ремонт. С точки зрения экономической науки правильнее согласовывать сверхприбыльную прибыль, создаваемую судами-претендентами и определяемую по формуле^{*}

$$B = \sum_{r=1}^T \left[\omega_r f_r \left(1 - \frac{t_2}{365} \right) - (E_r + E_r^M + \theta_r + \varphi_r K_r) \right] (1 + \delta_r)^{-r} - \omega_T \left(1 - \frac{t_2}{365} \right) c_r \delta_r \frac{t_2}{365} (1 + \delta_r)^{-1}, \quad (2.35)$$

где r — срок службы судна; ω_r — объем перевозок в r -м году при круглогодичной эксплуатации; E_r — эксплуатационные затраты без отчислений на ремонт и капитальный ремонт; φ — реновационная ставка; E_r^M — затраты на ремонт в r -й год эксплуатации; θ_r — нормативный коэффициент эффективности капитальныхложений; K_r — приведенная к моменту сдачи заказчику стоимость судна; $K_r = \frac{1}{\delta_r} K_0 (1 + \varphi)^r$, где r — время от

первого платежа до завершения постройки; K_0 — размер j -го платежа; φ_0 — норматив дисконтирования; c_r , f_r — цена груза, тарифная ставка за перевозку 1 т груза; t_2 , t_{ri} — длительность рейса, длительность ремонта в r -м году.

Последний член формулы (2.35) учитывает средство, связанные в грузах в период транспортирования t_2 . Прибыль, которую эти средства принесли бы за год, равна $\omega_r f_r \delta_r$. За t_2 сумма эта условная сумма составляет $\omega_r f_r \delta_r t_2 / 365$. Расчеты по формуле (2.35) значительно более трудоемки, чем по формуле (2.34), а качественный анализ проектов однозначно.

При проектировании транспортных судов мы обесценивается тождественность полезного эффекта, потому что варианты проекционно-технических решений в большинстве случаев как раз направлены на изменение полезного эффекта при переходе от варианта к варианту. Так же невозможно спроектировать судно, точно отвечающее заданному ограничению затрат.

Поэтому в проектировании широко применяется неполнозаданный с позиций чистой науки критерий в виде прямого отношения затрат к полезному эффекту — «удельные приведенные затраты».

При проектировании специальных судов просто очевиден круг решимых задач. Тогда имеется возможность дистанционировать варианты по идентичному полезному эффекту и провести оптимизацию по минимуму абсолютных затрат.

Следует отдавать себе отчет в том, что показатели, входящие в изложенную функцию, являются приближенными, поэтому всякий раз необходимо определять погрешность оценки затрат по выбранному критерию.

2.4.1. Структура удельных приведенных затрат

Приведенные затраты включают в себя как единовременные расходы (строительную стоимость судна), так и текущие (эксплуатационные расходы). С позиций экономической науки это разнородные категория, поэтому их сумма говорит лишь для условных сравнений, поскольку сама является чистой условностью.

Вычисление затрат в начальной стадии проектирования возможно по укрупненным нормативам. Модулями при этом являются либо расходы на грузы, либо водоизмещение судна, либо мощность энергостанции, либо вместимость, т. е. обобщенные неявственные проектной задачи [24].

Стоимость стального судна определяется суммой пяти укрупненных групп: металлического корпуса $K_{m,n}$, оборудования машинно-котельного отделения $K_{m,n}$, главного двигателя K_{GD} , оборудования машинно-котельного отделения $K_{m,n}$, работ по судну K_p . Стоимость конструктивных групп определяется через массу главного двигателя — через мощность, стоимость работ — через водоизмещение паромощи. Таким образом, все расходы на постройку связываются с главными неявственными, поскольку элементы конструкции и мощность главного двигателя от них зависят. Стоимость каждой группы определяется как произведение измерителя, подчиняющегося эффекту масштаба, на модуль (массу укрупненного радиуса, водоизмещение, плавней, мощность): $K_i = c_i P_i$; $K_p = c_p N$, где c_i , c_p — измерители стоимости, зависящие от типа судна и главного двигателя.

Трудоемкость непосредственно вычисляется по приближенной формуле в зависимости от водоизмещения порожнего судна. Формула строительной стоимости такова:

$$K_p = c_{m,n} P_{m,n} + c_{m,o} P_{m,o} + c_{m,y} P_{m,y} + K_{p,y}. \quad (2.36)$$

Выражение для измерителя аппроксимировано В. И. Краевым по статистике отечественного морского флота [24].

Для примера рассмотрим определение строительной стоимости пакетного судна „ро-ро“.

Стандартные металлические корпуса*, млн. руб.

$$K_{m,n} = \left(0,534 + \frac{86}{P_{m,n}} \right) \frac{P_{m,n}}{1000},$$

где $1000 \leq P_{m,n} \leq 15700$.

*Расчеты производятся согласно табл. 6.

Оборудование корпуса $K_{25} = (2,731 + 0,194x - 0,083x^2)x$, где x – уменьшение в 1000 раз массы оборудования корпуса, рассматриваемое в пределах от 1,2 до 4,0.

Малооборотный дизель от 800 до 8500 кВт: $K_{3Y} = (19,4 - 20,8x + 1,34x^2)x \cdot 10^{-3}$, где $x = 0,01N \text{ кВт}$.

Оборудование и трубы/проводы машинного отделения

$$K_{M,0} = \left(2,35 + \frac{50}{P_{3Y}} \right) \frac{P_{3Y}}{1000},$$

где P_{3Y} – масса энергетической установки судна, т.

Работы по постройке судна: $K_{1Y} = 0,345 + 0,225x - 0,007x^2$, где x – масса судна порожнем в интервале 1,0–18,6 тыс. т.

Аналогичным образом через характеристики, известные в начальной стадии проектирования, оценивают эксплуатационные расходы. Учитываются нормы амортизационных отчислений по основным фондам на реконструкцию и капитальный ремонт E_{1M} , расходы на текущий ремонт $E_{T,p}$, снабжение E_{qM} , содержание экипажа E_{ch} , приводимый и бракерский $E_{B,B}$, топливо и бункеровочные расходы E_T . Головные эксплуатационные расходы таким образом составят:

$$E = c_{qM} K_c + E_{T,p} + E_{ch} + E_{qM} + E_{B,B} + E_T. \quad (2.37)$$

Все цепи связанных с главными элементами непосредственно либо косвенно:

амортизационные отчисления определяются типом судна и теми его элементами, которые учитываются в расчете строительной стоимости. Нормы отчислений колеблются от 0,058 до 0,078 в зависимости от типа судна. Нормы периодически пересматриваются и утверждаются правительством [24, с. 256];

годовые расходы на текущий ремонт оценивают в зависимости от назначения судна, типа ЗУ и модуля, в качестве которого выступают двигатели, мощность главного двигателя или кубический мидель корпуса. Головные расходы на текущий ремонт пассажирского судна составляют (в тысячах рублей): $E_{T,p} = (0,21x^2 + 4,5x - 3)1 + (4,2 + 16,9x - x^2)1$, где x – плавает модуль судна, тыс. т (первая скобка применяется для малооборотных дизелей, вторая – для среднеоборотных);

расходы на снабжение определяются в зависимости от типа судна, его длины в эксплуатационном периоде T_p . Последний, в свою очередь, зависит от ледяной и подвижности судна и определяется по нормативам плавания судов [24, с. 263]. Для рассматриваемого пассажирского судна годовые расходы по снабжению составляют, тыс. руб.: $E_{qM} = (29 + 0,443\sqrt{P_{3Y}}) \times 0,336$ при длине от 4 до 8 тыс. т;

расходы на содержание экипажа зависят от назначения судна, типа его энергоустановки, брутто регистровой вместимости, района эксплуатации, численности команды, которая определяется нормами владения [24, с. 258]. Используя предложенную формулу для численности команды, замените рассмотренный примера

$$E_{ch} = (24 + 0,42P_{3Y}^{0,37})c_{ch} \frac{T_p}{1000},$$

где c_{ch} – норматив расходов на одного члена экипажа в сутки [24, с. 259]; T_p – эксплуатационный период судна [24, с. 260];

нормативные расходы на эксплуатацию судна зависят от назначения судна и его ледяной

$$E_{B,B} = (110 + 0,29P_{3Y}^{0,55}) \frac{T_p}{1000};$$

расходы на топливо определяются типом и мощностью энергоустановки, видом топлива и бункеровки (зависят от бассейна эксплуатации судна): $E_T = 24T_p N_p(c_t + c_B)$, где T_p – число календарных суток в году; N_p – мощность главного двигателя; c_t – удельный расход на все нужды с учетом морского завала, расходов на беспомеховые механизмы и расходов на стоянках; у малооборотных дизелей эта величина удваивается из уровня 235–265 т/(кВт·ч); c_B – цена топлива и стоимость бункеровки, определяемые действующими предскурантами [24, с. 265].

Таким образом, приведенные затраты пассажирского судна определяются суммой одинаковых слагаемых, связанных с характеристиками проектируемого судна.

Для определения объема перевозок Q необходимо знать эксплуатационный период T_p , количество круговых рейсов за год n_p , грузоподъемность судна P_f и коэффициент ее использования η_p . Количество рейсов, в свою очередь, определяется через эксплуатационную скорость v_p , норму круговых работ M , путь кругового рейса Z и массу обработанного в рейсе груза ΣP_f :

$$\frac{\Sigma P_f \eta_p T_p}{Z + \frac{\Sigma P_f}{M} + \Sigma t_f} = 1, \quad (2.38)$$

где P_f – масса груза, обработанная в i -м порту захода; t_f – стоянное время вне грузовых операций в i -м порту.

Как уже отмечено ранее, отношение приведенных затрат к объему перевозок является полезной функцией при оптимизации транспортных судов. Это описание характеризует рост эффективности в том случае, когда рост полезного эффекта в зависимости от затрат идет по логистической кривой (рис. 15). Подобная зависимость, характеризующая процесс насыщения, объективно отражает взаимосвязь между

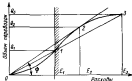


Рис. 15. Логистическая зависимость величины полезного эффекта от затрат.

стг ψ – критерий эффективности

затратами ресурсов и излишней от этих затрат. В самом деле, вкладываемые ресурсы в некое мероприятие, тщетно сокращая большую отдачу. Лишь с ростом расходов отдача начинает расти. Но не беспредельно – наступает момент, когда увеличение расходов не в состоянии значительно помочь полезной отдаче. Процесс приобретает асимметрический характер. На рис. 15 такому моменту соответствует точка 2. Видно, что при ограничении ресурсов величиной E_1 , вариант 2 вообще непримлем, а в интервале $E_3 - E_2$ он дает меньший полезный эффект, чем решение 3. При всех значениях затрат, меньших E_2 , рассматриваемый критерий будет приводить к лучшему варианту. Таким образом, для подавляющего числа решений критерий в виде принятого определения приводит к правильным выводам. В то же время он становится бесполезным в задачах, связанных со строго определенной величиной полезного эффекта или экономической эффективности.

В зависимости от целей проектирования применяется большое число других критериев, возможна разработка новых, но все они должны связывать величину полезного эффекта с затратами на него [24, 30, 53]. В общем случае содержание критерия определяет задачу. Выбранный критерий должен учитывать такие требования: в наибольшей мере отражать степень достижения цели проектирования; являться функцией оптимизируемых переменных; быть достаточно критичным (чувствительным) к этим переменным.

Важнейшим методологическим принципом определения экономической эффективности новой техники является соблюдение народнохозяйственного подхода. Это означает, что полезный эффект и затраты должны суммироваться во всем цикле производства и эксплуатации, где проявляются заявки нового сооружения.

9.2.5. Критерии оптимальности подсистем

Системный подход является основой проектирования сложных систем и одновременно предпосылкой использования САПР в проектировании. Рассматривая судно как систему, можно разделить его на подсистемы во функциональном отношении, например, таким образом: корпус, вооружение, техника, обитаемость, перевозимый груз. В свою очередь, каждая из указанных подсистем подразделяется на подсистемы высшего уровня. Например, подсистема „техника“ включает в себя подсистемы: ЗУ, устройство судна (грузовое, пассажирское, якорное и т. д.), системы судна, гидравлический комплекс и т. д. Последовательное применение принципа системного подхода к проектированию предполагает выделение проектирования всех подсистем требований оптимизации судна в целом при одновременной оптимизации элементов судна и его подсистем в рамках единой задачи. На первый взгляд кажется, что при последовательной детализации критерии оптимизации элементов самого судна может ступить в критерии оптимизации подсистем. На самом деле это не так. Изменяя элементы подсистемы (обозначим их x_{kj} , где k – номер подсистемы, j – номер ее элемента), необходимо минимизировать общий критерий

судно $F(x, x_k)$, зависящий от общих элементов судна (определенных на верхнем уровне проектирования) и характеристики подсистем, обесцениваемых элементами x_{kj} . Таким образом, изменяя элементы подсистем, мы должны были бы одновременно менять элементы всего судна. Понятно, что решить такую задачу в сколь-нибудь приемлемые сроки практически невозможно и вряд ли целесообразно, поскольку практика проектирования сложных объектов давно привыкала к различному проектированию подсистем: после определения главных элементов судна проектирование подсистем проводится параллельными потоками. Такая практика себя оправдала, она полностью отвечает теоретической установке о необходимости линкотопии сложной системы для явлений ее характеристики. Итак, подсистемы проектируются изолированно друг от друга. Каким же должен быть в таком случае критерий оптимизации k -й подсистемы? Он должен приводить к наивысшей эффективности системе – судну – даже в underf оптимизации самой подсистемы. Неправильно было бы проектировать, скажем, грузовое устройство судна, добиваясь лишь минимума приведенных затрат на создание и эксплуатацию этого устройства. Изменение элементов устройства влияет за собой определенные изменения в конструкции корпуса, в использовании судна во время грузовых операций, производительности экипажа операций и, в конечном итоге, к изменению годовой производительности. Изменение массы корпуса самого устройства через коэффициент Нормана переходит на водонизмещение, затем на скорость либо за мощность и занос топливом. Таким образом изменения в подсистеме „приводят в движение“ всю систему. Меняются не только элементы, но и характеристики (производительность). Существует еще одно обстоятельство, сопутствующее изменением в подсистеме: изменяются пределы ограничений на то или иное свойство судна, обеспечиваемое данной подсистемой. Например, устройство упокоянелей, которое помимо всего прочего позволяет смягчить требования к избыточному значению метacentрической высоты судна: его можно теперь поднять, скажем, за счет увеличения ширины судна, без ущерба плавучести камни.

Что означает ограничение грани, ограниченные с точки зрения оптимизации? Это – изменение пространства проектирования (его расширение или сужение), а следовательно, и возможное изменение в положении оптимума.

Таким образом, при решении задач инженерного уровня нужно помнить оценку эффективности подсистем учитывать косвенные изменения эффективности судна в целом, вызванные конкретной подсистемой, то есть включение к уровню эффективности, постепенному при решении задачи высшего уровня.

Отсюда вспоминаются такие требования к критериям оптимизации подсистем, как так называемым локальным критериям [34].

1. Они должны стимулировать выбор таких решений, которые в наибольшей мере отвечают „интересам“ глобального критерия, – условия непротиворечия.

2. Локальные критерии должны подавлять такие решения в подсистемах, которые сужают пространство проектирования для задачи верхнего уровня, и наоборот, допускать те решения, которые это пространство расширяют, – условия согласованности.

3. Рассчет локального критерия должен быть возможным в рамках проектируемой подсистемы при минимальном использовании информации, возникающей в результате проектирования других подсистем, – условие параллельной разработки подсистем, или условие автономности.

Первое условие можно удовлетворить, опираясь на расчет глобального критерия (эффективности всего судна) при каждом новом варианте подсистемы, однако для вторых условия такие пузем удовлетворить невозможно. В 70-х гг. был выведен [34] в практику проектирования подсистем критерий с маржинальными (крайними) составляющими. Суть его состоит в том, что приведенные затраты проектируемой подсистемы складываются с частным приращением глобального критерия судна, вызванным изменением элементов судна из-за модификации подсистемы, и с частным приращением глобального критерия, вызванным смещением границ пространства проектирования, также вызванным изменением подсистемы по отношению к ее составу, применому при оптимизации элементов судна на верхнем уровне проектирования.

Если обозначить:

$f_k(x_k)$ – абсолютные приведенные затраты по k -й подсистеме;

$f(x^0, \bar{x}_k)$ – абсолютные приведенные затраты по судну, где x^0 – его оптимальные главные элементы, определенные на верхнем уровне внутренней задачи проектирования, а \bar{x}_k – элементы k -й подсистемы, зафиксированные в виде параметров при решении этой же задачи верхнего уровня;

$dg_x(x_k, \bar{x}_k)$ – изменение значения k -го ограничения в задаче верхнего уровня, вызванное переходом k -го элемента k -й подсистемы от значения x_k к \bar{x}_k ;

$\frac{df(x^0, \bar{x}_k)}{dx_k}$ – частная производная глобального критерия по k -му ограничению в задаче верхнего уровня, представляющая собой цепь глобального критерия (руб., руб./т, руб./контейн., руб./м³, руб./навалочный руб. и т. д.) за единицу измерения k -го ограничения (единицу массы, объема, единицу метрологической высоты, метр надводного борта и т. п.);

S_1 – множество ограничений задачи высшего уровня, выполняемых в виде строгих равенств;

S_2 – те же множества ограничений ЗВР в виде неравенств, которые препятствуют смещению глобального оптимума в сторону лучшего значения критерия оптимальности судна (например, в задаче высшего уровня найдены оптимальные размеры судна с минимальной остойчивостью, тогда смещение верхней границы для метастабильной имбости B_{max} никак не влияет на положение оптимума, и счита-

$$\text{ется } \frac{df(x^0, \bar{x}_k)}{d\bar{x}_{B_{\text{max}}}} = 0;$$

I – подмножество элементов судна, претерпевающих прямое приращение из-за применения k -й подсистемы (например, увеличение длины и ширины судна из-за изменения типа стального двутавра);

χ – коэффициент приведения к одинаковым единицам измерения всех членов правой части выражения (2.39). При условии, что глобальный критерий исчисляется в руб./т, а χ – годовая пропускособность судна, – все слагаемые в формуле показанного критерия исчисляются в рублях, получим общую формулу для критерия напомнив:

$$f_k(x_k) = f_k(x_k) + \chi \left[\sum_{S=S_1} \frac{\partial f(x^0, \bar{x}_k)}{\partial g_x(\bar{x}_k, x_k)} dx_k(\bar{x}_k, x_k) - \sum_{S \in S_2} \frac{\partial f(x^0, \bar{x}_k)}{\partial g_x(\bar{x}_k, x_k)} \right] + \chi \sum_{I \in I} \frac{\partial f(x^0, \bar{x}_k)}{\partial x_k} dx_k(\bar{x}_k, x_k). \quad (2.39)$$

Здесь второе и третье слагаемое – маржинальные приращения. Их значения определяются следующим соображением: для ограничений типа неравенств S_2 в силу пренесения границы можно вести к сменению чисто- го значением целевой функции (ЦФ), поэтому появляется знак „минус“; для ограничений типа равенств всяком нарушение по смыслу должно ухудшить оптимальный вариант, т. е. приводит к возрастанию затрат по судну, и это слагаемое вносится со знаком „плюс“.

Как видно из формулы (2.39), единственную трудность вынесенная критерия оптимальности подсистемы представляет маржинальные приращения. Они определяются численным экспериментом с оптимизационной моделью судна либо с судном-прототипом. В первом случае проводятся серии оптимизационных расчетов, в которых определяют оптимальные элементы x^0 и приращения приведенных затрат по судну $df(x^0, \bar{x}_k) = f(x_k, \bar{x}_k) - f(x^0)$. В качестве df_k принимаются приращения элемен- тов ограничений (таких $g_x(x, \bar{x}_k) \geq 0$) с обратными знаками. Получаемая зависимость df от dx_k дает возможность рассчитать частные производные в зоне их устойчивости. Во втором случае имеют „исправления“ в судно-прототипе в соответствии с нужным \bar{x}_k и определяют приращение критерия сто экономической эффективности.

Разработчик подсистемы должна иметь маржинальные производные до начала проектирования, они вводятся в качестве заданных величин. Рис. 16 показывает одну из экспериментальных зависимостей

$$\text{модели } df = \psi(\bar{x}_k) = \psi \begin{pmatrix} A \\ B \end{pmatrix} \text{ (зах.)}$$

т. е. изменение приведенных затрат трехмерно остойчивого судна при смещении верхней границы относительной



Рис. 16. Примитивные узловые производные затрат в зависимости от приращения верхней ограничительной относительной метастабильной кривоты

МЕТОДЫ ОПТИМИЗАЦИИ

метацентрической высоты (ОМЧВ). Видно, что при увеличении допустимого значения ОМЧВ улучшается экономическая эффективность судна. Так как ОМЧВ выражается в долях ширине судна B , то коэффициент

$$\text{руб./т}$$

$$\frac{1}{B}$$

$1,33/100 \cdot 25 = 0,000\,532$ руб./т за 1 см метацентрической высоты. Следовательно, любое снижение требований к верхнему пределу метацентрической высоты на один сантиметр (хотя бы за счет применения уплотнительной пакетки) можно выиграть в удельных приведенных затратах $5,32 \cdot 10^{-4}$ руб./т. При годовой провозной способности судна 176 000 т мы

$$df(x^0, x_0)$$

заменим в абсолютном выражении $x - \frac{df(x^0, x_0)}{dx} = 176\,000 X$

$X\,0,000\,532 - 1 = 93,63$ руб. Эту цифру со знаком „минус“ нужно поставить на место третьего члена формулы приведенных затрат упомянутой выше. Теперь, предположим, из того же судне после установки нового подруливающего устройства метацентрическая высота поднялась бы до 85 см, т. е. превысила из 5 см предел, принятый ранее при оптимизации элементов судна. Тогда мы получим бы в приведенных затратах $176 \times X\,10^3 - 5,32 \cdot 10^{-4} \cdot 5 = 468,16$ руб. Эта цифра со знаком плюс должна занять место третьего слагаемого в формуле (2.39) при подаче критерия оптимальности подруливающего устройства. В источниках [34, 35] приводятся различные производные, полученные машинным экспериментом с моделями некоторых типов судов. Их можно использовать при согласованной оптимизации подсистем соответствующих типов судов.

5.3.1. Методы математического программирования

При оптимизации проектного решения прежде всего необходимо выделить некоторый набор независимых переменных (главных и косвенных, проектных переменных) x_1, x_2, \dots, x_n , значения которых определяют основные свойства проектируемого изделия. Выбор их зависит от предлагаемого проектанту. Набор и число x^n (x_1, x_2, \dots, x_n) может быть представлена вектором и называемым Эйквативным пространством E^n . Тогда условия и ограничения, вытекающие из возможной величины главных независимых задачи в E^n искуются областью G , которой точка x должна принадлежать. Эту область при числе главных независимых более двух называют пространством проектирования. Критерий суждения (целевая функция) представляется в виде членов функции $\Phi(x) = \Phi(x_1, x_2, \dots, x_n)$ от главных независимых. Считается, что решение $x^* = (x_1^*, x_2^*, \dots, x_n^*)$ лучше, чем решение $x^{(1)} = (x_1^{(1)}, x_2^{(1)}, \dots, x_n^{(1)})$, если $\Phi(x^*) > \Phi(x^{(1)})$.

Рассмотрим геометрическую интерпретацию простой задачи оптимального проектирования изделия, характеризующегося всего двумя проектными переменными. Математическая задача заключается в выборе вектора $x(x_1, x_2)$, область изменения которого определяется заданными ограничениями. Пусть для ограничения имеют вид $x_1^* - 10x_1 + x_2 + 16 \leq 0$; $-0,5x_1 - 0,3x_2 + 4,5 \leq 0$; $x_1 \geq 0$; $x_2 \geq 0$.

Предположим, что целевая функция, которую требуется максимизировать, в этой задаче квадратичная:

$$\Phi(x_1, x_2) = -[(x_1 - 12)^2 + (x_2 - 7)^2]. \quad (3.1)$$

На рис. 17, а приведен пространственный вид схемы изменения функции целей (3.1) над областью изменения независимых переменных, а также

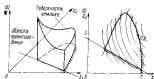


Рис. 17. Поверхность функции цели (поверхность отклика) над областью изменения независимых переменных: а - пространственная схема; б - плоское изображение

проектами этой поверхности (рис. 17, б) за область проектирования в виде изолиний (уровней постоянных значений целевой функции). На рис. 17, б область возможных сочетаний независимых переменных ограничена штриховой линией. Изолинии в данном случае представляются концентрическими окружностями с центром $(x_1^*, x_2^*) = (12; 7)$. видно, что максимальное значение целевой функции для x_1 , x_2 , не выходящих за область ограничений, составляет $F(x^*) = -29$, а оптимальные проектные переменные равны $x_1^* = 7$, $x_2^* = 5$. Задача нелинейного программирования решена. В ней ограничения и целевая функция линейны. Размерность задачи – два, функции цель трехмерна. При числе главных неизвестных более двух, образуется пространство проектирования, в котором функция отображается гиперповерхностью (не поддающейся изображению на рисунке), называемой частично поверхностью оптимума. В таком случае определять положение экстремума поверхности целевой функции удобнее всего методами математического программирования.

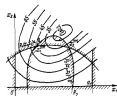
Способ отыскания оптимального решения зависит от вида ограниченной оптимизируемыми независимыми переменными и типа целевой функции. Если целевая функция и ограничения линейны относительно оптимизируемых переменных, то отыскание экстремального значения целевой функции над их допустимой областью называется линейным программированием. В практике проектирования такие задачи почти не встречаются. Даже в простейшем случае присутствует линейность хотя бы в одном из указанных элементов оптимизационной задачи. Математическое программирование называют нелинейным, если целевая функция или хотя бы одно ограничение нелинейны или полиномиальны (содержат произведения аргументов) относительно оптимизируемых переменных. В проектировании суда приходится иметь дело именно с такими типами задач. Реальная проектная задача обязательно содержит разрывы в ограничениях, связанные с дискретностью многих параметров, обусловленные ступенчатым изменением характеристик конструктивных модулей, мощностных рядов двигателей и т. п. Сами независимые переменные часто дискретны. В таких случаях естественно применять методы дискретенного программирования, т. е. нелинейного программирования, в котором набор возможных значений оптимизируемых переменных, параметров или нормативов задается в виде матрицы дискретных величин. Универсалами для таких задач являются алгоритмы случайного поиска, в которых над оптимизацией K дискретных переменных определяется как [13]: $\hat{N} = j_1^{f_1} \times \dots \times j_M^{f_M}$, где j_i – число значений i -й дискретной переменной; f_i – индекс i -й дискретной переменной в таблице их значений (матрице индексов, ранга K), $1 \leq j_i \leq \pi$; f_i – индекс дискретной переменной, соответствующей лучшему значению ШФ, полученному в предыдущем шаге оптимизации; \hat{N} – случайная величина в интервале от -1 до $+1$; M – целое положительное чёткое число.

Другой модификацией целочисленного программирования является так называемый метод дискретно-непрерывного нелинейного программирования [45], т. е. нелинейного программирования при дискретных и непрерывных независимых переменных, рассматриваемый ниже в §3.2.



Рис. 18. Задача поиска максимума на поиск минимума

Рис. 19. Универсальная ШФ над областью независимых переменных (шагах оценки идентичные областям)



Поскольку положение экстремума целевой функции определяет положение оптимума задачи, то поиск этого представляет интерес форма гиперповерхности, отсылаемой целевой функцией. С математической точки зрения она представляет собой $(n+1)$ -мерную поверхность. Значение целевой функции определяется проектными переменными $F = F(x_1, x_2, \dots, x_n)$.

В дальнейшем будем разыскивать минимум целевой функции, предполагая, что в практике случаев произошедшего преобразование (рис. 18) $F(x) = -\Phi(x)$.

При поиске оптимальных проектных решений следует различать локальный и глобальный оптимумы. Глобальным оптимумом^a в пространстве проектирования G называется такая точка, которая удовлетворяет критерию

$$F(x^*) \leq F(x); \quad x^* \in G, \quad x \in G,$$
 (3.2)

где $F(x)$ – значение критерия оптимальности, соответствующего любой из остальных точек пространства проектирования. Целые решения задач

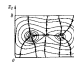


Рис. 20. Универсальная ШФ над областю независимых переменных $0 \leq x_1 \leq \pi$, $0 \leq x_2 \leq \pi$

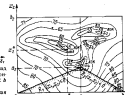


Рис. 21. Четырехмеристическая ШФ

оптимального проектирования является нахождение глобального оптимума, однако значительная часть алгоритмов осуществляют поиск локальных оптимумов, т. е. таких, для которых неравенство (3.2) выполняется лишь в некоторой части пространства проектирования. Часто при решении задач отыскивание только одного локального экстремума оказывается недостаточным. Требуется найти большинство поискаемых оптимумов и показать, что среди оставшихся ненайденным нет глобального. Такая задача может быть решена только приближенно (с определенной вероятностью пропуска глобального оптимума), что обусловлено сложностью топологии целевой функции, либо многосвязностью пространства проектирования, либо тем и другим одновременно. Тогда экстремальные области приходится находить и разделять специальными методами.

На рис. 19 показан случай однокомпонентной (унимодальной) целевой функции над несвязной Саштаковской внешней стороной трапеции) допустимой областью. Каждая из двух составляющих подобной области имеет свой оптимум x_1^{opt} и x_2^{opt} . Дискрольку $F(x_1^{opt}) < F(x_2^{opt})$, точка x_1^{opt} является и глобальным оптимумом. На рис. 20 показана многокомпонентная бимодальная ЦФ над односвязной областью проектирования двух неизолированных переменных x_1 и x_2 . Здесь поверхность ЦФ имеет два локальных минимума (бимодальная целевая функция). Глобальный оптимум для данной области переменных ($x_1 \leq x_2$, $x_2 \leq x_1$) определяется после сравнения значений ЦФ в локальных оптимумах. На рис. 21 представлена четырехкомпонентная ЦФ. Глобальный для данной области проектных переменных является оптимум при $x^* = x_1^{opt}$. Оптимальными являются значения переменных x_1 и x_2 . Рассмотренные рисунки дают геометрическое представление о сравнительно простых двумерных задачах, когда поверхность ЦФ можно настроить. Заметимно сложнее отыскать глобальный оптимум в многомерном проектном пространстве. С увеличением количества оптимизируемых переменных и числа ограничений проектного пространства быстро растет объем вычислений. Часто узлов, которые нужно перебирать, используют, например, метод сеток, определяется степенью функции с показателем, равным размерности⁶ пространства проектирования. Поиск лучшего решения для идеи, характеризующейся тремя оптимизируемыми переменными при десяти значениях каждой из них, потребует изучка $3^{10} = 59048$ решений. Если же проектное пространство образуется семью координатами L , R , T , H , δ , a , β , то придется просмотреть $7^{10} \approx 2 \cdot 10^6$ решений. Понятно, что здесь могут помочь только специальные методы поиска оптимума.

В соответствии с порядком используемых производных ЦФ все методы оптимизации можно разделить на три группы:

прямые методы (часто называемые также методами пупкового ворка), основанные на сравнении амплитудных значений ЦФ над различными точками области проектирования;

методы первого порядка, использующие первые производные ЦФ;

⁶ В математическом смысле "размерность" задачи равна числу изолированных переменных – по аналогии с физической размерностью, определяемой числом изолированных базисных единиц измерения.

методы второго порядка, использующие вторые производные ЦФ. Иногда вторую и третью группы методов относят к одной – так называемой группе кососимметричных методов поиска оптимума. Совершенно очевидно, что использование кососимметричных методов требует построения полного представления о характере поверхности, описываемой целевой функцией, для определения областей непрерывности и дифференцируемости, классификации точек различия функции, определения локальных экстремумов и точек седловины поверхности. Все эти операции при многомеренных и радиокартических ограничениях на пространство проектирования делают задачу настолько громоздкой и сложной, что использование кососимметричными методами оптимизации теряет практический смысл. Их употребляют как вспомогательное средство для уточнения местоположения оптимума, найденного градиентным методом.

6.3.2. Практические способы поиска оптимума

Прямые методы называют еще методами поиска [51]. В типичном методе поиска направление минимизации определяется на основе последовательных замыслений ЦФ. Самы прямые методы подразделяются на две подгруппы: поиск при отсутствии ограничений и при наличии ограничений. Но естественно интересует последняя подгруппа. Она включает более 15 видов алгоритмов, предложенных в разных целях для решения определенных задач [23, 28, 42–44, 48, 51, 55]. Почти все они достаточно подробно промоделированы в монографии [51]. Ниже в § 3.3 в качестве примера рассмотрен один, достаточно широко проведенный экспериментально при решении задач оптимального проектирования судов и пригодный для практического определения оптимума в других задачах проектирования способ сокращенных направлений „Лаузан”.

Задача линейного программирования формулируется следующим образом:

$$F(x), x \in E^n \quad (3.2)$$

при линейных и (или) нелинейных ограничениях в виде равенств

$$A_j(x) = 0, j = 1, \dots, m \quad (3.4)$$

и линейных и (или) нелинейных ограничениях в виде неравенств

$$q_i(x) \geq 0, i = m+1, \dots, p. \quad (3.5)$$

Решение задач с ограничениями часто базируется на использовании непрерывных функций – добавок к решениям тех же задач без ограничений типа (3.5). Таким образом, если $F^*(x)$ есть решения (3.3) и (3.4), то для учета ограничений (3.5) преобразуем критерий оптимальности $F(x)$ так, чтобы нарушение ограничений вызывало рост критерия, а соблюдение приводило бы $F(x)$ к $F^*(x)$. Для этого минимизируют новый критерий в виде

$$F(x, r_k) = F(x) + r_k \sum_{i=1}^p G_i(x_i) \alpha_i, \quad (3.6)$$

где G – функция от i -го ограничения, стремящаяся к 0, когда $\alpha_i \geq 0$ и

к ∞ , когда $g_1(x) < 0$; r_k — масштабный коэффициент, уменьшающий положительно убывающие значения с ростом числа итераций оптимизации.

Коррекция [51, с. 341] предполагает считать штрафную добавку в виде

$$r_k \frac{1}{m+1} \frac{1}{g_1(x)},$$

Тогда критерий оптимизации в задаче (3.3), (3.4), (3.5) будет

$$P(x, r_k) = F(x) + r_k \frac{1}{m+1} \frac{1}{g_1(x)}, \quad (3.7)$$

где r_k выполняет роль „весового“ отношения между численным значением ЦФ и штрафного члена (рекомендуется принимать $1 > r_k > 10^{-4}$). Покажем использование критерия (3.7) простым примером. Пусть требуется определить минимум функции $F(x) = ax$ при условии $x \geq b$, т. е. $g(x) = x - b \geq 0$. Перейдем к решению задачи без ограничений, изыскав новую целевую функцию

$$P(x, r_k) = ax + \frac{r_k}{x - b}.$$

Задаваясь значениями r_k от 0,1 до 0,0001 можно достаточно близко спуститься к действительному минимуму функции $F(x)$ с ограничениями $g(x)$, что хорошо видно на рис. 22. Например, если $x = 4$, $b = 2$, то при

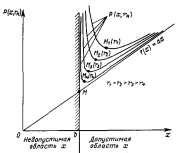


Рис. 22. Приближение целевой функции со штрафным членом к истинному минимуму

$x = 2,01$ и $r_k = 0,01$ $P(x, r_k) = 9,04$; $r_k = 0,001$ $P = 3,14$; $r_k = 0,0001$ $P = -8,05$. Действительным минимумом равен 8 при $x = 2$. При x из неизвестных переменных каждому r_k соответствует свое $(k+1)$ -мерная поверхность функции $P(x, r_k)$, и в пределе $P(x, r_k) \rightarrow F(x)$. Если в данном примере начать поиск решения со значениями $x \leq 2$, т. е. из недопустимой области, то с помощью ЭИМ не удастся найти решение, поскольку функция $P(x, r_k)$ имеет разрыв ($P(x=2) = +\infty$), в итоге таких указаний о дальнейших шагах в расчетной схеме. Чтобы обойти это притягательное Капли [51] предложеновести условный переход вблизи границы:

$$G[g_1(x)] = \begin{cases} |g_1(x)| & \text{при } g_1(x) \geq \epsilon; \\ (2 - g_1(x)) / \epsilon^2 & \text{при } g_1(x) < \epsilon, \end{cases} \quad (3.8)$$

где ϵ — положительная малая величина, подбираемая для каждого r_k опытным путем.

Если теперь начать процесс оптимизации из недопустимой начальной точки (при $g_1(x) < 0$), то штрафной член примет большое положительное значение и тем больше, чем дальше от границы находится исходная точка. Это заставляет вектор независимых переменных кратчайшим путем выйти в допустимую область (рис. 23).

Существует ряд других модификаций штрафных функций [12, 14] для критерия (3.7). Они здесь не рассматриваются, поскольку имеют тот же смысл, что и формула Капли, использованная в приведенном ниже алгоритме „Паукхи“.

Введя штрафную функцию, остается найти минимум безусловной целевой функции $P(x, r_k)$.

В пространстве n оптимизируемых переменных любой точке x соответствует значение ЦФ $P(x)$ и направление в эту точку из начала координат вектор $x = [x_1, x_2, \dots, x_n]$, образованный проекциями точки на координатные оси. Две точки пространства x_k и x_{k+1} , связанные векторным соотношением $x_{k+1} = x_k + A_k \pi_{k+1} + a_k g_k$, где направление вектора $A_k = x_{k+1} - x_k$ длины $\|A_k\| = \|A_k\|$ определяется единичным вектором $\hat{g}_k = g_k / \|g_k\|$. Преобразование вектора связано с направлениями архимедовых линейных выражениями $\Delta x_k = \lambda_{k,k} \pi_{k+1} - \Delta x_k \cos \varphi_{k,k}$, где $\varphi_{k,k}$ — угол между положительным направлением \hat{x} в координатной оси и направлением вектора \hat{g}_k . Большинство численных методов нелинейного программирования сводятся к выбору из концов k -й итерации вектора \hat{g}_k направления и одномерного поиска из точки λ_k минимума ЦФ в этом направлении. Последовательность таких итераций приводит в конечном счете к показанному на рисунке минимуму ЦФ, а различие между методами минимизации в основном сводится к методике выбора направления и одномерного поиска на каждой итерации.

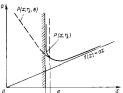


Рис. 23. Показание целевой функции $P(x, r_k)$ при штрафной наработке в форме Капли

Существенное значение имеет выбор начальной точки x_0 , определяющей время и, при многоэкстремальности ЦФ, результат оптимизации. Так как не существует общего подхода к определению точки x_0 , то ее выбирают случайно или аналитически исследуют функции и области допустимых решений, грубо определяя область нахождения минимума или, по крайней мере, монотонного изменения и выбирая начальную точку за границе этой области.

При наличии дискретных независимых переменных в штрафную функцию добавляют еще одно слагаемое $V_k = S_k \delta_k(x^d)$, которое штрафует ЦФ при отступлении независимых переменных от указанных дискретных значений. Это слагаемое обладает следующим свойством:

$$\delta_k(x^d) = \begin{cases} 0, & \text{если } x^d \in R^d; \\ > 0, & \text{если } x^d \notin R^d. \end{cases} \quad (3.9)$$

т. е. при значениях переменной, соответствующем одному из элементов матрицы дискретных величин, δ_k становится равным нулю, в противоположном случае больше нуля. Таким образом, слагаемое $S_k \delta_k(x^d)$ должно "запечатывать" поверхность ЦФ в интервалах между дискретными значениями переменных. Тому требование хорошо уловляет штрафная функция типа

$$\delta_k(x^d) = \sum_{j \in D} \{ -4q_j (1 - q_j) \} \beta_k,$$

где $q_j = (x_j - z_j^d)/(z_j^u - z_j^d)$; z_j^u , z_j^d – две соседние дискретные величины; $z_j^d \leq x_j \leq z_j^u$; $q_j \geq 0$; $q_j < 1$; x_j – текущее значение независимой переменной.

Рис. 24 показывает поведение β -функции при разных значениях β_k . После введения дополнительного штрафного члена целевая функция (3.7) получит вид

$$F(x, r_k, S_k) = F(x) + r_k \sum_{m=1}^p G[g_m(x)] + S_k \sum_{j \in D} (-4q_j - 4q_j^2) \beta_k, \quad (3.10)$$

где J – индекс дискретных переменных, приводящий заданному множеству индексов D .

Пример использования формулы (3.10) для оптимизации характеристики и элементов контейнеровоза дан в § 5.2.

Какой алгоритм нелинейного программирования использовать при решении конкретной задачи? Критерии однократного алгоритмов могут служить совокупность показателей: пригодность алгоритма для решения широкого круга задач; число необходимых вычислений целевой функции; минимальное время, необходимое для реализации алгоритма в пределах желаемой точности; время

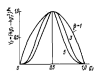


Рис. 24. Характер нормализованной β -функции при изменении β_k .

подготовки задачи. Для пользователя наиболее существенными являются первый и четвертый показатели. Практика показывает, что не существует алгоритмов, пригодных для любого типа задач. В то же время многочисленными экспериментами установлена возможность широкого использования алгоритма „Лаузал“ для решения оптимизационных задач проектирования. Т. Шуль [57] рекомендует при решении задач использовать сразу несколько алгоритмов, осуществляя переход от одного к другому путем замены в основной программе обращения к подпрограмме.

§ 3.3. Примой метод последовательного блоксowego поиска „Лаузал“

Главной особенностью метода „Лаузал“ является сведение задачи многомерной оптимизации к последовательному одномерному поиску вдоль сопряженных направлений.

Доказано [55], что для поиска экстремума имерной квадратичной цептной функции достаточно только один раз перебрать все ее в сопряженных направлениях. Используется следующая теорема: если при начальной точке x^0 в направлении \vec{S}_1 минимум квадратичной функции $f(x)$ находится над некоторой точкой $x^{(a)}$ и если при начальной точке $x^{(1)} \neq x^0$ в том же направлении \vec{S}_1 минимум $f(x)$ находится над точкой $x^{(b)} < x^{(a)}$, то при $x^{(b)} < x^{(a)}$ направление $\vec{S}_1 = \vec{x}(b) - \vec{x}(a)$ содержит то.

Сущность метода „Лаузал“ легко понять из рис. 25. Из начальной точки x_0 по выбранному первому направлению \vec{S}_1 проводится одномерный поиск минимума, т. е. минимизируется $f(\vec{x}_0 + \lambda \vec{S}_1)$ по параметру λ и определяется λ_0^* . Из найденной точки $\vec{x}_1 = \vec{x}_0 + \lambda_0^* \vec{S}_1$ проводим аналогичные действия в направлении, ортогональном первому (на исходном этапе поиска вместо сопряженных направлений используются ортогональные), и получаем точку одномерного оптимума λ_1^* . Далее заменим одно из исходных направлений \vec{S}_1 на $\vec{S}_2 = \vec{x}_1 - \vec{x}_0 - \vec{S}_1$, а другое оставляем без изменения. Проводим одномерный поиск вдоль нового направления \vec{S}_2 , находим точку одномерного оптимума λ_2^* . Повторяя указанную заслугу и т. д., находим направление \vec{S}_l , сопряженное с направлением \vec{S}_1 , одномерный минимум M на этом направлении является одновременно минимумом квадратичной функции.

Для одномерного поиска взаимо-направления используется метод ДСК-„Лаузал“ (рис. 26). Выбирается точка x_0 и вычисляется значение ЦФ $f(x_0)$ (точка 0), делается шаг Δx в взаимо-направлении и вычисляется значение $f(x_0 + \Delta x)$ (точка 1). Если $f(x_0 + \Delta x) > f(x_0)$, то вместо Δx берется $-\Delta x$. Если $f_{m+1} < f_m$ удаляют Δx и

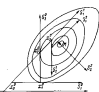


Рис. 25. К методу „Лаузал“

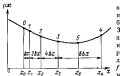


Рис. 26. Одномерный поиск минимума на методе "Лаунга" Ландау-Смита-Комп и Наркет

вспомогательному значению $f(x)$. Сначала проводят квадратичную аппроксимацию и проверку, пока не будет выполнено требуемое условие.

Прямой метод последовательного бiseкцийного поиска "Лаунга" [51] модифицирован Б. А. Цыбенко и И. В. Стрепасовским в 1979 г. [55]. Алгоритм реализован в виде пакета программ на алгоритмическом языке FORTRAN-IV*. В пакете входят шесть подпрограмм: B4PERB, B4NAFR, B4PROV, B4PEN, FUN и MAIN. Все они, кроме FUN и MAIN, осуществляют собственно процесс поиска оптимума, включая стандартными для любой задачи, должны быть скомпилированы и постоянно храниться во внешней памяти ЭВМ. Программы-организаторы являются только программами: FUN – вычисляющая значение целевой функции, и MAIN – управляющие входом и выходом. Эти подпрограммы обновляются при изменении задачи проектирования.

Блоки подпрограммы MAIN содержат такие управляющие переменные:

- N** – число независимых переменных;
- IPRIN** – признак печати: если IPRIN = 1, то производится печать промежуточных измерений, иначе печатаются только конечный результат;
- ICONV** – количество уменьшений коэффициента штрафа R; не должно быть более двух;
- NPRIV** – размерность массива данных (входящих) пользователя, передаваемых в подпрограмму FUN;
- STEPS** – начальное значение шага по независимым переменным;
- FACTR** – значение коэффициента штрафа; рекомендуется от 0,01 до 0,001;
- ACC** – требуемая точность поиска экстремума; рекомендуемое значение $10^{-1} \text{-- } 10^{-6}$.

Для работы подпрограммы MAIN необходимо организовать вход в нее четырех групп данных, времена передачи входа не имеет значения, он лишь должен соответствовать операторам READ (с. 151, перф. 20, 23,

*См. прил. 1. Читателя, испытывающие затруднения в чтении ФОРТРАН при разборе программ должны воспользоваться консультантской программиста высококвалифицированного специалиста.

30, 35). Первая группа – это управляющие переменные. Вторая группа – координаты начальной точки $x = (x_1, \dots, x_N)$, т. е. независимые переменные. Третья группа – масштабированные координаты начальной точки $\bar{x} = (\bar{x}_1, \dots, \bar{x}_N)$. Четвертая группа – исходные данные для расчета ЦФ, наилучшим образом имеющие оптимальный масштаб, размерность которого указывается (с запасом) в управляющих переменных NPRIV. После входа каждой группы данных предусмотряна контрольный вывод (см. прил. 1).

Об оптимизационном процессе обмен информацией между подпрограммами осуществляется через оператор COMMON (THREE), записанный на перфокартах под номерами 17 в MAIN, 2 в B4PERB, 5 в B4NAFR, 4 в FUN – который остается неизменным при решении любой задачи. Результаты расчета на подпрограмме FUN в MAIN для возможности их дальнейшего вывода на печать передаются через оператор COMMON, спредзаписанный пользователем. В конце MAIN пользователь организует вывод результатов решения оптимизационной задачи в виде, удобном для чтения.

Все переменные нужно привести к единицам (масштабировать), путем деления на координаты начальной точки или преподаваемый оптимальный вектор независимых переменных: $\bar{x}(I) = x(I)/\bar{x}(I)$, $\bar{x}(I) = 1$, где $\bar{x}(I)$ – вектор независимых переменных; $\bar{x}(I)$ – координаты начальной точки.

В конце MAIN перед печатью результата необходимо ввести обратное преобразование независимых переменных.

Аналогичные преобразования, но обратного порядка, необходимо выполнять в подпрограмме вычисления ЦФ FUN. Подпрограмма FUN ($X, F, NP, REST, NC$) содержит следующие формальные параметры:

- X – масштабированный нормализованный вектор независимых переменных;
- F – этому оператору присваивается вычисляемое значение ЦФ;
- NP – размерность вектора независимых переменных;
- $REST$ – контигуатор массива ограничений;
- NC – количество (размерность) ограничений.

Исходные данные из готовой подпрограммы в FUN, вычисляющую значение целевой функции, передаются через оператор COMMON, определенный пользователем (операторы 0004 и 0005 на с. 151, 152).

Форморганизация штрафной добавки к ЦФ осуществляется с помощью специальной стандартной подпрограммы B4PEN.

Выражение ограничений пространства независимых переменных формулируются таким образом, чтобы в случае их выполнения значение ограничения становилось положительным, а при нарушении – отрицательным. Желательно эти выражения нормировать, чтобы абсолютные значения всех ограничений были примерно одного порядка при отклонении ограничениями величиной на одинаковый процент.

Пусть $a \leq x \leq b$. Полобное двустороннее ограничение необходимо разбить на две следующим образом:

$$x - a \geq 0, \quad b - x \geq 0$$

и пронормировать их:

$$REST(I) = \frac{x - a}{b - a} \geq 0, \quad REST(I) = \frac{b - x}{b - a} \geq 0.$$

Таким образом значения ограничений будут меняться от 1 до 0 в допустимой области и от 0 до -1 (приблизительно) в исключительной. Окончательно штрафная функция формируется так:

```
DO 400 JJ = 1, NC  
400 CALL B4PEN (F, REST (JJ), FACTR),
```

где F – текущее значение целевой функции, исключающее штрафную добавку в случае нарушения ограничения; $REST (JJ)$ – выражение или переменные, определяющие значение ограничений задачи; $FACTR$ – коэффициент штрафа R .

Индексаторы F , $REST \times FACTR$ не зависят от типа задачи. Таким образом, в подпрограмме FUN позиции обязательно стоять следующие операторы:

```
SUBROUTINE FUN (X, F, NV, REST, NC)  
DIMENTION X(NV), REST (NC)  
DIMENTION . . . . . (ПОЛЬЗОВАТЕЛЯ)  
COMMON (THREE) N, NFUNG, NDRV, IPRF,  
FACTR, IPBIN, FX, PY, ICNV, STERS, ACC  
COMMON . . . . . (ПОЛЬЗОВАТЕЛЯ)  
DOUBLE PRECISION F  
DO 50 #1 = 1, NV  
50# X(I) = X(I) + XM (I)
```

Операторы, вычитывающие значение ЦФ и присваивающие их квантитатору F , а также ограничения области проектирования, задаваемых в виде неравенств, – все эти операторы предъявляются в произвольном порядке элементам массива REST:

```
DO 400 I = 1, NC  
400 CALL B4PEN (F, REST (I), FACTR)  
DO 501 I = 1, NV *  
501 X(I) = X(I)/XM (I)  
RETURN  
END
```

Распечатка программы в решении тестовой задачи приведена в прилож. I.

Поскольку в общем случае этот метод поиска приводит к локальному минимуму, необходимо процесс оптимизации привести несколько раз с различными начальными точками. Их количество должно превышать число независимых переменных не менее, чем в три раза. Координаты исходных точек выбираются внутри ограничений по траектории планирования эксперимента или по таблице последовательных чисел. Полученные в каждом задании значения ЦФ пользователь сравнивает и обирает теоретический оптимум.

В качестве теста решается задача „Размеры подводки наибольшего объема“.

Поэтому необходимо отправить посылку прямоугольной формы при следующих требованиях. Длина ее не должна превышать 42 см, а сумма

ширины и параметра сечения, перпендикулярного к продольной оси, не более 72 см. Какими размеры посылают максимального объема?

Обозначим: X_1 – длина, X_2 – ширина, X_3 – высота кормушки, V – ее объем.

Целевая функция

$$V = X_1 X_2 X_3 + \text{так.}$$

Ограничения

$$X_1 < 42, X_2 < 42, X_3 < 42,$$

$$X_1 + 2X_2 + 2X_3 \leq 72,$$

$$X_1 > 0, X_2 > 0, X_3 > 0.$$

Последние три условия накладываются на независимые переменные число из физических соображений и называются условием непротиворечивости переменных.

Задача решена подпрограммой FUN (см. с. 151). Результат на распечатке (см. с. 152): опробовано 9 сопряженных направлений, выполнено 263 оценки ЦФ (приводится также распечатки только для одной исходной точки. Всего их было двадцать), объем посылки составляет 3456,5182 см³; $X_1 = 34$; $X_2 = 12$; $X_3 = 12$ см.

5.3.4. Пример оптимизации формы корпуса методом сопряженных направлений „Лаутман“

Для сухогрузного судна водоизмещением 25 000 т и скоростью 15 уз, требуется найти такое соотношение главных размеров и подводной части и коэффициента волнорезащения, при которых минимизировалась бы потребная мощность при ходе за регуляром подъема силы при балласте. Будем рассматривать изменение ЦФ (мощности главного двигателя) над пространством проектирования, образуемом безразмерными характеристиками форм: удлинением L/B , отношением ширине к осадке B/T и коэффициентом полноты волнорезащения δ .

Пример носит чисто иллюстративный характер, и поэтому считается, что диаграммы Планеля для определения боксировочной мощности, формулы Карлсона для КПД панта и диаграммы Харварда для коэффициентов волнения адекватны реальности⁶.

Учитываются такие ограничения: а) длина между перпендикулярами не может быть ниже величины $(2\sqrt{D} + 5)r_p^{0,5,1}$ по условиям приемлемой мореходности; б) осадка должна удерживаться в пределах от 0,035L до 12 м по условиям определения съемки и зрокола в каналах; в) при коэффициентах нагрузки панта r_p больших 2,6, переходит в плувнистовому судну для сохранения достаточно высокого КПД панта;

⁶Частично известно, что разные типы судов соответствуют специальными ограничениям во всех способах работы волнорезов и эффективной мощности, обеспечивающим дальнейшее улучшение.

Название и краткое описание	Однородные и дифференциальные	Биогенные и радиогенные (изотопные)
Несущие минералы	$D = 25 \text{ 000 л/с}$; $\tau = 15 \text{ годы}$; $R = 55 \text{ 400 м}^2$	MAIN: 0034; 0013 FLIN: 0094 FLUN: 0011; 0015 - 0011 FLUN: 0021
Несущие минералы	$4 < \frac{L}{d} < 8,5$; $2 < \frac{R}{d} < 4$; $0,5 < \delta < 0,95$	
Несущие минералы	$L = (2D)(1 + 5t^{1/3})$	
Радиоизотопы	$12 > \frac{1,03\delta L^2 R}{13t^2} > 0,015 t$	MAIN: 0022; 0023 LAPAP: 0005
Конгломераты осадочных	$\Psi_R = \frac{13t^2 R}{L}$	LAPAP: 0007
Древесина	$L = \sqrt{\frac{R}{d}} \sqrt{\left(\frac{L}{d}\right)^2 \frac{d}{R}}$	LAPAP: 0004
Окисляемые спирты	$\Psi = \kappa_F \sqrt{\frac{R}{L}}$	LAPAP: 0008
Коррозионные флюиды	$c_1 = f(\varphi_1, \varphi_2)$	LAPAP: 0010
Флюиды магматических пород	$\frac{D}{[1-\lambda]} = \frac{14,7}{C_p} \sqrt{\psi(1+k)}, \quad k = 0,05 \text{ при стационарных},$ $\psi_1 = 0,259 + 1,335 t - 0,1 \frac{L}{R} - 0,09 \frac{L}{R} + 0,01 \frac{L}{P} \text{ при контроле}$ $\psi_2 = 0,1533 t - 0,05 \text{ при новых},$ $f_k = (0,25 \cdot 1,77 - 0,1334) \cdot (4,59 \frac{R}{L} - 0,248) \text{ при стационарных},$ $f_1 = 0,8 (1 - 0,25 \kappa_F) \Psi_1 \text{ при новых},$	LAPAP: 0010; 0014
Коррозионные растворы	$f_2 = 0,8 (1 - 0,25 \kappa_F) \Psi_2 \text{ при новых}$	LAPAP: 0013; 0014
Коэффициенты корреляции		
MAIN: 0034; 0013	$\alpha_p = 2,6 \frac{\psi(1-\varphi)}{(1-\varphi)^2} \text{ при стационарных},$ $\alpha_p = 1,3 \frac{\psi(1-\varphi)}{(1-\varphi)^2} \text{ при новых},$ $\varphi_p = \frac{1-\sqrt{1+\eta}}{1+\sqrt{1+\eta}}$	LAPAP: 0014; 0026 LAPAP: 0018
FLIN: 0094	$N_{p,11} = 0,716 \left[\frac{1+4000(t-0,0010)}{1+3935+51000t^3-364665t^4/157,3} \right] \frac{[570(1-\varphi)p]^{1/2}}{14,67\varphi(1-t)}$ $\varphi_{p,1} = (0,74 - 39,35 + 51000t^3 - 364665t^4/157,3)$ $\frac{\Delta N_{p,11}}{N_{p,11}} = \frac{323}{56400} \frac{(1-0,05 \frac{R}{L})R}{(1+\Delta \eta_{p,1})R}$ $H = \frac{L^2 - \frac{R}{L}}{L^2} (\delta + 0,1)$	LAPAP: 0029; 0020 LAPAP: 0032 LAPAP: 0033 LAPAP: 0034 LAPAP: 0035
FLUN: 0011; 0015	$F_{p,11,11} = 15000 \frac{0,295(0,7 + 0,026 \frac{L}{R})}{1,03 + 0,434 \ln(35 - \delta)}$ $\frac{L}{R} : \frac{R}{T} : \delta; N_p P_{\text{МАС}}$	LAPAP: 0016 MAIN: 0041; 0045

* Для расчета коэффициентов корреляции предполагается, что $R = \frac{\lambda_R}{\lambda_L}$ — не факториальная величина.

$$\varphi_p = 0,8 - \frac{0,73}{\frac{R}{L} + 0,1} \cdot \tan \delta \lambda = 1,19(1 - \eta \varphi) \sqrt{\frac{R}{L}} + \sqrt{\frac{R(1-\eta \varphi)}{L}}$$

** Величина коэффициента корреляции $\eta \varphi = -\frac{\lambda_R}{\lambda_L}$.

г) ограничения метода расчета балансировочной мощности по Папмеля: удилище корпуса не должно выходить за пределы 4–8,5, отношение шагов к садке 2–5, коэффициент вододвижимости 0,5–0,95.

МПИ в данном случае состоит из зависимостей, необходимых для определения потребной мощности главного двигателя при ходе на регулярной волне высотой 1,2 м, когда встречные волны еще не затапают носовой части палубы; для расчета дополнительного сопротивления на волнении использовано приближенная формула Дэвидсона. Последовательность расчета показана в табл. 8. Эта математическая модель содержит с оптимизационным блоком, использующим метод „Лаузит“ (см. прил. 1). Полученная таким образом программа для решения поставленной задачи состоит из четырех подпрограмм.

1. MAIN – управляющая подпрограмма (см. с. 151). Обеспечивает ввод и вывод информации пользователя, осуществляет запуск математической модели судна (подпрограмму FUN) и блока оптимизации (подпрограмму СЕРВБ).

2. FUN – математическая модель судна (блок критерия эффективности и технический блок). В данной задаче критерий эффективности является потребная мощность для хода на волнении. Программа работает с масштабированными независимыми переменными, осуществляет запуск расчетов мощности (подпрограмму L4PAP), штрафной функции (подпрограмму С4Н4Н), обеспечивает соблюдение ограничений за трехмерное пространство проектирования (СоДРОВ).

3. L4PAP – программа логического блока (входит в подпрограмму FUN). Рассчитывает мощность по диаграмме Папмеля, которая извлечена в виде двумерного массива, вычисляет дополнительную мощность из волнения и полную мощность ГД.

4. L4XY – стандартная подпрограмма интерполяции в двумерном массиве. Обеспечивает расчет коэффициента Папмеля $c_x = f(\bar{x}_1, \bar{y}_1)$, который занесен в массив с шагом по относительной скорости $\Delta \bar{v} = 0,1$ и коэффициенту остроты $\Delta \bar{\phi}_x = 0,1$.

В табл. 8 приводится результат оптимизации. Процесс начинается из 10 разных начальных точек. Дополнительным критерием служит масса металлического корпуса P_{met} .

В какой мере можно доверять результатам машинной оптимизации? Ответ на этот вопрос можно получить лишь после анализа достоверности оптимизации. Она зависит от ряда факторов. Основные из них – недостаточность математической модели, приближенность исходных данных, ошибки вычислений.

5.4.1. Достоверность результатов

Адекватность любым, или соответствие рассчитываемых показателей основным свойствам судна их реальным значениям, зависит, в первую очередь, от полноты учета в ММС факторов, определяющих реальное поведение судна. Разумеется, учесть все факторы невозможно хотя бы потому, что не все они нам известны. Во-вторых, не всегда возможно формально описать взаимосвязи даже известных факторов. В-третьих, загромождение модели взаимосвязями малозначимыми факторами может лишить ее работоспособности. Для определения достоверности моделей при проектировании сложных сооружений не существует других реальных подходов да исключением априорной статистической оценки результатов расчетов по применяемым на практике образцам. Это проверка звено условия, поскольку нет оснований считать все существующие практические решения оптимальными. Поэтому более надежной является аналогичная проверка при моделировании отдельных свойств судна: заложенные в ММС алгоритмы расчетов главных элементов, мощности, нагрузки и т. д. должны приводить к математическому ожиданию этих факторов во существующих судах при использовании линейизированных исходных данных. Такой подход реализован в модели затрат на строительство судов, рассмотренной выше в § 2.5: совместность ожидаемых стоимости, полученных из модели, с фактическими затратами, которые имеют место при постройке. Практическая модель затрат сооружения на основе дисперсионного анализа статистических данных по строительной стоимости готовых судов, сгруппированных по назначению, типам ЗУ, размерам (дизайну).

В качестве инструмента аппроксимации чаще всего используют способы наименьших квадратов или наибольшего правдоподобия [18]. Весьма эффективен разработанный институтом кибернетики АН УССР способ аппроксимации характеристик сложных систем на основе самоподгонки моделей с использованием метода группового учета аргументов (МГУА). Он позволяет оптимизировать модель по адекватности, подбирая не только вид уравнений, регрессии, но и перечень наиболее существенных факторов для описываемого явления в условиях ограниченной информации.

Метод характеризуется большой трудоемкостью, но и высокой результативностью. Его работоспособность подтверждена повторным открытием известных физических законов на основе самоорганизации моделей соответствующих физических явлений [20].

Модели затрат на строительство судов, используемые в начальных стадиях проектирования, характеризуются среднеквадратичными погрешностями* около 15%, что соответствует относительной ошибкам 45% при надежности 99,7% или 30% при надежности 95%. Ясно, что снизить стоимость судов в целях планирования при такой погрешности невозможно. Совсем другое дело – использование указанной модели для со-поставляемой оценки вариантов решений, когда сравниваются математически окончательные стоимости. Погрешность математического созидания статистической выборки за порядок ниже погрешности самих случайных величин. Возможные ошибки математического созидания снижаются до 3% при надежности 0,997 и до 5% при надежности 0,99.

Погрешность исходных данных – другая причина недостоверности результатов оптимизации. При расчетах экономической ЦФ исходными данными служат основные элементы судов в явном виде условий задачи. Ошибки в определении элементов и характеристик судов (водоизмещение, мощность 39, скорость, грузоподъемность и т. д.) зависят от деятельности проектных проработок. В техническом проекте возможные ошибки в определении элементов с надежностью ошибки 99% не превышают одного процента [30], на стадии технического предложениий они могут возрастать до 8%, при этом надежность оценок снижается до 0,90. При определении характеристики $\mu(t)$ условий приходится пользоваться категориями прогнозирования, для которых величины возможных погрешностей значительно больше, а иногда вообще не поддаются подсчету. Возможные относительные ошибки в оценке проектируемого изделия складываются из двух компонентов: $\epsilon = \epsilon_1(H) + \rho(t)\epsilon_1(H)$, где $\epsilon_1(H)$ – относительная ошибка, обусловленная недостаточной полнотой учета факторов, определяющих прогноз. Эта ошибка может быть сведена к минимуму специальными методами, в частности МИУА, поэтому она является устремленной ошибкой; $\epsilon_2(H)$ – ошибка, связанная с вероятной природой проектируемого феномена (неустраненная ошибка); $\rho(t)$ – коэффициент изменения ошибки с увеличением горизонта (глубины ретроспекции и перспективы прогноза); H – надежность ошибки (ее доверительная вероятность).

Устранимая относительная ошибка уменьшается с увеличением объема используемой информации об изучаемом явлении. Ее нормальная величина 10–15%. Использование методов самоорганизации модели прог-

*Для выборки, состоящей из n точек $(x_{ij}, y_{ij}, \dots, z_{ij})$, характеризующих функции, определяемые m факторами, среднеквадратичные ошибки экономики составят:

$$\sigma^2 = \sqrt{\frac{\sum (y_{ij} - \bar{y}_j)^2}{(m-1) - n}},$$

где \bar{y}_j меняется от 1 до m ; от 1 до n . Объем выборки должен быть таким, чтобы $n > 5m$ [30].

ноза по МИУА может понизить ошибку прогноза до 5% при надежности 0,95.

Неустраненная относительная ошибка зависит от разброса характеристики феномена относительно среднего значения в ретроспективный период. Коэффициент уменьшения этой ошибки при удалении срока прогноза и глубине ретроспекции определяется по формуле

$$\rho(t) = \sqrt{1 + \frac{1}{T_0} + \frac{(2t + T_0 - 1)^2}{T_0^2 - 1}},$$

где t – срок (перспектива) прогнозирования; T_0 – глубина ретроспекции, т. е. длина анализируемого временного горизонта.

Ясно, что удаление перспективы прогноза существенно увеличивает неустраненную ошибку, в то время как увеличение глубины временного анализа сплошь помогает даже. Достоверность прогнозов при одинаковых эффективностях судов Невисока – относительные ошибки могут составлять от нескольких десятков до сотен процентов (рис. 27). Такое коблагодатливое положение с экономической оценкой является причиной непрекращающихся попыток разработки некономических критериев оптимальности, связанных с натуральными показателями судна [6, 32].

Важное оптимальное решение проверяется на устойчивость при возможных изменениях внешней ситуации в экономической области (изменение цен, строительных затрат и т. д.). Только по результатам такой проверки можно судить о приемлемости полученных оптимальных результатов.

Ошибка вычислений – третья причина недостоверности оптимизации. Они накапливаются в цепи многочисленных расчетов ММС и могут составлять значительную величину. Эти ошибки обусловлены логарифмическими округлениями, усечениями и физическими ошибками, связанными с невозможностью абсолютных расчетов, инженерными относительными отношениями к рабочим, нормативными и т. д. Погрешности первых двух видов определяются по правилам теории ошибок и могут быть сведены к

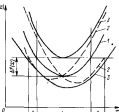


Рис. 27. Влияние недостоверности проектируемых затрат на положение кривых [6].

1 – математическое созидание ЦФ; 2 – калибровочные значения ЦФ при различных исходных данных; 3 – сглаживающие наблюдения оценок; 4 – кривые для оценки влияния времени; 5 – оценка оптимальной точки; 6 – погрешность ЦФ и его экстремума;

максимуму за счет увеличения точности записи цифр. Правда, в этом нет необходимости, поскольку ошибки из-за недостаточности модели и недостоверности исходных данных на несколько порядков превышают погрешность из-за усечения и округления данных.

Физические ошибки могут самым невероятным образомискажут результат. Поэтому весь процесс вычислений при отладке программ целесообразно проводить поэтапно с обязательным анализом промежуточных результатов исполнителей расчетов. Как указалось при этом, уменьшение трудоемкости расчетов за счет более обобщенной базы экономии труда и времени, исключает длительный поиск возможных ошибок и часто неизбежное повторение всего цикла работ.

Общая относительная ошибка оптимизации x_{opt} является результатом взаимосвязи ошибок азимутальности ϵ_1 , исходных данных ϵ_x , расчета ϵ_y как трех независимых случайных компонентов вычислений:

$$\epsilon_{opt} = \sqrt{\frac{\epsilon_x^2 + \epsilon_y^2 + \epsilon_z^2}{3}},$$

откуда очевидно, что даже при самой тщательной подготовке ММПС невозможно получить погрешность менее 5%. Практически погрешность оптимизации находится в пределах 5–15%.

5.4.2. Устойчивость решения, чувствительность

Устойчивость оптимума называется свойство экстремума (истинного или условного) ЦФ оставаться под определенной узкой областью независимых переменных при изменениях либо заданных величин, либо параметров, либо формата задачи.

Рассмотрим абсолютную и относительную устойчивость оптимального решения. На рис. 28 приведен график изменения одномерной ЦФ $\Phi(x; L)$, в которой x – независимые переменные, L – заданная величина, принимающая ряд значений L_1, L_2, \dots, L_n . На рис. 28, а представлена устойчивая цепочка функций: с изменением L расчет значение ЦФ, но значение x_{opt} не меняется. На рис. 28, б изображено – решение неустойчиво: с изменением L немонотонно меняются величина ЦФ и меняется положение x_{opt} . Особую неблагоприятность для поиска оптимума накрепость задачи или абсолютная неустойчивость решения, когда засыпь мадью изменения исходных данных соответствуют сильно различающимся оптимальным векторам при почти одинаковых значениях ЦФ. Наконец, рисунок 28, в иллюстрирует относительную устойчивость решения: изменения целевой функции и оптимального значения независимой переменной монотонны, можно проследить закономерность их перемещений с ростом параметра L . С этими видами устойчивости чаще всего приходится иметь дело при оптимизации. В таком случае закон изменения $x(L)$ может быть установлен на основании систематизированного машинного эксперимента. Он используется в дальнейшем для принятия решений.

При неустойчивом оптимуме проектант обязан перейти к другой форме критерия оптимальности или индексировать

математической модели до тех пор, пока не добьется устойчивости.

Чувствительность характеризует направление и скорость изменения характеристик объекта при смещении независимых переменных относительно своего оптимального положения.

Формально определение чувствительности соответствует выражению

$$a\ell_{x_i}^T = \frac{\partial (\ln \gamma)}{\partial (\ln x_i)} = \frac{x_i}{\gamma} \cdot \frac{\partial \gamma}{\partial x_i}, \quad (4.1)$$

где γ – выходная характеристика объекта (например, стоимость, показатель некоторого свойства объекта и т. д.); x_i – управляемые элементы объекта; $a\ell_{x_i}^T$ – эластичность γ по x_i .

В качестве γ могут рассматриваться и оптимизируемые переменные, а роль x_i играть исходные данные, параметры или нормативы.

Частная производная $\partial \gamma / \partial x_i$ называет функцией чувствительности, или коэффициентом влияния переменных x_i на выходную характеристику системы γ . Выражение (4.1) называется коэффициентом эластичности или просто эластичностью γ по x_i . Эластичность тоже характеризует чувствительность функции γ к аргументу x_i и используется в оптимизации для оценки чувствительности ЦФ к независимым переменным. Если при малых изменениях независимых переменных колебания значения ЦФ не

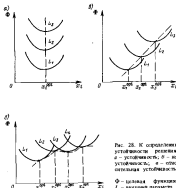


Рис. 28. К определению устойчивости решения:
а – устойчивость; б – неустойчивость; в – относительная устойчивость;

Φ – целевая функция;
 L – заданная параметр

превышает зонгрифтии ее расчета, то данные независимые переменные следует исключить из числа оптимизируемых величин, в противоположном случае их целесообразно оставить для оптимизации.

Хотя и необходимо знать, как зависят функции цели и ограничения от проектных переменных, этого достаточно для сложных систем проектирования. Более важную информацию для проектировщика может составлять производная ЦФ при ненулевых изменениях в системе ограничений:

$$eF_{x_i} \leq \Delta\psi,$$

где ψ — вектор ограничений, которые находятся вблизи своих критических значений или нарушают; при этом относительное изменение ψ должно быть ограничено величиной $\Delta\psi$; x_i — i -я компонента независимых переменных.

Когда некоторых вариантах решений ограничения превосходят допустимые пределы, предполагает наихудшее отыскание оптимального решения, которое не выходит за пределы ограничений за величину $\Delta\psi$. Вполне возможно, что это небольшое отклонение в ограничениях даст заметное улучшение целевой функции. Именно с этим аспектом исследование чувствительности системы определения межсистемных производных (см. § 2.6), т. е. коэффициентов приращения целевой функции F при смене ограничений A :

$$\frac{dF}{dh} = \frac{dx_j}{\partial h_j} \frac{\partial F}{\partial x_j},$$

Другая важная область использования выражения (4.1) — исследование чувствительности замены факторов / и B :

$$\frac{dh/k}{dF/dh} = \frac{eh/c}{dh} \cdot \frac{dF}{dh}$$

$$d_j/f/d = \left[\frac{\partial F/\partial h}{\partial F/\partial d_j} \right] \cdot \frac{dF}{dh},$$

где c называет относительный дифференциал.

При экспериментировании с ММС на ЭВМ определение указанных производных проводится численными методами на основе параметрического анализа или многократной оптимизации при систематически изменяющихся входящих данных (заданных величин, параметров, коэффициентов) и ограничениях задачи.

Знание эластичности ЦФ позволяет просто определить диапазон разумных значений независимых переменных из соотношения

$$eF_{x_i} = \frac{eF}{eF_{x_i}},$$

где eF — неравенство определения ЦФ; eF_{x_i} — ее эластичность

Таблица 9. Результат оптимизаций параметров функции грани по некоторым показателям

Номер исходных точек	1	2	3	4	5	6	7	8	9	10
Координаты исходных точек:										
δ	0,650	0,714	0,600	0,700	0,800	0,950	0,550	0,850	0,540	0,550
L/B	5,0	9,0	5,0	6,0	8,0	10,0	5,0	5,0	10,0	10,0
δ/T	3,0	5,0	2,5	3,0	4,0	5,0	3,0	2,5	5,0	2,5
Несколько изученных функций:	9338	9151	10312	8480	7462	8259	8014	18260	8307	7576
Коэффициент относительного наклона:										
ψ	0,347	0,532	0,379	0,370	0,339	0,331	0,359	0,580	0,340	0,340
L/B	6,8	6,9	7,1	7,1	6,6	7,2	7,2	6,7	7,1	7,1
H/T	4,2	4,1	4,0	4,0	4,1	4,1	4,0	4,2	4,0	4,0
Значение целевой функции	9332	9554	9338	9339	9336	9601	9539	9588	9586	9586
N_{11}/N_{12} , квт	6,940	6,939	6,946	6,933	6,939	6,909	6,912	6,935	6,934	6,934
Масса коробки $P_{11..16}$, кг	1,3	5	11	27	12	12	21	6	7	7
Число производных ограничений, наклонов	156	112	246	543	258	360	359	232	212	181
Коэффициенты наклонов										

то независимому переменному δ : Φ_{δ} — диапазон оптимальности переменного δ с центром δ^{opt} .

Таким образом, если погрешность расчета целевой функции составляет 10%, а эластичность равна 0,8, то рациональные (лежащие в окрестности теоретического оптимума) значения соответствующей переменной меняются от $0,675\delta_{opt}$ до $1,125\delta_{opt}$. Это значит, что в примере с коэффициентом общей полноты (табл. 9) все значения δ от 0,500 до 0,640 разнообразны в смысле минимума мощности. Значение диапазона рациональных значений позволяет выбирать то, которое удовлетворяет дополнительным критериям в данной задаче. Например, учитывая высокую технологичность более полного корпуса, следует выбирать коэффициент общей полноты равным 0,640, а не 0,570, как это показывает точка теоретического оптимума.

Проверка чувствительности может быть выполнена в параметрической форме, когда одна из независимых переменных систематически меняет свое значение, тогда как остальные остаются постоянными, либо в форме оптимизации. В последнем случае одну из независимых переменных вводят в качестве параметра в состав заданных величин и придают ей ряд значений, одновременно оптимизируя остальные независимые переменные.

В приводимом примере (см. прилож. 3) проверяется влияние δ на целевую функцию $N_{\text{дл}}$. Для этого в программе «Проверка чувствительности по δ » введен по сравнению с программой «Оптимизация параметров формы корпуса» только один новый оператор под номером 0020:

0020 READ J, DELTA,

который выводит δ за цикл. Поэтому общее число операторов по сравнению с программой «Оптимизация параметров формы корпуса» (см. с. 151) стало за единицу больше, соответственно на 1 возросли все номера операторов после 0019 (т. е. 0020 statt 0021 и т. д.). Кроме того, изменены логарифмы операторов 0010 (теперь 3 заданных величины вместо двух) и 0026 (2 независимых переменных вместо 3). В табл. 10 приведены результаты проверки чувствительности мощности при ходе на регулярном трехбалльном колесе. Надбавка к мощности определялась по формуле Дживсона. Во второй строке таблицы приведены значения Φ_{δ} , соответствующий различиям при $L/B = 7,0$ и $B/T = 4,1$, а в строках ниже — эти же самые оптимальные значения L/B и B/T к минимальной мощности. Эти цифры, воспроизведенные на рис. 29, свидетельствуют о допустимости использования принципа суперпозиции для схемы чувствительности вместо повторной оптимизации: характер зависимости мощности от δ одинаков в обоих случаях. Почти одинаковы диапазоны оптимальных значений, найденный по результату проверки чувствительности. Попытка, что возможная ошибка определения мощности составляет 10%, порог 29, оговаривает зону оптимальных значений δ_{opt} от 0,50 до 0,68. Примерно то же дает эластичность Φ_{δ} коэффициенту общей полноты, равная 1,325 (рис. 29, б). Последняя цифра свидетельствует о высокой чувствительности потребной мощности к коэффициенту полноты судна. Этот коэффициент (или связанный с ним коэффици-

Таблица 10. Результаты проверки чувствительности $\Phi_{\delta} \times \delta$ при $L/B = 7,0$; $B/T = 4,1$

δ	$\Phi_{\delta} \times \delta$	L/B	B/T	Φ_{δ}	L/B	B/T	Φ_{δ}	L/B
Заданная δ	0,500	0,550	0,600	0,650	0,700	0,750	0,800	0,850
Найденное значение $\Phi_{\delta} \times \delta$	6,299	5,743	5,123	6,710	6,643	7,137	8,992	9,182
Найденное значение Φ_{δ}								
L/B	6,259	6,810	7,446	8,020	8,500	9,598	9,516	10,000
B/T	4,570	4,150	3,840	3,560	3,320	3,130	2,250	2,300
Заданное $\Phi_{\delta} \times \delta$	5,781	5,547	5,371	5,712	6,671	6,662	7,316	8,127
Заданное Φ_{δ}								
Число предельных стартовых значений δ	21	6	5	6	6	4	13	7
Количество единиц $\Phi_{\delta} \times \delta$ отличных от оптимального	3,57	5,98	8,04	145	11,0	142	24,3	132
Максимальное значение $\Phi_{\delta} \times \delta$	6,563	6,422	6,104	6,692	6,498	6,491	6,391	6,647
Относительное $\Phi_{\delta} \times \delta$								
δ	-0,33	-0,27*	-0,20	-0,14	-0,07	0	0,14	0,20
δ	-0,17	-0,19	-0,38	-0,15	-0,06	0	0,09	0,17

сигнатурной полинома ψ) следует обязательно включать в список независимых переменных при оптимизации формы судна?

Подобным образом проверяется чувствительность ЦФ к оставшимся независимым переменным и устанавливаются их зоны оптимальности.

Можно ли распространить полученные выводы об оптимальности $b, L/B$ и B/T на первые суда другого водоизмещения? Ответ на этот вопрос может дать проверка устойчивости оптимума. Для этого следует просчитать всю задачу при несколько систематически изменяющихся значениях водоизмещения, а затем Их скорости, если нас интересует устойчивость решения по v_g . В прилож. 4 приведена программа проверки устойчивости решения по водоизмещению. По сравнению с программой „Оптимизация параметров формы корпуса“ (см. с. 151) здесь имеется новый оператор 0020 READ 2, D, имитирующий водоизмещение на цикл, а также изменен оператор 0014 (он оставляет изменяемой только скорость v_g). На с. 149 дана распечатка результатов для одного цикла проверки устойчивости при $D = 31000$. Подиаграммы результаты проверки устойчивости приведены на рис. 30. Неустойчивость по b и L/B при вариациях водоизмещения позволяет выявить бескрайность. Но монотонное изменение критерия эффективности N и абсолютная устойчивость коэффициента остроты по Падему $\psi_n = 1068/L$ свидетельствуют о допустимости использования принятой модели судна для целей оптимизации форм.

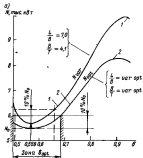


Рис. 29. Оценка устойчивости и интенсивности N по b : а – проверка устойчивости методом суперпозиции (1) в некой оптимизационной схеме независимых переменных (2); б – интенсивность мощности по коэффициенту общей остроты

* Рассмотренный выше пример упрощен в целях обоснования методики оптимизации. Учит условий устойчивости, неподвижности, удифферентованы, и открыты в большой степени склонны к гиперстабильности форм судов. Приведен быстрому вектору независимых переменных.

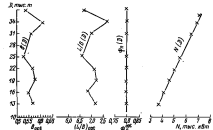


Рис. 30. Оценка устойчивости оптимума независимых переменных по водоизмещению в задаче „Оптимизация формы корпуса“

Если же эти результаты оптимизации нас не удовлетворяют из-за неустойчивости решения, то необходимо изменить модель (применяя новые способы расчета ходкости), а возможно, и испробовать новый тип критерия оптимальности. Уточнение математической модели идет по пути более полного описания свойств судна и процесса его эксплуатации. Поэтому каждому типу судна предполагается специализированная модель, использующая методы расчетов ходкости, прочности, вместимости, масс и т. д., учитывающие особенности данного типа. С этой точки зрения вполне оправдана разработка индивидуальных математических моделей для разных типов судов [11, 25, 32, 40, 42, 47, 48, 53]. Одним из наиболее надежных путей повышения точности расчета стоящих систем является разделение их на большое число отдельных составляющих с разработкой собственных расчетных алгоритмов для каждой из них*. Примером такого подхода может служить алгоритм расчета массы порожнего сухогрузового судна [1, 42]. Степень детализации модели должна соответствовать стадии разработки проекта. При решении внешней задачи проектирования, когда входные параметры задаются величинами приближенно, использование сложных моделей неэффективно, так как в сочетании с развитыми моделями

*Возможно отождествление суммы ψ слагаемых, имеющих одинаковую размерность, с результатом, выраженным формулой [10]:

$$\psi_{\text{р}} = \sum_i d_i \psi_i / \sqrt{n},$$

где d_i – доля i -го слагаемого в сумме; ψ_i – это относительная погрешность. Поэтому разбиение суммы на большое число слагаемых даже при граничных ошибках вносит к скажем относительную погрешность суммы.

прочности и общими нормативами задана о пополнении флага может стать неподходящей для серийной ЭВМ, и, следовательно, потребуются особые технические условия для ее реализации. На стадии разработки технического предложения при решении внутренней задачи второго уровня также возможен применение комбинированной модели, отображающей интегральными характеристиками судна: это определяется некой достоверностью расчета приведенных затрат (они в несколько раз ниже точности определения элементов нагрузки судна).

Самое важное, однако, заключается в том, что все расчеты по оптимизации в конечном счете направлены не на получение абсолютных цифр (которые всегда не будут соответствовать конкретным условиям строительства и эксплуатации), а на поиск закономерности изменения эффективности и специфических свойств судна, интересующих заказчика, при изменении сочетаний основных элементов и характеристик судна. Если оптимум по такому показателю не устойчив, то вполне глубокие промышленные алгоритмы расчета расходов по судну для выявления возможного неустойчивости аппроксимации существуют налажены в каком-то звене расчета. Стоимостные показатели рассчитываются по весьма приближенным зависимостям, к тому же они имеют континуальный характер, существенно зависят от местных условий, правильности определения шага. Поэтому неустойчивость оптимума при колебаниях стоимостей должна стимулировать использование квантитативных (натуральных или безразмерных) показателей.

Как должны соединяться оптимальные результаты с элементаминого типа судна, подсчитанными по традиционным формулам? Практика использования оптимизации показывает, что для судов традиционного типа цифры должны быть блоки.

В качестве иллюстрации рассмотрим выраженный П. Колевым [23] пример оптимизации элементов надводного судна с традиционной для 70-х гг. архитектурой, осадкой до 10 м и водоизмещением около 58 000 т. Масса корпуса расчитывается по формуле Норвежского Бюро Верitas, остальные составляющие нагрузки — по формулам, подобным [1], заложено расчленение по методике Симплекса-Дьюсона, приведенные затраты — в соответствии с методикой ЦНИИМФ [24]. Оптимальные значения независимых переменных, найденные способом Розенброка [51], такие: $L/B = 6,158$, $B/T = 3,3$, $\delta = 0,831$, $r_s = 12,62$ уз, что соответствует длине 204 м при числе Фруда 0,145.

Статистическая формула длины $(2\sqrt{B+5})\sqrt{r_s}$ дает 191,5 м, что при указанной скорости соответствует числу Фруда, равному 0,150. Составим коэффициент общей плотности, полученные по статистическим формулам и в результате оптимизации, получим:

$$\begin{aligned} 1,05 - 1,4Fr &\pm 0,06, \dots, 0,840 \pm 0,06 \quad (\text{В. В. Азак}) \\ (0,645 \pm 0,01)Fr^{1/3} &\dots, 0,837 \pm 0,02 \quad (\text{В. В. Азак}) \\ 1,09 - 1,68Fr &\pm 0,05 \dots, 0,838 \pm 0,05 \quad (\text{Л. М. Ногин}) \\ 0,88 - 0,2Fr &+ 0,03 (Fr + \end{aligned}$$

$$+ 0,6)\left(\frac{L}{B}\right) - 5) \pm 0,05 \dots, 0,864 \pm 0,05 \quad (\text{автор})$$

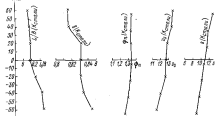
$$1 - 1,25\left(\frac{B}{L} + 1\right)Fr \dots, 0,782 \pm 0,03 \quad (\text{Тальфер})$$

$$1 - \frac{0,50}{1 + 100\exp(-22Fr)} \dots, 0,893 \pm 0,01 \quad (\text{автор})$$

$$\delta_{opt} \text{ по методу Розенброка} \dots, 0,831 \pm 0,10 \quad (\text{П. Н. Колев})$$

На рис. 31 приведены результаты проверки устойчивости оптимального вектора ($L/B = 6,185$, $B/T = 3,3$, $\delta = 0,831$, $r_s = 12,62$) при замене цен стали и оборудования. Заметна слабая устойчивость (L/B)_{opt} и δ_{opt} , но монотонное изменение ЦФ и абсолютная устойчивость интегрированного параметра формы $\psi_s = 10B/L$ позволяют использовать результат для выбора элементов судна. П. Колев ничего не говорит о чувствительности ЦФ к

изменению %



б) %

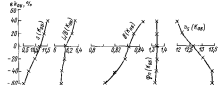


Рис. 31. Проверка устойчивости оптимальных элементов надводного судна водоизмещением 20 000 т при изменениях цен на сталь (а) и оборудование (б).

L/B — удельная длина; δ — коэффициент плавности водоизмещения; ψ — скорость судна; ψ_s — производительные затраты оптимального судна.

к независимым переменным и о достоверности полученного решения. Но использование им более ранней, чем в [24], формулы ЦНИИМФ свидетельствует о том, что точность расчета не выше оговоренной в § 2.4, поэтому можно принять доверительный интервал ЦФ равным $\pm 10\%$ и значимость ее по б. 1,1. Даже такая сравнительно высокая точность позволяет считать оптимальными все б. от 0,75 до 0,90. Подобные картины наблюдается при рассмотрении диапазона оптимальности остальных независимых переменных. Систематическое использование оптимизационных программ показывает, что они не дают качественно новых решений для традиционных типов судов. Это дает основание считать рекомендации теории проектирования для этих судов оптимизационными вполне практической супостроиной. И наоборот, оптимизационные методы играют важную роль в оценке тенденций изменения характеристик судов при внесении особых внешних условий или ограничений, а также при создании совершенно новых типов судов.

Изначательное значение имеет проверка устойчивости решения, она должна производиться во всем диапазоне и нормативами, используемыми в математической модели. Эта проверка позволяет ответить на ряд важных вопросов, в частности:

в пределах каких изменений исходных данных получение оптимальное решение практически не меняет своего значения?

какое влияние оказывают существующие тенденции в изменении строительных и эксплуатационных расценок на оптимальные характеристики судов? (Отвечая на этот вопрос, можно прогнозировать тенденции изменения основных элементов новых судов);

как зависит оптимальное решение от выбора того или иного критерия оптимизации?

Ответы на эти вопросы первое важнее определения самих оптимальных величин независимых переменных.

5.5.1. Пример оптимизации элементов накренного судна

Пусть требуется обосновать характеристики и размерения накренного судна, призванного обеспечивать известный объем перевозок из конкретной линии эксплуатации [42]. В число заданных величин входят: объем грузовых перевозок из линии Q^E , протяженность линейного рейса L , или энергетическая установка $J_{\text{эл}}$, параметры маневра, при которых должны обеспечиваться нормальная эксплуатация судна. Среди нормативных данных находятся геометрические характеристики грузовых единиц, заходы их между собой и набором судна; нормы грузовых работ и функции грузоподъемности; эксплуатационный период судна в функции плавания; нормы времени стоянок вне грузовых операций $t'_{\text{ст}}$; все параметры строительства стоимости и эксплуатационных расходов судна, определяемые методикой заказчика [24]. Параметрами задачи являются грузоподъемность P_f и число судов из линии N_g , а также скорость судна, определяемая в функции P_f и N_g , измеряется в уровнях теории проектирования, стоимость груза. Критерием оптимизации служат узловые приходящие затраты e^E по всем группам судов N_g , обеспечивающие выполнение поставленной транспортной задачи:

$$e^E = \left[\frac{E + \delta B + E_{\text{зат}}^E}{Q} \right] N_g,$$

где $N_g = Q^E / Q$.

Система ограниченный включает: ограничения осадки ($T \leq T_b$), парусы ($B \leq B_s$) по эксплуатационным и производственным условиям; ограничения параметров работы ходоками, обусловленные принятым методом расчета (используется способ Холтрея, обеспечивающий наиболее широкий диапазон вариирования параметров ходоки); функциональные ограничения, позволяющие обеспечивать необходимый уровень качества проектируемого судна. В частности, такими ограничениями служат следующие:

Префект изменения начальной метacentрической высоты проектируемого судна $b_{x,y} \leq h \leq b_{x,y}^*$, где $b_{x,y}^*$ – начальная метacentрическая высота судна, учитывающая потерю остойчивости при затоплении симметричного отсека в средней части судна и необходимый остаток для сохранения прямого положения судна после аварии, $b_{x,y}^*$ – критическое значение метacentрической высоты, при котором еще сохраняется плавная ходка судна.

Определенный задача плавучести κ , обеспечивающей сохранение из плаву судна с заданными элементами при затоплении среднего отсека относительной длиной

$$\hat{t}_3 = \frac{\left(\frac{H}{T} - 1\right) k_0 a - k b}{\left(\frac{H}{T} - 1\right) + \beta k_{10} \mu_b},$$

где H/T — относительная высота борта из условия вместимости судна; k_0 — коэффициент раз渲а борта в надводной части судна; a, b, β — коэффициенты полной судна; k_{10} , μ_b — редукционный коэффициент площади мидель-шпангоута и коэффициент проницаемости затапливаемого отсека.

Полное соответствие объемов в основном корпусе и палубах судна размещаемой нам массы чистого груза (условия вместимости по объемам и площадям).

Определение грузоподъемности вариантов совместно с расчетом массы балласта

$$P_f = k_B B T = \sum P_i,$$

где в P_f включается масса балласта, необходимого для обеспечения положительной начальной остойчивости при заданной схеме размещения груза по палубам. При этом масса балласта определяется как

$$P_B = \frac{\sum \limits_{i=1}^{m-2} P_i \hat{t}_{fi} + P_{f1} \hat{t}_{f1}^{\text{стаб}} + P_{f2} \hat{t}_{f2}^{\text{стаб}} - \hat{t}_{f3} (D_{\text{наг}} + P_f)}{\hat{t}_{f3} - \hat{t}_{fB}},$$

где $\sum P_i \hat{t}_{fi}$ — сумма статических моментов масс судна без балласта и чистого груза; $\hat{t}_{f1}^{\text{стаб}}, \hat{t}_{f2}^{\text{стаб}}, \hat{t}_{f3}$ — относительные эпюны центра тяжести судна, груза на верхней палубе, балласта, груза в основном корпусе. Статы нагрузки определяют по формулам гл. 2.

Оптимизация проводится методом ДСК — «Лаузи», описанным в гл. 3. Задача может решаться в разных модификациях и зависимость от числа принимаемых независимых переменных, будем решать задачу смешанного типа (содержащую элементы линейной и внутренней задач проектирования) — отыскание оптимального сочетания двух характеристик (P_f и r_p) и четырех элементов судна (L, B, T, S) для судна, участкового в группе численностью N_c (примем от 4 до 11 судов), которая обеспечивает годовой грузопоток $Q^E = 750,000$ т на пакет протяженности $L = 16,000$ миль.

Грузоподъемность P_f и число судов N_c будем рассматривать как параметры, причем N_c может быть только целым. С этими параметрами связана скорость:

$$N_c = Q^E / Q; C = \frac{2P_f \hat{t}_{f1}^{\text{стаб}} T_2}{\frac{L}{4P_f N_{\text{наг}}} + \frac{\hat{t}_{f2}^{\text{стаб}}}{M} + \hat{t}_{f3}^{\text{стаб}}},$$

где Q — годовая провозспособность судна; $\hat{t}_{f1}^{\text{стаб}}$ — коэффициент использования грузоподъемности; k_p — коэффициент потерянной скорости по метеоусловиям; $\hat{t}_{f3}^{\text{стаб}}$ — время стоянок вне грузовых операций, T_2 — эксплуатационный период судна; M — норма грузовых работ, т/сут, и, следовательно,

$$r_p = \frac{Q^E L}{\left[2T_2 \hat{t}_{f1}^{\text{стаб}} N_c - Q^E \left(\frac{4P_f \hat{t}_{f1}^{\text{стаб}}}{M} + \hat{t}_{f3}^{\text{стаб}} \right) \right] 24k_p}.$$

Теперь есть возможность построить кривые $r_p = f(P_f)$, $N_c = \text{параметр}$. На каждой из этих кривых (рис. 32) в нескольких точках $J, 2, 3, R, q$ при заданных $P_f \neq r_p$ способом ДСК — «Лаузи» определяют оптимальные независимые переменные L, B, T, S и вычисляют соответствующие им минимальные значения приведенных затрат $\hat{t}_{f1}^{\text{стаб}}$, которые зависят на экране постоянного числа судов. Получим таким образом «лобзик» приведенной стоимости перевозок — кривые $x = f(P_f, N_c = \text{параметр})$ со значениями приведенных затрат $\hat{t}_{f1}^{\text{стаб}}$ в точках $J = \text{п}, r, k, p, q$. Теперь рассматриваем все пять этих точек, легко построить кривые приведенных затрат и отыскать на них точки N_c с минимальным значением $\hat{t}_{f1}^{\text{стаб}}$. Создав все восемь (по пять кривых $N_c = \text{const}$) таких точек, получим возможность определения оптимальных элементов (точка соответствует набор главных размерений, грузоподъемности и скорости проектируемого судна при фиксированном числе судов N_c , дальности плавания L , типе ЗУ и объеме годовых перевозок на линии Q^E). Все указанные построения проводятся на экране компьютера или вычерчиваются на бумаге с помощью

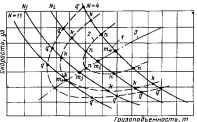
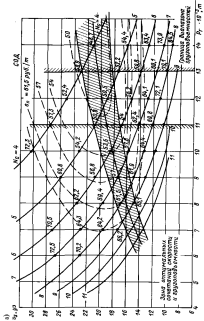


Рис. 32. Построение «лобзик» и кривых затрат.
 J — «лобзик»; 2 — кривые $x = f(P_f, N_c = \text{параметр})$; 3 — математическое выражение затрат оптимальных судов.



Зависимость коэффициента
извлечения супертекущести
от градиента магнитного поля

б)

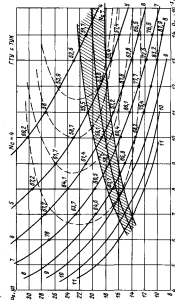


Рис. 13. Скорость наивысшего тока в функции градиента магнитного поля и величины судна во взрыве при $Q = 750000$ кгт.
 $\Delta = 16000$ кн/м: а – сплошнодорожные суда; б – сплошнодорожные суда с полуподводным кильом.

графиком строимся. Полученные таким образом графики для судов с двумя типами ЗУ (СОД и ГТУ) приведены на рис. 33, а, б. Полученные зависимости легко интерпретировать в зависимости $\sigma^2 = f(L, N)$ (рисунок), показанную на рис. 34, которая позволяет оценить критические значения грузоподъемности проектируемого судна для заданных σ^2 , L , J_{32} и N ; в частности, по рис. 34 можно судить, что оптимальные в заданных условиях ($\sigma^2 = 750\text{ 000 т}$, $L = 16\text{ 000 мдн}$, $J_{32} = \text{СОД}$) грузоподъемность лежит между 14 000 т, а критические ее значения (какие которых начатся быстрым ростом приведенных затрат) находятся в районе 11–12 тыс. т. Увеличение грузоподъемности свыше 14 тыс. т в силу масштабного эффекта сооружений не должно ухудшать экономические показатели судна, но измеряется оно ограничением по погонной массе груза. При значительном росте погонной массы (например, при перевозках пакетированного леса и шин) грузоподъемность современного пассажирского судна может значительно возрасти и достичь 50 000 т.

5.5.2. Оптимизация характеристик и элементов контейнеровоза методом дискретно-непрерывного наивыгоднейшего программирования

При неограниченном объеме перевозок Q_0 , погонной массе пакетов $L = 10\text{ 000 мдн}$ и средней массе гружевого контейнера $q_k = 12$ т, требуется оптимизировать характеристики (контейнероподъемность N_k и

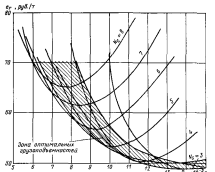


Рис. 34. Зависимость приведенных затрат от грузоподъемности и количества судов на пакетах

скорость v_f) к сплошные элементы (L , B , H , S) контейнеровоза, следующие ограничения: $0,55 \leq L \leq 0,8$; $5 \leq \frac{L}{B} \leq 8$; $15 \leq v_f \leq 33,8$; $T \leq 11$ м; $B \leq 32,3$; $K_{\text{наг}} \geq 1$; $\theta_{\text{зак}} > 60^\circ$; $I_{\text{пак}} \geq 0,2$ м; $\theta_{\text{пак}} > 30^\circ$; $0,31 \leq k \leq k_{\text{ макс}}$, где $K_{\text{наг}}$ — критерий погоды для контейнеровоза по правилам Регистра; $\theta_{\text{зак}}$ — угол заката диаграммы статической остойчивости; $I_{\text{пак}}$; $\theta_{\text{пак}}$ — максимальное плечо и соответствующий ему угол крена на диаграмме статической остойчивости; $k_{\text{ макс}}$ — верхняя граница метапаратической высоты гружено контейнеровоза по условиям плавной качки.

Независимые переменные L , B и H дискретны. Принимаются такие их значения, которые с заданной относительной погрешностью (в данной задаче ±0,001) обеспечивают целое число контейнеров по длине, ширине и высоте трюма. Применительно к контейнеровозам задача оптимизации имеет следующий вид: минимизировать приведенные затраты $F(x)$, $x \in E^k$ при ограничениях $x_i \geq 0$, $i \in I$ и при условии $N = \{n_1, n_2, \dots, n_k\} = -\{\frac{x}{q_k}\}$, где $F(x) = \Pi F_i$; $i \in R$ — множество индексов ограничений; v — число независимых переменных величин задачи; $E \in R^k$ — допустимое подмножество дискретных переменных (длина L , ширина B , высота борта H); $x \in R^k$ — допустимое подмножество непрерывных переменных (осадка T , коэффициент водонепроницаемости δ , скорость v_f).

Одно из подмножеств может быть путем. Оптимум задачи находит минимизация функции (3.10). Коэффициенты r_x , S_k и δ_k оказывают большое влияние на функцию $P(x)$. Неудачный выбор одного из них способен повлечь недужные затраты машинного времени. По опыту эксплуатации алгоритм можно рекомендовать такие значения коэффициентов: $r_k = 5 \cdot 10^{-3}$; $r_{k+1} = 0,05r_k$; $S_k = 0,8$; $S_{k+1} = 5S_k$; $\delta_k = 1,5$; $\delta_{k+1} = 0,6\delta_k$.

Структурная схема алгоритма (рис. 35) предусматривает использование метода "Лазутин" для оптимизации в K этапов с прогрессивным изменением указанных коэффициентов от этапа к этапу. Причем r_k и δ_k уменьшаются, а S_k возрастает. Смысл эксплуатации программы показывает, что для получения приемлемых результатов достаточно пройти пять этапов. Если к этому времени величины x^0 не достигают дискретных значений, то структурная схема предусматривает организацию нескольких последовательных этапов с новым настройством коэффициентов r_k , S_k , δ_k .

Для сокращения времени оптимизации применен комбинированный метод вычисления плеч диаграммы статической остойчивости: они вычисляются по теоретическому чертежу пакета при изменениях главных размерений и коэффициентов поплыты более чем на 2% их предыдущих значений. Теоретический чертеж генерируется в зависимости от скорости судна. На стадии сходимости, когда коэффициенты вектора независимых переменных меняются в пределах 0,1–0,001%, достаточно осуществить контроль остойчивости по начальной метапаратической высоте.

*ИМ и инструкция пользователя рассчитываются кафедрой проектирования судов Нижегородского кораблестроительного института.

Указанный комбинированный метод позволяет достичь точности вычислений значений диаграммы остойчивости в пределах $\pm 0,1\%$ за всех этапах оптимизации при затратах максимального времени около полутора часов вместо одиннадцати. Ограничение на количество ярусов палубных контейнеров не вводится, их число определяется в зависимости от остойчивости судна. При выборе элементов конструкции выполняются расчеты нагрузки (в том числе балласта, если он необходим), мощности главного двигателя, определяются положение и количество поплавковых и продольных переборок, длина минимального отклонения, балласта, кормовой настройки и пр. Результаты оптимизации приведены в табл. 11. Первая строка таблицы свидетельствует о неудачном наборе коэффициента r_k на первом этапе оптимизации. При задании начального значения $r_k = 0,005$ максимальное время уменьшается примерно на 15%.

Примененный здесь способ оптимизации, теоретические основы которого изложены в § 3.3, является универсальным в том смысле, что он пригоден как для решения внешней задачи проектирования (второй

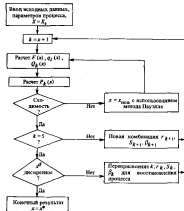


Рис. 35. Структурная схема дискретно-интегральной оптимизации за В. И. Сарановым

Таблица 11. Результат решения внешней задачи проектирования контейнеровоза (верхний уровень). Заданные величины: $x_0 = 12$; $Z = 10\,000$ миль (2,1 тыс. — интеграл); Координаты низшей точки (x_{01}) : $L = 167,8$; $B = 26,8$ м; $T = 9,8$ м; $H = 17,1$ м; $S = 0,80$; $r_{12} = 19,4$ град. Относительные: $0,96 < \delta < 0,98$; $0 < L/B < 0,8$; $0 < S/L < 0,02$; $0 < T/H < 0,02$; $K_{\text{бал}} = 1$; $\delta_{\text{ макс}} > 80^\circ$; $\theta_{\text{ макс}} > 30^\circ$; $T < 11$ м; $B < 32,3$ м; $0,31 < k < k_{\text{ макс}}$; $K_{\text{бал}} = 1$; $\delta_{\text{ макс}} > 80^\circ$; $\theta_{\text{ макс}} > 30^\circ$. Критерий оптимальности: производство затрат F при

Но- мер этапа	Колич- ство ярусов	Значе- ние $F(\delta)$ $P_{\text{бал}}$	Значения независимых переменных в конце этапа оптимизации					
			L , м	B , м	T , м	H , м	δ	
1	2682	37,59	161,3	23,38	8,76	19,88	0,626	21,00
2	1333	24,98	188,2	29,52	9,20	19,15	0,664	21,40
3	231	23,63	202,2	30,93	9,65	20,12	0,678	22,84
4	438	23,59	201,9	30,85	9,61	20,48	0,668	22,81
5	58	23,59	201,9	30,95	9,61	20,41	0,666	22,00

Но- мер этапа	Количество рядов контейнеров и трюмов			Объем капа- ци- ти- ко- сти контей- ни- ров N_p	Масса бас- сель- ства, $P_{\text{бал}}$	r_k	δ_k	θ_k
	по длине	по ширине	по вы- соте					
1	—	—	—	640	1830	2,6	0,0	2,17
2	18,626	8,579	7,517	1398	44	0,1	0,17	1,80
3	20,000	9,860	7,882	1743	295	$5 \cdot 10^{-2}$	0,765	1,51
4	20,000	8,899	8,800	1789	118	$2 \cdot 10^{-2}$	3,44	1,26
5	19,999	8,899	8,800	1710	119	$1 \cdot 10^{-1}$	15,3	1,05

Примечание. Весло: склонок 5222. Время счета на ЭВМ БС-1000 91 мес. Заданные остойчивостью оптимального судна: $A_{\text{стаб}} = 2,89$; $k = 0,31$; $\theta_{\text{ макс}} = 70^\circ$; $T_{\text{ макс}} = 99$ м; $\delta_{\text{ макс}} = 45^\circ$.

её этап: уточнение технического задания на разработку проекта), так и для решения внутренней (верхней ее уровня: определение оптимальных элементов судна). Все зависит от содержания подпрограммы FUN (см. с. 151, 152). В данной задаче подпрограмма FUN включает все необходимые для указанных этапов расчеты: определяются главные размерения, нагрузка судна, координаты центра тяжести, производятся растстановка переборок, рассчитываются остойчивость, утифераентировка судна в разных условиях нагрузки, проверяются размещение груза в трюмах. Соответственно увеличивается по сравнению с приведенным в прилож. 2 объем подпрограммы FUN. Она теперь содержит 12560 операторов (аместо 29 и 32). Некоторые изменения (см. указаны § 3.3) внесены в подпрограмму MAIN. В оставшемся пакете "Лаухз" по сравнению с приток. 1 не изменился.

При современном темпе развития электронно-вычислительной техники знания в области эксплуатации и применения ЭВМ быстро устаревают. Поэтому невозможно создавать высокую профессиональную компетентность и в области ЭВМ, и в сфере все усложняющегося проектирования судов. Выход из этой конфликтной ситуации для проектанта может быть только один — в пользу совершенствования своей основной специальности. Нужно использовать все преимущества ЭВМ, но вдаваясь в техническую сторону их применения. Вследствие быстрого совершенствования вычислительной техники возможности ЭВМ постоянно расширяются, и проектант, непосредственно связанный с машинными расчетами, может находить все новые и новые аспекты применения ЭВМ. В то же время нужно помнить, что возможности ЭВМ, как в любой машине, соподчинены человеком, ограничены. Поэтому и не следует представать себе некий управляемый с помощью кнопок мир, где судно может быть полностью спроектировано только благодаря электронному колдовству машины без участия человека. В предыдущих главах показано, насколько разнообразия и сложен процесс проектирования, и он может быть успешно осуществлен только при активном взаимодействии человека с ЭВМ. Рассматривая эту проблему, Т. Дженнерер использует определение „проектирование и постройка кораблей с помощью ЭВМ” расширяя их как помощь, как инструмент проектирования [11]. Таким образом, ответственность за результаты проектной деятельности, за эффективность использования систем проектирования лежит на пользователе системы. Следовательно, он должен знать возможности поступающей в распоряжение проектантов автоматизированной системы и совершенствовать методы решения своих задач, используя эти возможности, однако не пытаясь овладеть премудростями проектирования самих САПР. Последнее относится к компетенции специалистов новой профессиональной организации: системных и прикладных программистов, специалистов в области вычислительной техники и автоматизированных информационных систем.

Участие специалистов новых профессий в проектировании судов и необходимость подного их взаимодействия с проектантами обуславливает освоение САПР в течение достаточно длительного периода, в котором накапливается некоторое улучшение численности проекто-конструкторских подразделений. Дополнительные затраты составляют при этом значительную долю тех выгод, которые обеспечивают САПР благодаря более обоснованному и координированному принятию решений, сокращению длительности проектирования, повышение роли творческого элемента в процессе проектирования. Итогом внедрения САПР должны явиться

значительная экономия трудовых ресурсов в сфере проекто-конструкторских работ.

Непременным условием получения наилучших результатов проектирования является диалоговый режим работы проектанта с ЭВМ. Поэтому все большее место в составе технических средств САПР должны занимать подсистемы информационной обработки информации, особенно графической, обеспечивающие автоматизацию анализа и синтеза проекто-конструкторских решений с участием проектанта.

Обобщенная схема взаимодействия проектанта с вычислительной техникой в рамках САПР выглядит следующим образом.

- Процесс взаимодействия начинают с постановки задачи, включая процедуру формирования информационных массивов, необходимых для отыскания альтернативных решений. В общем случае эффективное выполнение этой процедуры осуществляется человеком, хотя при проектировании сооружений с хорошим отработанным процессом проектирования эту задачу можно возложить на вычислительную технику.

- Выполняются логические, вычислительные и графические процедуры. Опыт показывает, что эти работы более эффективно выполняют вычислительная техника.

- На последней стадии проводится анализ полученной в ходе проектирования информации, синтез альтернатив и выбор решения поставленной задачи. Эта стадия предполагает преимущественное использование человеческих способностей.

Взаимодействие проектанта с вычислительной техникой при выполнении указанных этапов возможно в двух вариантах. Во-первых, проектант дает инструкции вычислительной технике и проверяет полученные результаты. Это так называемая парадигма организаций взаимодействия, реализуемая в диалоговом режиме. Во-вторых, проводится динамическая смена человеческой и машинной деятельности во ходе решения поставленной задачи. Этот процесс характеризуется полуподелкой организаций взаимодействия и является одним из способов усиления адаптивных свойств САПР, реализуемых в диалоговом режиме.

Большое значение для системного проектирования имеет автоматизированное БД, в состав которых включаются совокупности массивов информации, обеспечивающие реализацию процесса проектирования, языковые средства описания и минимизирования данных, а также средства организации, хранения, накопления и доступа к этим данным. Организация такого банка возможна на специалиста по проектированию САПР, тогда как содержание массивов информации целиком определяется главным конструктором.

При формировании БД важную роль играет достоверность исходных данных по компонентирующему оборудованию. В сознании судна принимают участие логисты, а ворота сотни предприятий. Как отмечено выше, их документация применяет нововку проекто-конструкторской документации по судну. Автоматическая регистрация всех вносимых в контингент изменений и соответствующее изграждение документов проектанта — необходимая мера для обеспечения высокого качества проекта. Поэтому подключение контрагентов к БД остается

одной из насущных задач развития автоматизированных систем проектирования.

Внедрение САПР позволяет разделить весь процесс проектирования судна, от замысла до постройки, на два этапа вместо традиционных четырех (см. гл. 11): системное и конструкторское проектирование.

Первое из них⁴, занимая всего около четверти общей трудоемкости разработки проекта, является залогом много реализаций в формировании облика будущего судна, определении его свойств и эффективности. На этом этапе проектирования наиболее существенна роль АБД, который может использоваться как в составе САПР, так и в традиционных системах проектирования, обеспечивая подкодификацию процесса накопления, хранения данных и доступа к ним во всех режимах использования вычислительной техники.

В конструкторском проектировании выполняется детализация проектных решений до состояния построенной документации (изготовления чертежей, кабельных журналов, заказных ведомостей и пр.) судна — сооружения, состоящего из сотен тысяч деталей и компонуемых модулей, десятков тысяч метров трубопроводов и кабелей и пр. Классы и скорости конструкторского проектирования определяют уровень организации труда на постройке судна. На этом этапе наиболее существенна автоматизация графических работ и изготовления электронной документации (специфический, чертежный, ведомостной, заказы и пр.).

Практика использования САПР свидетельствует о целесообразности разделения этих двух крупных этапов проектирования путем создания с одной стороны ППР "Проектирование судна", а с другой – интегрированной автоматизированной системы конструкторского проектирования и технологической подготовки производства.

По окончании системного проектирования проект проходит всестороннее согласование и утверждение, после чего приступают ко второму этапу – конструкторскому проектированию и постройке судна. Такая организация проектирования позволяет прямым образом оценить его предпочтительность.

L'ESPRESSO

ПАКЕТ ПРИКЛАДНИХ ПРОГРАММ „ПАУЛПР“ Із підтримкою 1-12 замінників оператора, управлінням будівель Земтці

*Системное проектирование охватывает предпроектные, эксплуатационные и часть технологического проектирования; конструирование – основная часть технологического, рабочего проектирования, эксплуатационную, архитектурную и корпоративную документацию.

138

卷之三

240

卷之三

142

8881	GO TO 21
8882	19 PUFF
8883	CABD
8884	98 TO 21
8885	C TONES & REENT MEET 38 X PC.
8886	2H LP (T-PW) 79,12,28
8887	IV FADS
8888	FADS
8889	GADS
8890	GADS
8891	GO TO 21
8892	

PAGE 8885

PROLOG FORTRAN IV W,H,Z,A	DATA	DATE	13/05/85	TICK	8885,8886
8893	28 PUFF	DATA	13/05/85		2882
8894	DC-LP				2883
					2884
					2885
					2886
					2887
					2888
					2889
					288A
					288B
					288C
					288D
					288E
					288F
					288G
					288H
					288I
					288J
					288K
					288L
					288M
					288N
					288O
					288P
					288Q
					288R
					288S
					288T
					288U
					288V
					288W
					288X
					288Y
					288Z

8101	IF 1886/12,12,22	DATA	13/05/85	TICK	8885,8886
8102	15P PUFF 11/12,12,22				2882
					2883
					2884
					2885
					2886
					2887
					2888
					2889
					288A
					288B
					288C
					288D
					288E
					288F
					288G
					288H
					288I
					288J
					288K
					288L
					288M
					288N
					288O
					288P
					288Q
					288R
					288S
					288T
					288U
					288V
					288W
					288X
					288Y
					288Z
8103	IF 1887/12,12,22	DATA	13/05/85	TICK	8885,8886
8104	20,25,28 JUL,8				2882
8105	24 JULY/1987/12,12,22				2883
8106	28 JULY/1987/12,12,22				2884
8107	C 2886 ACT CROSSOVER = RPTOPAT. DATA/PC/NRUE,				2885
					2886
					2887
					2888
					2889
					288A
					288B
					288C
					288D
					288E
					288F
					288G
					288H
					288I
					288J
					288K
					288L
					288M
					288N
					288O
					288P
					288Q
					288R
					288S
					288T
					288U
					288V
					288W
					288X
					288Y
					288Z
8108	C 28 JULY/1987/12,12,22	DATA	13/05/85	TICK	8885,8886
8109	28 JULY/1987/12,12,22				2882
8110	32 JULY/1987/12,12,22				2883
8111	C 32 JULY/1987/12,12,22				2884
8112	36 JULY/1987/12,12,22				2885
8113	C 36 JULY/1987/12,12,22				2886
8114	40 JULY/1987/12,12,22				2887
8115	C 40 JULY/1987/12,12,22				2888
8116	44 JULY/1987/12,12,22				2889
8117	C 44 JULY/1987/12,12,22				288A
8118	48 JULY/1987/12,12,22				288B
8119	C 48 JULY/1987/12,12,22				288C
8120	52 JULY/1987/12,12,22				288D
8121	C 52 JULY/1987/12,12,22				288E
					288F
					288G
					288H
					288I
					288J
					288K
					288L
					288M
					288N
					288O
					288P
					288Q
					288R
					288S
					288T
					288U
					288V
					288W
					288X
					288Y
					288Z
8122	C 56 JULY/1987/12,12,22				2882
8123	60 JULY/1987/12,12,22				2883
8124	C 60 JULY/1987/12,12,22				2884
8125	64 JULY/1987/12,12,22				2885
8126	C 64 JULY/1987/12,12,22				2886
8127	68 JULY/1987/12,12,22				2887
8128	C 68 JULY/1987/12,12,22				2888
8129	72 JULY/1987/12,12,22				2889
8130	C 72 JULY/1987/12,12,22				288A
8131	76 JULY/1987/12,12,22				288B
8132	C 76 JULY/1987/12,12,22				288C
8133	80 JULY/1987/12,12,22				288D
8134	C 80 JULY/1987/12,12,22				288E
8135	84 JULY/1987/12,12,22				288F
8136	C 84 JULY/1987/12,12,22				288G
8137	88 JULY/1987/12,12,22				288H
8138	C 88 JULY/1987/12,12,22				288I
8139	92 JULY/1987/12,12,22				288J
8140	C 92 JULY/1987/12,12,22				288K
8141	96 JULY/1987/12,12,22				288L
8142	C 96 JULY/1987/12,12,22				288M
8143	100 JULY/1987/12,12,22				288N
8144	C 100 JULY/1987/12,12,22				288O
8145	104 JULY/1987/12,12,22				288P
8146	C 104 JULY/1987/12,12,22				288Q
8147	108 JULY/1987/12,12,22				288R
8148	C 108 JULY/1987/12,12,22				288S
8149	112 JULY/1987/12,12,22				288T
8150	C 112 JULY/1987/12,12,22				288U
8151	116 JULY/1987/12,12,22				288V
8152	C 116 JULY/1987/12,12,22				288W
8153	120 JULY/1987/12,12,22				288X
8154	C 120 JULY/1987/12,12,22				288Y
8155	124 JULY/1987/12,12,22				288Z
8156	C 124 JULY/1987/12,12,22				2882
8157	128 JULY/1987/12,12,22				2883
8158	C 128 JULY/1987/12,12,22				2884
8159	132 JULY/1987/12,12,22				2885
8160	C 132 JULY/1987/12,12,22				2886
8161	136 JULY/1987/12,12,22				2887
8162	C 136 JULY/1987/12,12,22				2888
8163	140 JULY/1987/12,12,22				2889
8164	C 140 JULY/1987/12,12,22				288A
8165	144 JULY/1987/12,12,22				288B
8166	C 144 JULY/1987/12,12,22				288C
8167	148 JULY/1987/12,12,22				288D
8168	C 148 JULY/1987/12,12,22				288E
8169	152 JULY/1987/12,12,22				288F
8170	C 152 JULY/1987/12,12,22				288G
8171	156 JULY/1987/12,12,22				288H
8172	C 156 JULY/1987/12,12,22				288I
8173	160 JULY/1987/12,12,22				288J
8174	C 160 JULY/1987/12,12,22				288K
8175	164 JULY/1987/12,12,22				288L
8176	C 164 JULY/1987/12,12,22				288M
8177	168 JULY/1987/12,12,22				288N
8178	C 168 JULY/1987/12,12,22				288O
8179	172 JULY/1987/12,12,22				288P
8180	C 172 JULY/1987/12,12,22				288Q
8181	176 JULY/1987/12,12,22				288R
8182	C 176 JULY/1987/12,12,22				288S
8183	180 JULY/1987/12,12,22				288T
8184	C 180 JULY/1987/12,12,22				288U
8185	184 JULY/1987/12,12,22				288V
8186	C 184 JULY/1987/12,12,22				288W
8187	188 JULY/1987/12,12,22				288X
8188	C 188 JULY/1987/12,12,22				288Y
8189	192 JULY/1987/12,12,22				288Z
8190	C 192 JULY/1987/12,12,22				2882
8191	196 JULY/1987/12,12,22				2883
8192	C 196 JULY/1987/12,12,22				2884
8193	200 JULY/1987/12,12,22				2885
8194	C 200 JULY/1987/12,12,22				2886
8195	204 JULY/1987/12,12,22				2887
8196	C 204 JULY/1987/12,12,22				2888
8197	208 JULY/1987/12,12,22				2889
8198	C 208 JULY/1987/12,12,22				288A
8199	212 JULY/1987/12,12,22				288B
8200	C 212 JULY/1987/12,12,22				288C
8201	216 JULY/1987/12,12,22				288D
8202	C 216 JULY/1987/12,12,22				288E
8203	220 JULY/1987/12,12,22				288F
8204	C 220 JULY/1987/12,12,22				288G
8205	224 JULY/1987/12,12,22				

ВЫСОКОБЮДЖЕТНАЯ ПЕЧАТЬ ДЛЯ ПРОГРАММЫ «ЛАУЧПЛ» ПРИ РЕВЕННИИ ЭДАЧИ О МАКСИМАЛЬНОМ ПОДЪЕМЕ ПОСЫПКИ

111

图 3 EPICURE 1 ECONe 2 EPIAURE 3 STEPHAN, LARSEN-4 FACT
AGCn=11880±60
MCBURNIE TOWER
±1.1888 ±0.411888 ±0.411888 ±0.411888

TANDEM ULRICH		9999999999999999	9999999999999999
0	2	-0.9999999999999999	0.9999999999999999
1	59	-0.2199999999999999	0.4199999999999999
2	64	-0.2499999999999999	0.4899999999999999
3	97	-0.2499999999999999	0.4899999999999999
TOTAL ANNUAL WICHTIGESTE NEUROSYNAPSE			
4	319	-0.2499999999999999	0.4899999999999999
ACCESO ORGANICA		1.94666621	2.19282051
ACCESO ORGANICA		1.94666621	2.19282051
TOTAL ANNUAL WICHTIGESTE NEUROSYNAPSE			
5	139	-0.2499999999999999	0.4899999999999999
ACCESO ORGANICA		1.94666621	2.19282051
TOTAL ANNUAL WICHTIGESTE NEUROSYNAPSE			

ПОКА ЗВЕЗДЫ СКАЗАЛИ МИ НЮАНСЫ БЫТЬ НАДАТЬ,

6 159 -0,34886421493520 04 1,0150192 2,3885648
ПОКА ЗВЕЗДЫ СКАЗАЛИ МИ НЮАНСЫ БЫТЬ НАДАТЬ,

9 150 -0,34886421493520 04 1,0150192 2,3885648

6 175 -0,34886421493520 04 1,0150192 2,3885648

ПОКА ЗВЕЗДЫ СКАЗАЛИ МИ НЮАНСЫ БЫТЬ НАДАТЬ,

Примечание 2

ПРОГРАММА „ОПТИМИЗАЦИЯ ПАРАМЕТРОВ ФОРМЫ КОРПУСА“

MAIN

1. Инициализация коэффициентов, начальных значений и т.д.
2. Вызов подпрограммы оптимизации.

ОС ВС РЕЗУЛЬТАТЫ 36-07-79 MAIN 36-07-79 ПАРМЫ ОПТИМИЗАЦИЯ ОСНОВНЫХ ПАРАМЕТРОВ

3601 5 Инициализация коэффициентов, начальных значений и т.д.
3602 6 Вызов подпрограммы оптимизации.

3603 7 Оптимизация коэффициентов, начальных значений и т.д.
3604 8 Проверка оценки.

3605 9 Проверка оценки.

3606 10 Проверка оценки.

3607 11 Проверка оценки.

3608 12 Проверка оценки.

3609 13 Проверка оценки.

3610 14 Проверка оценки.

3611 15 Проверка оценки.

3612 16 Проверка оценки.

3613 17 Проверка оценки.

Приложение 3

```

        0010 READ 1, B, T
        0011 READ 2, D, V
        0012 READ 3, DELTA
        0013 READ 4, R, S
        0014 READ 5, A, B, C
        0015 READ 6, E, F, G
        0016 READ 7, H, I, J
        0017 READ 8, K, L, M
        0018 READ 9, N, O, P
        0019 READ 10, Q, R, S
        0020 READ 11, U, V, W
        0021 READ 12, X, Y, Z
        0022 READ 13, AA, BB, CC
        0023 READ 14, DD, EE, FF
        0024 READ 15, GG, HH, II
        0025 READ 16, JJ, KK, LL
        0026 PRINT 1, B, T
        0027 PRINT 2, D, V
        0028 PRINT 3, DELTA
        0029 PRINT 4, R, S
        0030 PRINT 5, A, B, C
        0031 PRINT 6, E, F, G
        0032 PRINT 7, H, I, J
        0033 PRINT 8, K, L, M
        0034 PRINT 9, N, O, P
        0035 PRINT 10, Q, R, S
        0036 PRINT 11, U, V, W
        0037 PRINT 12, X, Y, Z
        0038 PRINT 13, AA, BB, CC
        0039 PRINT 14, DD, EE, FF
        0040 PRINT 15, GG, HH, II
        0041 PRINT 16, JJ, KK, LL
    
```

Приложение 3

ПРОВЕРКА ЧУВСТВИТЕЛЬНОСТИ ЦФ В ЗАДАЧЕ 5.3.4

Чувствительность проверяется во всем используемом диапазоне, заданным величинами в параметрах. Ниже показан ее анализ только по коэффициенту общей погрешности δ . Для этого в программу MAIN включают 2 после оператора 0019 входит новый оператор

0020 READ 3, DELTA.

он передает 5 в параметры. Значения 6 находят дополнительными перфокартами, число которых равно числу лежащих значениям коэффициента общей погрешности. Среди операторов, начинающихся пунктом 3BМ, находится

EXEC FORGCLG,

который заставляет машину паробрать все перфокарты с различиями δ . Кроме того в операторе 0010 записывается указание оптимизировать две величины (место трех в привод. 3):

0010 NV,2,

и оператор 0026 выводит на печать три исходных данных (место 2 в привод. 3):

0026 PRINT 5, D, VS, DELTA.

В таком виде имеет привод. 2 использован для проверки чувствительности. Результат приведен в табл. 10. Выполнены две модификации расчета: первая – определение L/B и B/T упрощаются постоянными (оптимальные значения, полученные в привод. 3), вторая – при каждом новом значении δ она оптимизируется. Графическая интерпретация результатов на рис. 29 показывает, что первая, несмотря на чувствительность коэффициента и коэффициенту общей погрешности судна и, тем самым, возможность проверки чувствительности обоими способами.

Приложение 4

ПРОВЕРКА УСТОЙЧИВОСТИ ОПТИМАЛЬНОГО РЕШЕНИЯ ЗАДАЧИ 5.3.4

Устойчивость оптимума проверяется при изменении всех исходных данных (заданных величин, параметров, коэффициентов, исходных значений поиска оптимума). Ниже показано проверка только по величинам D . Так же, как при проверке чувствительности, используется программа прямого Задания (блоков. 3). После оператора 0019 входит

0020 READ 2, D,

который передает задаваемые в параметры; это читается столько раз, сколько буде заполнено перфокарта с различными значениями D . Кроме того, изменяется оператор 0014, оставляемый только одну заданную величину – скорость V_2 (место 2 в привод. 3):

0014 READ 2, VS,

и остальном этом имеет привод. 2 используется без изменений. Результаты приведены в табл. 11 и на рис. 30, откуда видна неустойчивость δ при $K = (L/B)_{opt}$ из критериев. Рассмотренные значения в оптимизации показали, что при выбранной в § 3.4 математической модели имеет место потеря устойчивости судна $V_n = 1068/6$. Этот показатель является устойчивым по D .

РАБОТА С ПРОГРАММИРУЕМЫМ МИКРОКАЛЬКУЛЯТОРОМ (ПМК)

При отладке ПМК потребуется довольно ручной процесс обдумывания фрагментов для контроля программного счета. Кроме того, довольно часто бывает необходимо предварительный обзорный расчет нескольких вариантов для ограничения чисел неизвестных, переменных (или СЗУ), специальных условий, нарастающей сложности, дифференциалов и т. п.). Для одновременного и малоизменяющегося расчета изменениями больших массивов требуется выделить из них с точки зрения стоимости, но с точек зрения затрат времени. В таких случаях весьма продуктивно использовать микрокалькуляторы с программным управлением. Например, сконструированные программы микрокалькуляторы «Электроника Б3-34 или М8-547». Эти ПМК имеют прекрасное трансistorное в разработке алгоритмов расчета. Очень важно то, что эффективность использования больших ЭВМ самым неподражаемым образом связана с тщательной индификацией автором программы. При высоком уровне программирования величины бывают потеря порогостойкости машинного времени на «железе» (так называемый «запас» в программах), либо из-за холостых циклов построения структур программы. Такие «запасы» тем больше, чем больше число работников получают доступ к ЭВМ. Знакомство с ПМК – прекрасное средство для повышения общей культуры программирования, поскольку логика составления программ одна и та же. Составление программы для ПМК требует осознания того же понятий, которые присутствуют в каждой программе для большой машины. Это, в частности, безусловные и условные переходы (переходы управления), организация циклов, обращения к подпрограммам. Микрокалькуляторы типа «Электроника Б3-34» – универсальные вычислительные машины с очень гибкими и тонконастроеными системами команд [50].

Работа в режиме программирования на ПМК проводят следующим образом. Пусть требуется выполнить умножение дроби

$$\frac{25 \cdot 3 + 8}{5} \cdot \frac{9}{3}$$

$$r = \frac{25}{3}$$

при разделении на 3 и умножении на 9. Числовые значения х и у условиямся трактовать в таблицах видящий таблицы: х в ячейке П2, а у в ячейке П3. Поступив таким образом, мы распределены ячейки для решения задачи. Это различие в принципе практическое назначения первоначальным для каждой машины.

Задача перед микрокалькулятором программы вычислений, для чего членам команды ПМК передаются машины в режиме программирования. В нашем случае таблица содержит номер ячейки 00. Все дальнейшие наименования любых команд будут относить к определенной ячейке в микрокалькуляторе.

Чтобы можно было считать, что в машине есть память данных по логике переключения из Х, Л, У, Z, T, причем при посыпке команд информации переключается с одной ячейки на другую по определенным правилам, показанным на рис. 36. Дополнительная информация при составлении программы для вычисления ρ получена из табл. 12. Такую таблицу можно рассмотреть при составлении любой программы на первом этапе работы с ПМК. В первой строке таблицы записываются номера шагов, где занесается в правом столбце ту ячейку при помощи клавиш, т. е. при наименовании в программе. Коды команд записываются во второй строке табл. 12, где формируется таким образом программа расчета из ячеек микрокалькулятора.

На верхнюю в таблице помечены пять дорожек магнитной записи (так называемые «переключатели регистров»). Все выключательные операции в машинах происходят между членами, расположенным на дорожках У и Х, заменяющимися при этом содержимым дорожки X.

Последовательно назначение ячейек, обозначенных во второй строке таблицы, входит в программу. Обязательно необходимо закрыть программу выбором клавиши F АВТ. На экране появится 0 слова или числа, которое там было до программирования. Теперь можно в случае необходимости приводить любые вычисления вручную (автоматном) режиме – программы не сотрет.

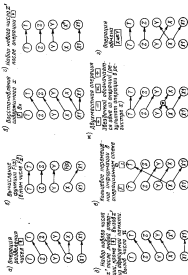


Рис. 36. Примерное содержание ячеек памяти ПМК (построение таблицы из ячеек памяти машинки)

Нижняя цифровая линия табл. 12 символизирует введенную память Памяти, которая способна одновременно хранить 14 разных чисел. Вспомогательные числа приводятся в скобках порядок: число членов, значение коэффициента Π и номера строкой таблицы 0, 1, 2, 3, 4, 5, 6, 7, 8, 9, A, B, C, D. Вызов числа (значение коэффициента) производится вспомогательной командой НП и номером соответствующей ячейки.

Для выполнения по записанной программе нужно просто запустить программу вводом команды F АВТ, заслать исходные данные в память согласно приведенному ранее распределению памяти. Для реального примера памяти: ячейки 6 П 1 (последняя строка в ячейке номера памяти) и 18 4 П 2 (запись числа 184 в ячейку 20). После этого произведем запуск программы, ячейка 80 СИ. Через 15–20 с на табло якоря будет отображено 0,185.

Если памятью другое число или слово ЕРГОГ* (сайлбад), проходит автоматическую проверку программы: поиск ячейки 80 НП – на табло загорится результат первого шага программы – число 2. Нажмите же отпускавую клавишу НП пройти всю программу из памяти. Таким образом, при вводе на НП в двоичный формат на табло загорится число 92, а после семинарской записи числа 64 – результат вычисления ячеек 5, 6, 7, 8, как предусмотрено программой. Это означает, что приведенная программа по схеме ячейки 2 была записана наименее 5. Программу можно запрограммировать, добавив впереди первых: поиск F АВТ, затем ПЛ 15 (бесконечный переход к шагу 15), F АВТ (запуск программы из шага 15), 2 (вызов числа 2 за циклическим шагом программы), F АВТ (закрытие доступа к программе). Теперь запуск программы ячейка 80 СИ. Если ошибок больше нет, загорится число 0,185.

Рассмотрим в помощь ПМК уравнение масс судна для случаев его эксплуатации при максимальных значимых грузоподъемностях. Обыкновенное алгебраическое уравнение имеет вид:

$$n_{1,2}D - n_{1,2}D^{2/3} - P_{\text{ПМК}} = 0,$$

где $n_{1,2}D$ – радиус между полной массой судна D и суммарной массой, превышающей полную массу водонепроницаемой (для транспортного судна это массы металлического корпуса, крыши водонепроницаемых и сливочных); $n_{1,2}D^{2/3}$ – суммарная масса, превышающая $D^{2/3}$ (массы ютиков, обрудования судна); $P_{\text{ПМК}}$ – величина от D (весы быстрых грузов).

Решение уравнения относительно D методом схемой Ньютона (назовем «доступную касательную»):

$$D = \frac{n_{1,2}D_0 - n_{1,2}D_0^{2/3} - P_{\text{ПМК}}}{n_{1,2}},$$

Будем считать, что действительный положительный корень уравнения найден, когда разница между двумя последними приближениями (или, иначе говоря, дробь в правой части уравнения) не превышает 10. Структурная схема решения приведена на

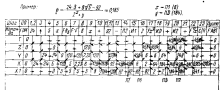


рис. 37. Путь требуется определить кординатами трех начальных сечений грузоподъемности 80, 94,5 и 110 тыс. т. По второму принципу установим, что коэффициенты уравнения имеют значения: $n_{1,2} = 0,813$, $n_{1,2} = 3,043$. Составим программу для решения уравнения $0,813D - 3,043D^{2/3} - P_{\text{ПМК}} = 0$:

1) Выделение памяти:

Запоминаемый параметр	$n_{1,2}$	$-n_{1,2}$	$-P_{\text{ПМК}}$	D	0,813	10
Ячейка памяти	Н2	Н3	Н4	Н5	Н7	Н8
Число						

2) Запись программы в память микрокомпьютера со структурой сечений в правильном расположении памяти:

Номер	00	01	02	03	04	05	06	07	08	09	10	11					
Команда	F	ЕРГО	Н07	Н15	Р	Х	Н13	Х	Н14	+	Н12	Н15	8	+			
13	13	14	15	16	17	18	19	20	21	22	23	24	25	26	27		
НП2	+	ПК	Р	С	29	НП3	Н06	+	Р	Х	0,23	НП3	СЛ	Н15	Н16	–	315
28	29	30	31	32	33	34	35	36	37	38	39	40	41	42	След	8	
Н10	00	Н16	Н18	–	Р	Х	0,23	Н15	Н16	+	ПК	00	Р	АВТ			

3) Введен чистыми (чистые) параметрами согласно распределению памяти: радиус число 0,813 и номер ячейки Н2. Тем самым чистое значение $n_{1,2}$ занесется во вторую ячейку памяти ПМК. Выбрать 3,041 (–), затем нажать ПЛ. Там самим $n_{1,2}$ занесется в третью ячейку памяти. Число 0,813 занесено в четвертую ячейку, а 10 в восьмую. При первом запуске программы будем использовать предположение о сумме грузоподъемности 80 000 т. Поэтому находим в четвертую ячейку число 80 000 (–).

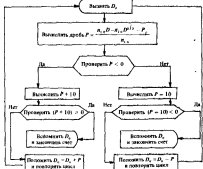


Рис. 37. Структура схемы решения уравнения масс способом Ньютона с «доступной касательной»

Будем считать нужным приближением для величины матрицы 80 000. Введем это число в ячейку 5. Выполним окончание, и можно запустить программу.

4) Нажать клавиши ВД СП. Матрицы будут вычисляться в прокрученной программе. Число 45 с на табло показывает результат 109 330, 11. Для вычислений ко-
домпакции второго судна грузоподъемностью 94 500 т даст следующие матрицы и числа в ячейку ячейку с числом 94 500 /-/ в четвертую ячейку. Текст выводится сразу после
вычисления результата первого расчета: выбираем 94 500 И5, затем 94 500 /-/ И4, затем ВД СП. Число 45 с на табло показывает 128 232, 86. Для передвижения матри-
цемы вправо нажимаем в четвертую и пятую ячейки соответственно числа 110 000 /-/ и 110 000 и прокрутим программу. Результат 149 908, 59.

Меню показывает окончание и программы.

1. Успешный переход $E \leftarrow \emptyset$ огражденный следующим образом. Если указана погрешность, то программа работает дальше со второй матрицы начиная с предыдущей до конца СП. Если не выполняется, то в следующем после команды сравнения после указания адреса, с которого должна производиться расчет.

В приведенной программе первое сравнение проводится на пятизначном шаге. К этому времени дробь в узле вычисления в записана в пятымую ячейку матрицы. Теперь если $r < 0$, то программа пойдет с 17 шага данных, а если $r > 0$, то перейдет к 29 шагу и начнет вычисление с 30 шага.

2. Бессмысленный переход (БП) переносит расчет на шаг, номер которого указан в инструкции за командой перехода. В примере это 00, т. е. после 29-го шага программа возвращается к восьмому шагу и начало работать с шага 01.

3. Для решения уравнения масс другого типа судна следует согласно критерию распределению пункта сделать новый набор данных, соответствующий этому типу и запустить программу.

Для заполнения таблицы расчетов, содержащей 20 строк (т. е. 20 программ) и 150 граф (т. е. 150 вариантов), на ПМК требуется около 3 ч.

УКАЗАТЕЛЬ ЛИТЕРАТУРЫ

1. Аникин В. В. Проекттирование судов. Л., Судостроение, 1983.
2. Аникин В. В. и др. Определение положения центра плавучести балансированных судов в задачах оптимизации их конструкции. – Судостроение, 1977, № 3, с. 3–8.
3. Башкиров Ю. В. Инженерная графика в судостроении. Л., Судостроение, 1983.
4. Борисовский П. Д., Мартынов В. А. Автоматизированное проектирование кораблей. отв. ред. Л., Судостроение, 1978.
5. Борисов Л. В. Технико-экономическое обоснование средств освоения мирового океана. Л., Судостроение, 1982.
6. Бровинцев А. В. Морские транспортные суда. Л., Судостроение, 1984.
7. Бровинцев А. В., Гладкова М. К., Капитонов В. В. Основы выбора конструкций корабельных судов. Л., Судостроение, 1974.
8. Бураков В. М. Ветровые оптимизация траекторий в задачах судов. Вестн. судостроения, сер. Проектирование судов, вып. 2, Л., Судостроение, 1972.
9. Быковчиков А. Н. Использование радиодатчика барта на подводный объем судна. – В кн.: Проектирование в конструкции судов. Николаев, изд. НИИ, 1982.
10. Быковчиков А. Н. Типоразмер проектирования судов. Ч. I–III. Николаев, Изд. НИИ, 1986, 1978–1989.
11. Быковчиков А. Н., Каминский Ю. Т., Чубенко Б. А. К определению экономичности судов с горизонтальной погрузкой. – Тр. НИИ, вып. 99, Николаев, 1973, с. 41–48.
12. Быковчиков А. Н., Шевченко В. Н., Чубенко Б. А. Метод оптимизации в проектировании судов. Николаев, изд. НИИ, 1976.
13. Гайковский А. Н. Архитектура пакета прикладных программ для проектирования судов в начальных стадиях. – Современные проблемы проектирования судов. Л., ДСКИ, 1982, с. 29–37.
14. Гайковский А. Н. Оптимизация элементов и характеристики контейнерных судов с использованием ЭВМ. – Судостроение, 1975, № 8, с. 15–16.
15. Гайковский А. Н., Царев В. А. Практика построения математической модели оптимизации параметров контейнерного судна. – Тр. НИИ, вып. 90, Л., 1974, с. 33–38.
16. Гейлер Т. Проектирование спортивных яхт. Л., Судостроение, 1985.
17. Георгиев Н. Н., Никонова М. В., Попова А. А. Математика и кибернетика в экономике. Социальная практика. М., Экономика, 1975.
18. Денисовский Б. П., Маров И. А. Основы вычислительной математики. М., Физматлит, 1963.
19. Дорин В. С. Общие вопросы построения системы автоматизированного проектирования судов. – Вестн. судостроения, вып. 21, Л., Судостроение, 1979, с. 5–52.
20. Никоновская А. Г. Нагрузочная матрица саморегулируемых малых стационарных систем. Краснодар, Наукова думка, 1982.
21. Конин П. Н. Анализ метода проектированного судна на чувствительность. – Судостроение, № 11, 1974, с. 9–11.
22. Кульев П. Н. Проекттирование и архитектура корабля. Ч. II. Верфь, изд. Вышнего морского института, 1979.
23. Курин В. Н. Экономическая обосновка при проектировании морских судов. Л., Судостроение, 1981.
24. Крюков А. Н. Структура алгоритм-математической модели трехкорпусного контейнерного судна в задаче оптимизации его экономики. – Тр. НИИ, вып. 140, Николаев, 1978.

25. Мат-Кривиц Д., Дори У. Численные методы и программирование на ФОРTRAN. М., Мир, 1977.
26. Математический М. М. Метод сплайнового прототипа (базисного). – Вестн. судостроения, сер. Математическое моделирование, вып. 8, Л., Судостроение, 1975.
27. Михайлов Б. Н. Проектирование судовых корпусных конструкций. Тез. докл. Всесоюз. науч.-техн. конф., Николаев, 1983.
28. Михайлов И. Н. Математические задачи системного анализа. М., Наука, 1981.
29. Народич А. А. Исполнение в творческом обосновании проектных решений. Л., Судостроение, 1976.
30. Новиковская В. В. Математические модели и творческость инженерных расчетов. – Судостроение, №7, 1979, с. 5–13.
31. Носка Л. М. Проектирование морских судов. Л., Судостроение, 1964.
32. Оценочные эффективности математических изложений на транспорте. – Сборник трудов, вып. ВПоср. ред. Л. В. Канторовича, В. Н. Пинакина, М., ИздНИИ системных исследований, 1982.
33. Орлов М. И. Методы автоматизированного проектирования плавучих аппаратов. М., Машгизстроение, 1984.
34. Панкин В. М. Критерии для оптимальной сплошности подводных судов. Л., Судостроение, 1976.
35. Панкин В. М. Оптимизация судов. Л., Судостроение, 1983.
36. Панкин В. М., Семенюк Ю. Н. Системы автоматизированного проектирования судов. Л. Изд. ДЛН, 1981.
37. Петренко А. И. Основы автоматизации проектирования. Киев, Техника, 1982.
38. Петросян Ю. В. Разработка струйной по аэродинамике и конструкции методики с помощью ЭВМ. Известиях. изд. ИИИИ, 1979.
39. Поповикова А. И. и др. Алгоритмы оптимизации проектных решений. М., Энергия, 1976.
40. Пономарев Ю. И. Некоторые вопросы решения задач оптимизации характеристик судов в статистическом постулате. – Вестн. судостроения. Сер. Проектирование судов, вып. 21, Л., Судостроение, 1979.
41. Прокофьев М. Д. Математическая графика и автоматизация проектирования. М., Советское радио, 1975.
42. Прокофьев С. А., Кузара В. П., Богданов А. Т. О некоторых особенностях формирования логистико-математической модели судов с горизонтальной палубой. – Тр. ИИИ, вып. 99. Николаев, 1975.
43. Раков А. Н. Оптимизация основных характеристики и элементов промышленных судов. Л., Судостроение, 1978.
44. Смирнова К. Ш. Стартовая программа оптимизации многоцелевым скриптовым языком «Брайльского текста». – В кн.: Алгоритмы и программы слухового языка. Рига, Зентис, 1989, с. 12–21.
45. Семенюк Ю. Н. Организация процесса спиритуального синтеза объемной судостроительной техники в САПР. – В кн.: Проектирование судовых корпусных конструкций. Тез. докл. Всесоюз. науч.-техн. конф., Николаев, 1983.
46. Соловьев Ю. С. Оптимизация выбора материалов. М., ВИМО СССР, 1973.
47. Соловьев Ю. С. Общие принципы построения ДИМ и особенности учета требований по экономии и износостойкости при систематическом проектировании параллельных двухкорпусных трубоходов. – Тр. ИИИ, вып. 140, Николаев, 1978.
48. Сорокин В. Я. Некоторые особенности алгоритма оптимизации главных элементов контейнеровоза. – В кн.: Проектирование и конструкция судов, сб. тр. ИИИ, Николаев, 1982.
49. Тез. докл. Всесоюз. науч.-техн. конф., «Автоматизация проектирования и конструирования работ». М., Изд. МАН, 1979.
50. Трофименко А. К., Либич Ф. Д. Исполнительные расчеты на программируемых микрокомпьютерах. Киев, Техника, 1985.
51. Хамидалибеков Д. Применение языковых программирований. М., Мир, 1975.
52. Ход Э., Аюрова Н. Применение оптимизаций проектирования (Механические системы и конструкции). М., Мир, 1983.
53. Журавлев Л. В. Инженерная проектирование кораблей. Л., Судостроение, 1980.
54. Чубенко В. А. Построение теоретического чертежа с помощью ЭВМ. Николаев. Изд. ИИИ, 1979.
55. Чубенко В. А., Стремянский Н. В. Методы машинного проектирования в оптимизации судов. Николаев, Изд. ИИИ, 1983.
56. Чуб Ю. А., Николаевский В. И. Особенности формирования математической модели судов с плавящей САПР. – Судостроение, № 5, 1984, с. 8–9.
57. Чуб Т. Решение инженерных задач на ЭВМ. М., Мир, 1982.
58. Чубенко В. Е. Основные проблемы организации проектирования в судостроении. Л. Изд. ин-та Навигации, кандидат техн. наук, руководитель рабочей и спасательной судостроительной группы, 1982.

ОГЛАВЛЕНИЕ

Приложение	3
Библиография	6
Глава 1 ОСНОВЫ АВТОМАТИЗИРОВАННОГО ПРОЕКТИРОВАНИЯ	
§ 1.1. Системы автоматизированного проектирования	9
§ 1.2. Программное обеспечение САПР	22
§ 1.3. Пакеты проектных программ	30
§ 1.4. Средства обработки и диагностики вложений	33
§ 1.5. Организация проектно-конструкторских работ в традиционной и автоматизированной системах проектирования	37
1.5.1. Стадии традиционного проектирования судов	38
1.5.2. Техническое задание	39
1.5.3. Техническое проектирование	40
1.5.4. Эскизный проект	42
1.5.5. Технический проект	44
1.5.6. Рабочая документация	45
1.5.7. Организация проектирования	47
1.5.8. Принцип работы в системе автоматизированного проектирования	48
1.5.9. Системный подход к проектированию	51
Глава 2 МАТЕМАТИЧЕСКОЕ ОБЕСПЕЧЕНИЕ СИСТЕМ АВТОМАТИЗИРОВАННОГО ПРОЕКТИРОВАНИЯ	
§ 2.1. Классификация величин, используемых в математическом моделировании	55
§ 2.2. Математическая модель судна	58
§ 2.3. Оценка вместимости, непотопляемости, остойчивости и плавучести в математической модели судна	61
2.3.1. Вместимость судна	62
2.3.2. Установка непотопляемости	66
2.3.3. Ограничение по начальной остойчивости	68
2.3.4. Баланс масс судна	71
§ 2.4. Оценка экономической эффективности в математической модели судна	78
2.4.1. Структура указанных приведенных затрат	83
§ 2.5. Критерии оптимальности поиска	86
Глава 3 МЕТОДЫ ОПТИМИЗАЦИИ	
§ 3.1. Методы математического программирования	91
§ 3.2. Применение способов поиска оптимума	95
§ 3.3. Пример нахождения оптимального боксулевского фонта «Лауда»	99
§ 3.4. Пример оптимизации формы корпуса парусного магистрального направляемого «Лауда»	103

Глава 4 АНАЛИЗ РЕЗУЛЬТАТОВ ОПТИМИЗАЦИИ	
§ 4.1. Достоверность результатов	107
§ 4.2. Устойчивость решения, чувствительность	110

Глава 5 ПРАКТИЧЕСКОЕ ИСПОЛЬЗОВАНИЕ АППАРАТА ОПТИМАЛЬНОГО ПРОЕКТИРОВАНИЯ СУДОВ	
§ 5.1. Пример оптимизация эволюции проектного судна	121
§ 5.2. Оптимизация характеристик в элементах конструкции судов методом дискретно-непрерывного линейного программирования	126

Заключение	
Приложение 1.	130
ПАКЕТ ПРИКЛАДНЫХ ПРОГРАММ „ЛАУДА“	133
Приложение 2.	133
„ОПТИМИЗАЦИЯ ПАРАМЕТРОВ ФОРМЫ КОРПУСА“	135
Приложение 3.	135
ПРОВЕРКА ЧУВСТВИТЕЛЬНОСТИ ЦР В ЗАДАЧЕ § 3.4.	135
Приложение 4.	135
ПРОВЕРКА УСТОЙЧИВОСТИ ОПТИМАЛЬНОГО РЕШЕНИЯ ЗАДАЧИ § 3.4.	135
Приложение 5.	135
РАБОТА С ПРОГРАММИРУЕМЫМ МИКРОКАЛЬКУЛЯТОРОМ (ПМК)	154
Указатель литературы	159